



TUGAS AKHIR - TL 141584

PENGARUH VARIASI JUMLAH LAYER CAT EPOKSI TERHADAP DAYA LEKAT DAN TINGKAT BLISTERING PADA MATERIAL API 5L DI LINGKUNGAN AVTUR

HAKIMUL WAFDA
NRP. 02511440000065

Dosen Pembimbing
Ir. Moh. Farid, DEA
Dr. Agung Purniawan, S.T., M.Eng

Departemen Teknik Material
Fakultas Teknologi Industri
Institut Teknologi Sepuluh Nopember
Surabaya
2018



TUGAS AKHIR - TL 141584

PENGARUH VARIASI JUMLAH LAYER CAT EPOKSI TERHADAP DAYA LEKAT DAN TINGKAT *BLISTERING* PADA MATERIAL API 5L DI LINGKUNGAN AVTUR

HAKIMUL WAFDA
NRP. 02511440000065

Dosen Pembimbing
Ir. Moh. Farid, DEA
Dr. Agung Purniawan, S.T., M.Eng

DEPARTEMEN TEKNIK MATERIAL
Fakultas Teknologi Industri
Institut Teknologi Sepuluh Nopember
Surabaya
2018



FINAL PROJECT - TL 141584

***THE EFFECT OF EPOXY COATING LAYER ON
ADHESION STRENGTH AND BLISTERING ON
THE API 5L MATERIAL IN AVTUR
ENVIRONMENT***

HAKIMUL WAFDA
NRP. 02511440000065

Advisor
Ir. Moh. Farid, DEA
Dr. Agung Purniawan, S.T., M.Eng

DEPARTMENT OF MATERIAL ENGINEERING
Faculty of Industrial Technology
Institut Teknologi Sepuluh Nopember
Surabaya
2018

**PENGARUH VARIASI JUMLAH LAYER CAT EPOKSI
TERHADAP DAYA LEKAT DAN TINGKAT BLISTERING
PADA MATERIAL API SL DI LINGKUNGAN AVTUR**

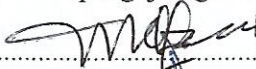
TUGAS AKHIR

Diajukan untuk memenuhi salah satu syarat memperoleh gelar
Sarjana Teknik
Pada

Bidang Studi Korosi dan Pengendalian Korosi
Program Studi S-1 Departemen Teknik Material
Fakultas Teknologi Industri
Institut Teknologi Sepuluh Nopember

Oleh :
Hakimul Wafda
NRP 02511440000065

Disetujui oleh tim penguji tugas akhir :

Ir. Moh. Farid, DEA.....  (Pembimbing I)

Dr. Agung Purniawan, ST, M. Eng.....  (Pembimbing II)



Pengaruh Variasi Jumlah Layer Cat Epoksi Terhadap Daya Lekat dan Tingkat *Blistering* pada Material Api 5l di Lingkungan Avtur

Nama Mahasiswa

: Hakimul Wafda

NRP

: 02511440000099

Dosen Pembimbing

: Ir. Moh. Farid, DEA

Dr. Agung Purniawan, ST, M. Eng

ABSTRAK

Pipa baja karbon adalah salah satu jenis pipa yang memiliki fungsi sentral di berbagai jenis industri, contohnya sebagai penyalur pada industri migas. Meski begitu, pipa baja karbon memiliki beberapa kelemahan antara lain kekerasannya rendah, tidak tahan aus, dan memiliki ketahanan korosi yang tidak begitu baik pada berbagai lingkungan. Pada umumnya proses korosi tidak dapat dihentikan sama sekali karena merupakan suatu proses alami yang akan terjadi saat suatu logam kontak dengan lingkungannya. Namun, ada alternatif pencegahan korosi yang penggunaannya disesuaikan dengan jenis peralatan, tempat, serta jenis lingkungan korosif. Salah satu metodenya adalah dengan pelapisan (*coating*) organik. *Coating* memiliki fungsi utama untuk memberikan perlindungan yaitu penghalang antara substrat dan lingkungan. Dalam penelitian ini bertujuan untuk mengevaluasi fungsi *coating* dengan perlakuan variasi lapisan ketebalan. Variasi lapisan ketebalan yang digunakan yaitu 3 layer, 6 layer, 9 layer, dan 12 layer. *Coating* yang digunakan menggunakan 2 komponen yaitu cat primer sebagai komponen A dan binder (*curing agent*) sebagai komponen B. Pelarut (*solvent*) menggunakan *thinner* khusus. *Epoxy* dicampur hardenernya dengan perbandingan (4:1) serta menambahkan pelarut atau *thinner* kemudian akan digunakan untuk menutupi bahan substrat

baja karbon API 5L Grade B pada kondisi lingkungan pipa sesungguhnya yaitu lingkungan fluida avtur. Semprotan konvensional digunakan dalam aplikasi cat. Morfologi lapisan diselidiki dengan SEM (*Scanning Electron Microscopy-E*). Untuk mengevaluasi fungsi *coating* pengujian *immersion*, *adhesion*, dan GC-MS (*gas chromatography-mass spectroscopy*) diterapkan. Dari pengujian dan analisa didapatkan jumlah layer paling sedikit yaitu 3 layer memiliki nilai daya lekat yang paling tinggi dengan nilai yaitu 13,38 MPa. Nilai daya lekat terendah didapatkan pada jumlah layer paling banyak yaitu 12 layer dengan besar 7,30 MPa hal ini menunjukan bahwa semakin tinggi jumlah layer cat mengakibatkan daya lekat cat akan semakin menurun dan tingkat *blistering* dari cat akan semakin banyak.

Kata Kunci: avtur, *blistering*, daya lekat, layer, pelapisan.

The Effect Of Epoxy Coating Layer On Adhesion Strength and Blistering On The Api 5l Material In Avtur Environment

Name : Hakimul Wafda
NRP : 02511440000065
Department : Material Engineering
Advisior : Ir. Moh. Farid, DEA
 Dr. Agung Purniawan, ST, M. Eng

ABSTRACT

Carbon steel pipe is one type of pipe that has a central function in various types of industries, for example as a pipeline in the oil and gas industry. However, carbon steel pipes have some weaknesses, among others, low hardness, not wear resistance, and have poor corrosion resistance in various environments. In general, the corrosion process can not be stopped completely because it is a natural process that will occur when there is contact between a metal with its environment. However, there are alternatives to corrosion prevention adjusted to the type of equipment, place, and type of corrosive environment. One of the methods is organic coating. Coating has a primary function to provide protection as a barrier between the substrate and the environment. This study aims to evaluate the function of the coating with the treatment of thickness layer variation. The variations of the thickness layer are 3 layers, 6 layers, 9 layers, and 12 layers. Coating that used consist of two component that is primer paint as component A and binder (curing agent) as component B. Solvent (solvent) using special thinner. Epoxy mixed with hardener with a ratio of (4: 1) and added a solvent or thinner then the mixture applied to cover the substrate material of API 5L Grade B at the actual pipe environment condition that is avtur fluid environment. Conventional sprays are used in paint applications. The morphology of the coating is investigated by SEM (Scanning Electron Microscopy-E). Immersion, adhesion,

and GC-MS (gas chromatography-mass spectroscopy) testing was applied to evaluate the function of coating. From the testing and analysis found the number of layers 3 has the highest adhesive value with a value of 13.38 MPa. The lowest adhesive value is obtained on the number of layers 12 with a value of 7.30 MPa. This indicates that the higher the number of layers will decrease the adhesion and increase the blistering

Keywords : avtur, blistering, adhesion strength, layer, coating.

KATA PENGANTAR

Alhamdulillahirobbil alamin, washolatu wassalamu 'ala asrofil ambiya iwal mursalin wa'ala alihi wasohbih i aj ma'in. Amma ba'du. Puji syukur kepada Allah SWT yang telah memberikan kekuatan dan kesehatan bagi penulis, suatu nikmat yang tidak ternilai harganya bisa hidup dengan penuh rahmat dan hidayahNya. Sholawat serta salam juga selalu tercurahkan pada junjungan penulis Nabi Muhammad SAW beserta sahabat. Segala rezeki yang diberikan oleh Allah SWT sehingga penulis masih diberikan kesempatan untuk menyelesaikan laporan tugas akhir yang berjudul "**Pengaruh Variasi Jumlah Layer Cat Epoksi Terhadap Daya Lekat dan Tingkat Blistering pada Material Api 5l di Lingkungan Avtur**". Tugas Akhir ini disusun untuk melengkapi sebagian syarat untuk memperoleh gelar Sarjana Teknik di jurusan Teknik Material dan Metalurgi FTI-ITS.

Dengan penuh kesadaran, penulis memahami bahwa tanpa bantuan dari berbagai pihak penelitian ini akan sangat sulit untuk diselesaikan dengan baik dan tepat waktu. Maka daripada itu, penulis ingin mengucapkan terima kasih kepada semua pihak dan kalangan yang telah banyak memberikan sumbangsih besar dalam penyelesaian tugas akhir ini.

1. Allah SWT yang telah memberikan rahmat dan karunia tanpa batas kepada penulis, Tuhan yang memiliki segala wewenang atas kehidupan penulis
2. Nabi Muhammad SAW yang telah mengajarkan dan memberikan suri tauladan bagi penulis
3. Keluarga penulis, Kedua orang tua penulis, Amir Mahmud dan Evin Nurbiyati dan adik penulis, Muchammad Alfi Karom yang telah memberikan segala hal dimiliki untuk membantu penulis dalam menyelesaikan penelitian ini
4. Bapak Ir. Moh. Farid, DEA selaku dosen pembimbing yang selalu memberi masukan dan saran kepada penulis agar menghasilkan penelitian yang lebih berkualitas

5. Bapak Dr. Agung Purniawan, ST., M.Eng. selaku Ketua Departemen Teknik Material FTI-ITS, sekaligus dosen pembimbing penulis yang selalu menyempatkan waktu dengan penuh perhatian kepada penulis.
6. Isti Mudalifah teman, sahabat, dan kekasih penulis yang telah memberikan segalanya dalam proses penelitian ini, tiada kata cukup dalam terima kasih untukmu.
7. Ibu Dr. Widyastuti, S.Si., M.Si selaku dosen wali yang senantiasa memberi motivasi dan saran selama masa perkuliahan
8. Segenap dosen Departemen Teknik Material FTI-ITS yang telah memberikan ilmu dan bimbingan selama proses perkuliahan
9. Seluruh Staf dan Karyawan Departemen Teknik Material FTI-ITS yang banyak membantu dan mengarahkan dalam proses penelitian
10. Bapak Laransanto dan seluruh karyawan CV. Cipta Agung yang telah memberikan kesempatan penulis untuk mengerjakan penelitian disana dan sangat membantu dalam pengerjaan penelitian
11. Seluruh saudara penulis yang tidak bosan mengingatkan dan memberikan dukungan penuh atas terselesaikannya laporan tugas akhir
12. Bapak Agus Prihadi dan Bapak Nur Agus dari PT. PAL Indonesia yang telah memberikan kesempatan kepada penulis untuk menggunakan salah satu produk cat terbaiknya digunakan dalam penelitian, terima kasih banyak.
13. Octaviyan Adi Nugroho sebagai teman penulis sekaligus partner TA

14. Angkatanku MT16, terima kasih kepada kalian semua tanpa terkecuali, suatu kebanggan bisa hidup diantara kalian semua orang hebat. Semoga kita semua menjadi orang yang sukses dan bermanfaat

Masih sangat banyak kekurangan yang ada dalam penelitian tugas akhir ini, penulis sangat berharap kritik dan saran untuk terus menambah wawasan, dan penulis berharap penelitian ini dapat dilanjutkan kembali sehingga dapat melengkapi topik terkait. Akhir kata, semoga setiap nilai yang ada dalam laporan tugas akhir ini dapat bermanfaat bagi setiap manusia yang membutuhkan dan turut serta dalam mengembangkan ilmu pengetahuan Indonesia, terima kasih.

Surabaya, Juni 2018

Penulis

DAFTAR ISI

| | |
|---|-------|
| HALAMAN JUDUL | i |
| LEMBAR PENGESAHAN | v |
| ABSTRAK | vii |
| ABSTRACT..... | .ix |
| KATA PENGANTAR | xi |
| DAFTAR ISI | xiv |
| DAFTAR GAMBAR | xvi |
| DAFTAR TABEL | xviii |
| BAB I PENDAHULUAN | |
| 1.1 Latar Belakang | 1 |
| 1.2 Rumusan Masalah | 2 |
| 1.3 Batasan Masalah | 2 |
| 1.4 Tujuan Penelitian | 2 |
| 1.5 Manfaat Penelitian | 3 |
| BAB II TINJAUAN PUSTAKA | |
| 2.1 Pengertian Korosi..... | 5 |
| 2.1.1 Mekanisme Korosi pada <i>Pipeline</i> | 6 |
| 2.1.2 Laju Korosi..... | 10 |
| 2.1.3 Metode Perlindungan Korosi Korosi..... | 11 |
| 2.2 Organik <i>Coating</i> | 13 |
| 2.2.1 Pelapisan Organik..... | 13 |
| 2.2.2 Komponen Lapisan Organik..... | 13 |
| 2.2.3 Pengikat (<i>binder</i>)..... | 13 |
| 2.2.4 Pigmen (<i>pigment</i>)..... | 14 |
| 2.2.5 Pelarut (<i>Solvent</i>)..... | 14 |
| 2.2.6 Aditif (<i>Additive</i>)..... | 14 |
| 2.3 Preparasi Permukaan | 15 |
| 2.4 <i>Epoxy Coating</i> | 17 |
| 2.5 Epoksi Resin..... | 17 |
| 2.6 Kegagalan Pada Lapisan Organik..... | 18 |
| 2.6.1 Korosi di bawah Lapisan Organik..... | 20 |
| 2.6.2 <i>Blistering</i> | 20 |
| 2.6.3 Delaminasi Katodik..... | 21 |

| | |
|---|-----|
| 2.6 Avtur (<i>Aviation Turbine Fuel</i>) | 22 |
| 2.7 Baja..... | 23 |
| 2.8 <i>State Of The Art</i> (Penelitian Sebelumnya) | 24 |
| BAB III METODOLOGI PENELITIAN | |
| 3.1 Diagram Alir | 34 |
| 3.2 Metode Penelitian | 35 |
| 3.3 Bahan Penelitian | 35 |
| 3.4 Prosedur Penelitian..... | 37 |
| 3.4.1 Preparasi Substrat..... | 37 |
| 3.4.2 Preparasi Fluida Avtur..... | 38 |
| 3.4.3 Pengujian Immers..... | 39 |
| 3.4.4 Pengujian Daya Lekat..... | 40 |
| 3.4.5 <i>Scanning Electron Microscopy-E</i> (SEM)..... | 41 |
| 3.4.6 Pengujian <i>Gas Chromatography-Mass Spectroscopy</i> (GC-MS)..... | 41 |
| 3.5 Rancangan Penelitian | 42 |
| BAB IV ANALISA DATA | |
| 4.1 Analisa Pengujian Daya Lekat | 43 |
| 4.2 Analisa Pengujian Daya Lekat <i>Immersion</i> Avtur Selama 20 Hari..... | 46 |
| 4.3 Analisa Morfologi | 49 |
| 4.4 Analisa Pengujian <i>Blistering</i> | 53 |
| 4.5 Analisa Pengujian GC-MS sampel Avtur | 56 |
| BAB V KESIMPULAN | |
| 5.1 Kesimpulan..... | 61 |
| 5.2 Saran | 62 |
| DAFTAR PUSTAKA | xix |
| LAMPIRAN | |
| BIODATA PENULIS | |

DAFTAR GAMBAR

| | |
|--|----|
| Gambar 2.1 Ilustrasi Beberapa Jenis Korosi yang Menyerang Pipa (UK HSE OTR, 2001) | 7 |
| Gambar 2.2 Batasan <i>Sour Service</i> untuk Gas yang Mengandung H ₂ S dengan Tingkat Kebahayaan <i>Sulphide Stress Cracking</i> Terhadap Baja Karbonatau Baja Paduan Rendah (NACE International, 2005) | 10 |
| Gambar 2.3 Struktur Cincin <i>Epoxy</i> atau <i>Oxirane</i> (Petrie, 2006) | 17 |
| Gambar 2.4 Struktur Resin Bisphenol-F (ASM International, 1992) | 18 |
| Gambar 2.5 Kerusakan pada <i>Coating</i> . (a) <i>Mechanical</i> , (b) <i>Thermal</i> , (c) <i>Chemical Bond Failure</i> (Philip, 2006) ... | 20 |
| Gambar 2.6 Mekanisme Delaminasi Katodik yang Diawali dari Cacat pada Lapisan Organik dan juga <i>Blister</i> (Philippe, 2002) | 21 |
| Gambar 2.7 Grafik <i>Surface</i> Daya Lekat Terhadap Ketebalan dengan Perbedaan Komposisi Pelarut (Muhammad, dkk) | 25 |
| Gambar 2.8 Hasil Pengujian SEM Komposisi Penambahan Pelarut 20% dengan perbesaran 1000x dan 4000x a)0%, b)10%, dan c)20% (Muhammad, dkk) | 26 |
| Gambar 2.8 Grafik 3D <i>Pull off adhesion test</i> (Pratama dan Sudiyono, 2016) | 28 |
| Gambar 3.1 Diagram Alir Penelitian..... | 34 |
| Gambar 3.2 Tingkatan Blistering yang dapat terjadi pada permukaan | 39 |
| Gambar 3.3. <i>Elcometer model 106 adhesion tester scale 1</i> | 40 |
| Gambar 3.4 Mesin uji SEM | 41 |
| Gambar 4.1 Grafik Scatter Daya Lekat Terhadap Variasi Jumlah Layer | 44 |
| Gambar 4.2 Foto Hasil Pengamatan Visual Daya Lekat..... | 45 |

| | |
|---|----|
| Gambar 4.3 Hasil Pengujian Daya Lekat dan Pengamatan Visual pada sampel setelah dilakukan <i>immersion</i> selama 20 hari | 47 |
| Gambar 4.4 Grafik 2D Perbandingan Hasil Pengujian Daya Lekat Sebelum dan Sesudah <i>Immersion</i> | 48 |
| Gambar 4.5 Hasil Pengujian SEM Top View dengan Variasi Jumlah Layer 3 Perbesaran 1000x dan 4000x | 50 |
| Gambar 4.6 Hasil Pengujian SEM Top View dengan Variasi Jumlah Layer 6 Perbesaran 1000x dan 4000x | 51 |
| Gambar 4.7 Hasil Pengujian SEM Top View dengan Variasi Jumlah Layer 9 Perbesaran 1000x dan 4000x | 51 |
| Gambar 4.8 Hasil Pengujian SEM Top View dengan Variasi Jumlah Layer 12 Perbesaran 1000x dan 4000x | 51 |
| Gambar 4.9 Hasil Pengujian SEM <i>Cross Section</i> dengan Variasi Jumlah Layer 3 Perbesaran 1000x dan 4000x | 52 |
| Gambar 4.10 Hasil Pengujian SEM <i>Cross Section</i> dengan Variasi Jumlah Layer 6 Perbesaran 1000x dan 4000x | 52 |
| Gambar 4.11 Hasil Pengujian SEM <i>Cross Section</i> dengan Variasi Jumlah Layer 9 Perbesaran 1000x dan 4000x | 52 |
| Gambar 4.12 Hasil Pengujian SEM <i>Cross Section</i> dengan Variasi Jumlah Layer 12 Perbesaran 1000x dan 4000x | 53 |
| Gambar 4.13 Hasil Pengamatan Tingkat <i>Blistering</i> Jumlah Layer 3 Sampel (a), (b), dan (c) | 54 |
| Gambar 4.14 Hasil Pengamatan Tingkat <i>Blistering</i> Jumlah Layer 6 Sampel (a), (b), dan (c) | 55 |
| Gambar 4.15 Hasil Pengamatan Tingkat <i>Blistering</i> Jumlah Layer 9 Sampel (a), (b), dan (c) | 55 |
| Gambar 4.16 Hasil Pengamatan Tingkat <i>Blistering</i> Jumlah Layer 12 Sampel (a), (b), dan (c) | 55 |
| Gambar 4.17 Hasil Pengujian Gc-Ms untuk Avtur Sebelum Dilakukan Immers | 57 |
| Gambar 4.18 Hasil Pengujian GC-MS untuk Avtur yang Telah Dilakukan Pengujian Immers Selama 20 Hari | 58 |
| Gambar 4.19 Fragmen Karakteristik dari Epoksi Resin pada Pengujian Py-Gcms (<i>Adelab Scientific</i>) | 59 |

DAFTAR TABEL

| | |
|---|----|
| Tabel 2.1 Bentuk Bentuk Korosi Sesuai Klasifikasi <i>ASM International</i> (<i>ASM International</i> , 1992) | 8 |
| Tabel 2.2 Tabel hubungan laju korosi dan ketahanan korosi (Jones, 1992) | 11 |
| Tabel 2.3 Ringkasan Standar Preparasi Permukaan SSPC (<i>Philip, 2006</i>) | 16 |
| Tabel 2.4. Komposisi Avtur (<i>ASTM D1655, 2017</i>) | 23 |
| Tabel 2.5 Hasil Pengujian Pull Off Adhesion Test C3 (Struktur Jembatan) (<i>Pratama dan Sudiyono, 2016</i>) | 27 |
| Tabel 2.6 Hasil Pengujian Pull Off Adhesion Test C4 (Industri Pengolahan Kimia) (<i>Pratama dan Sudiyono, 2016</i>) | 28 |
| Tabel 2.7 Hasil Pengujian Pull Off Adhesion Test C5 (Struktur Lingkungan Laut) (<i>Pratama dan Sudiyono, 2016</i>) | 28 |
| Tabel 2.8 Hasil Pengujian Pull-off Test..... | 29 |
| Tabel 2.9 Hasil Pengujian Daya Lekat Terhadap Spesimen Setelah di <i>Salt Spray</i> 72 Jam..... | 30 |
| Tabel 2.9 Hasil Pengujian Daya Lekat Terhadap Spesimen Setelah di <i>Salt Spray</i> 168 Jam..... | 30 |
| Tabel 3.1 Komposisi Kimia API 5L Grade B | 36 |
| Tabel 3.2 Komposisi Cat <i>Epoxy</i> Komponen A (<i>Tankguard HB</i>) | 36 |
| Tabel 3.3 Komposisi Cat <i>Epoxy</i> Komponen B (<i>Tankguard HB</i>) | 37 |
| Tabel 3.4 Komposisi Pelarut (<i>Thinner Jotun No.21</i>) | 37 |
| Tabel 3.5 Rancangan Penelitian | 42 |
| Tabel 4.1 Hasil pengujian DFT | 45 |
| Tabel 4.2 Hasil Pengujian Daya Lekat Setelah 20 hari masa <i>immersion</i> Avtur | 38 |
| Tabel 4.3 Hasil Pengamatan Visual Daya Lekat setelah 14 hari masa <i>immersion</i> | 39 |
| Tabel 4.4 Hasil pengamatan tingkat <i>blistering</i> setelah 20 hari masa <i>immersion</i> pada avtur..... | 54 |
| Tabel 4.5 Nama Fragment Pembentuk Epoxy Resin..... | 59 |

| | |
|---|----|
| Tabel 4.6 Hasil Pengujian Gc-ms untuk cairan Avtur yang dilakukan immers 20 hari..... | 60 |
|---|----|



BAB I PENDAHULUAN

1.1 Latar Belakang

Pipa baja karbon adalah salah satu jenis pipa yang memiliki fungsi sentral di berbagai jenis industri. Pipa jenis ini paling banyak digunakan untuk sistem pipeline pada industri minyak dan gas, *power plant* atau pembangkit energi, industri hidrokarbon dan kimia, industri otomotif, industri *furniture* dan industri-industri lainnya. Pipa baja karbon memiliki beberapa kelebihan dari jenis-jenis pipa lain seperti pipa galvanis, *pipa stainless steel (SS)*, *polivinil klorida* dan lainnya. Kelebihan pipa baja karbon antara lain adalah harga yang relatif tidak mahal, kemudahan dalam proses instalasi dan sifat mekaniknya yang mampu menahan sifat panas, tekanan tinggi dan sifat merusak lainnya. Namun, pipa baja karbon memiliki beberapa kelemahan, antara lain kekerasannya rendah dan tidak tahan aus. Selain itu pipa baja karbon memiliki ketahanan korosi yang tidak begitu baik pada berbagai lingkungan. (Tezar, 2011).

Pada umumnya proses korosi tidak dapat dihentikan sama sekali karena merupakan suatu proses alami yang akan terjadi saat suatu logam kontak dengan lingkungannya. Hal ini akan mengakibatkan kurangnya nilai logam secara teknis dan penurunan kualitas logam yang dapat menyebabkan kurangnya umur pakai (*lifetime*) dari logam. Salah satu contohnya adalah pada material baja yang banyak digunakan pada industri migas sebagai penyalur. Ada beberapa alternatif pencegahan korosi yang penggunaannya disesuaikan dengan jenis peralatan, tempat serta jenis lingkungan yang korosif. Alternatif tersebut adalah sebagai berikut: pelapisan dengan cat (*organic coating*), pelapisan anorganik dengan *Portland Cement*, inhibisi (*inhibition*), proteksi katodik, dan pelapisan (*coating*). (Fontana, 1987)

Coating organik adalah campuran kompleks dari zat kimia yang dapat dibagi menjadi empat kategori besar: (1) pengikat, (2) komponen volatil, (3) pigmen, dan (4) aditif. Binder



adalah bahan yang membentuk film kontinu yang menempel pada substrat (permukaan yang dilapisi), yang mengikat bersama zat lainnya dalam lapisan untuk membentuk film, dan akan menghasilkan permukaan luar yang cukup keras. (Wicks, 2007)

Salah satu hal yang menentukan hasil pelapisan cat tidak hanya ditentukan oleh jenis cat yang digunakan, tetapi juga oleh parameter aplikasi cat seperti ketebalan lapisan cat permukaan substrat yang dihasilkan, faktor kondisi lingkungan dimana substrat ditempatkan dan persiapan permukaan sebelum pelapisan juga perlu diperhatikan (Rishad, 2016). Oleh sebab itu, pada penelitian ini akan dievaluasi pengaruh ketebalan lapisan cat terhadap daya lekat cat pada pipa baja karbon sehingga dapat memberi solusi yang baik untuk mendapatkan daya lekat cat yang optimal.

1.2 Rumusan Masalah

Adapun permasalahan yang dikaji dalam penelitian kali ini yaitu:

1. Bagaimana pengaruh variasi jumlah layer terhadap daya lekat cat epoksi?
2. Bagaimana pengaruh variasi jumlah layer terhadap tingkat *blistering* pada lingkungan avtur?
3. Bagaimana Pengaruh variasi jumlah layer terhadap morfologi cat epoksi?
4. Bagaimana pengaruh material *coating* terhadap fluida avtur?

1.3 Batasan Masalah

Untuk membatasi ruang lingkup penelitian, ditetapkan batasan-batasan dari penelitian yang dilakukan antara lain:

1. Komposisi substrat dianggap homogen dan bebas cacat.
2. Material coating dianggap tercampur merata.
3. Tingkat kekasaran dan kebersihan substrat dianggap sama.

1.4 Tujuan Penelitian

Adapun tujuan dalam penlitian ini yaitu:



-
1. Menganalisa pengaruh variasi jumlah layer terhadap daya lekat cat epoksi.
 2. Menganalisa pengaruh variasi jumlah layer terhadap tingkat *blistering* pada lingkungan avtur.
 3. Menganalisa pengaruh variasi jumlah layer cat terhadap morfologi cat epoksi.
 4. Menganalisa reaksi antara material *coating* dan fluida avtur.

1.5 Manfaat Penelitian

Adapun manfaat dari penelitian ini yaitu:

1. Memberi informasi mengenai jumlah layer yang dapat menghasilkan daya lekat cat epoksi optimal pada pipa baja karbon.
2. Memberi informasi mengenai tingkat *blistering* pada lingkungan avtur akibat jumlah layer yang berbeda.
3. Memberi informasi mengenai reaksi antara material *coating* dan fluida avtur.
4. Menjadi referensi bagi peneliti lain yang akan mengangkat tema yang sama namun dengan sudut pandang yang berbeda.



(Halaman ini sengaja dikosongkan)

BAB I PENDAHULUAN



BAB II

TINJAUAN PUSTAKA

2.1 Pengertian Korosi

Korosi merupakan degradasi dari material yang diakibatkan karena suatu proses alami yang akan terjadi saat suatu logam bereaksi dengan lingkungannya. Adanya reaksi korosi akan menyebabkan material mengalami perubahan sifat kearah yang lebih rendah atau kemampuan material tersebut akan berkurang. Dalam ilmu metalurgi, peristiwa korosi dapat dipandang sebagai suatu peristiwa reaksi senyawa kembali ke bentuk asalnya atau disebut sebagai kebalikan dari proses metalurgi ekstraksi. Peristiwa korosi terjadi karena adanya reaksi kimia dan elektrokimia. Beberapa elemen utama yang harus dipenuhi agar reaksi tersebut dapat terjadi adalah sebagai berikut:

a. Material

Dalam suatu peristiwa korosi, suatu material akan bersifat sebagai anoda. Anoda adalah suatu bagian dari suatu reaksi yang akan mengalami oksidasi. Akibat reaksi oksidasi, suatu logam akan kehilangan elektron, dan senyawa logam tersebut ion berubah menjadi ion-ion bebas.

b. Lingkungan

Dalam suatu peristiwa korosi, suatu lingkungan akan bersifat sebagai katoda. Katoda adalah suatu bagian dari reaksi yang akan mengalami reduksi. Akibat reaksi reduksi, lingkungan yang bersifat katoda akan membutuhkan elektron yang akan diambil dari anoda. Beberapa lingkungan yang dapat bersifat katoda adalah lingkungan air, atmosfer, gas, mineral *acid*, tanah, dan minyak.

c. Reaksi material dengan lingkungan

Adanya reaksi antara suatu material dengan lingkungannya merupakan suatu persyaratan yang sangat penting dalam terjadinya suatu peristiwa korosi. Reaksi



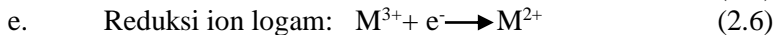
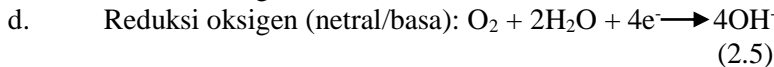
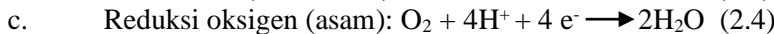
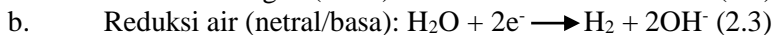
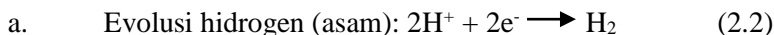
korosi hanya akan terjadi jika terdapat hubungan atau kontak langsung antara material dan lingkungan. Akibat adanya hubungan tersebut, akan terjadi reaksi reduksi dan oksidasi yang berlangsung secara spontan.

d. Elektrolit

Elektrolit adalah untuk mendukung suatu reaksi reduksi dan oksidasi dan melengkapi sirkuit elektrik, antara anoda dan katoda. Elektrolit menghantarkan listrik karena mengandung ion-ion yang mampu menghantarkan *elektroequivalen force* sehingga reaksi dapat berlangsung. Reaksi korosi logam melibatkan dua reaksi setengah sel, yaitu reaksi oksidasi pada anoda dan reaksi reduksi pada katoda. Reaksi katoda dan anoda yang terjadi dalam proses korosi adalah sebagai berikut:



Katoda:



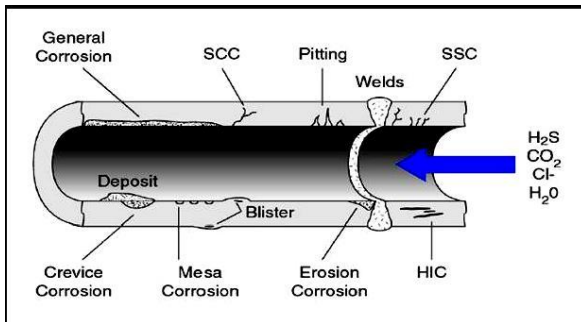
Berdasarkan bentuk kerusakan yang dihasilkan, penyebab korosi, lingkungan tempat terjadinya korosi, maupun jenis material yang diserang, korosi teragi menjadi beberapa macam, diantaranya adalah korosi merata (*uniform corrosion*), korosi galvanic (*galvanic corrosion*), korosi celah (*crevice corrosion*), korosi sumuran (*pitting corrosion*), korosi batas butir (*intergranular corrosion*), korosi erosi (*erosion corrosion*), *fretting, dealloying, hydrogen damaged* dan *environmentally induced corrosion* (Jones, 1992).

2.1.1 Mekanisme Korosi pada Pipeline

Bentuk-bentuk kerusakan yang sering terjadi pada *pipeline* diantaranya berupa penipisan, pembentukan



retakan/sumuran, perubahan penampilan dan penggetasan, sebagaimana diilustrasikan **Gambar 2.1**.



Gambar 2.1 Ilustrasi Beberapa Jenis Korosi yang Menyerang Pipa (UK HSE OTR, 2001)

Pada industri minyak dan gas korosi sangat penting untuk dikendalikan karena korosi dapat menyebabkan penurunan kemampuan menerima beban suatu logam bahkan dapat menyebabkan terjadinya kegagalan atau *failure* sehingga memiliki dampak pada keamanan manusia dan lingkungan sekitar, selain kerugian ekonomi. Pengenalan bentuk-bentuk korosi diperlukan untuk mengetahui teknik pengendalian korosi yang sesuai.

Walaupun klasifikasi korosi dapat tumpang tindih dan saling mempengaruhi satu sama lainnya, ASM International telah mengklasifikasi bentuk-bentuk korosi yang diperlukan bagi desainer, sebagai berikut:



Tabel 2.1 Bentuk-Bentuk Korosi Sesuai Klasifikasi ASM International (ASM International, 1992)

| Korosi General | Korosi lokal | Korosi yang dipengaruhi Metalurgi | Degrade si yang diakibat kan oleh Mesin | Crack Akibat dari Lingkunga n |
|---|---|--|---|--|
| Serangan korosif didominasi oleh penipisan yang seragam | Tinggi nya penetrasi logam di lokasi tertentu | Terkena paduan kimia dan perlakuan panas | Korosi dengan komponen mekanis | <i>Crack</i> dihasilkan oleh korosi dengan adanya tegangan |
| -Korosi Atmosfir | -Korosi Celah | -Korosi Intergranular | -Korosi Erosi | <i>-Stress Corrosion Cracking</i> |
| -Korosi Galvanik | -Korosi Filliform | -Korosi Dealloying | -Korosi Fretting | <i>-Kerusakan Akibat Hydrogen</i> |
| -Korosi <i>Stray-current</i> | -Korosi Biological | | -Cavitation and Water Drop Impingement | <i>-Liquid Metal Embrittlement</i> |
| -Korosi General Biological | | | -Korosi Fatigue | <i>-Solid Metal Induced Embrittlement</i> |
| -Korosi Molten Salt | | | | |
| -Korosi di | | | | |



| | | | | |
|---|--|--|--|--|
| <p><i>Liquid Metal</i></p> <p>-Korosi Temperatur Tinggi</p> | | | | |
|---|--|--|--|--|

Tipe korosi yang umum dikenal pada pipa penyalur minyak dan gas adalah:

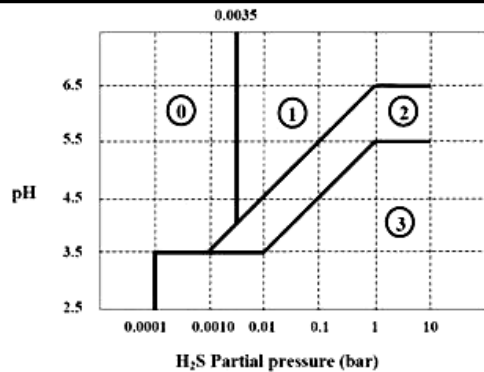
1. Korosi CO₂ (*sweet corrosion*)

Korosi ini terjadi karena adanya CO₂ yang dominan dalam fluida, ditunjukkan oleh region 0 dalam diagram domain pH-tekanan parsial H₂S (lih. **Gambar 2.2**)

2. Korosi H₂S (*sour corrosion*)

Korosi ini terjadi karena adanya H₂S yang dominan dalam fluida, ditunjukkan oleh region 1, 2, atau 3 dalam diagram domain pH-tekanan parsial H₂S.

Selain dua tipe ini, dikenal pula fenomena korosi pada posisi sekitar jam dua belas (*top-of-line corrosion*). Korosi ini terjadi karena adanya spesi-spesi korosif seperti CO₂, asam-asam organik dan H₂S yang terkandung dalam gas disertai pengembunan uap air pada bagian langit-langit pipa.



Gambar 2.2 Batasan *Sour Service* untuk Gas yang Mengandung H₂S dengan Tingkat Kebahayaan *Sulphide Stress Cracking* Terhadap Baja Karbonatau Baja Paduan Rendah (NACE International, 2005)

2.1.2 Laju Korosi

Pengukuran laju korosi (*corrosion rate*) secara eksperimen dapat dilakukan dengan beberapa metode yaitu:

1. Metode pengukuran kehilangan berat
2. Metode elektrokimia (metode tafel dan polarisasi)
3. Metode perubahan tahanan listrik

Pada metode pengukuran kehilangan berat, besarnya korosi dinyatakan sebagai besarnya kehilangan berat kupon logam yang diuji persatuan luas permukaan persatuan waktu. Secara matematis dirumuskan sebagai berikut:

$$CR = \frac{87,6 W}{DAT} \quad (2.7)$$

Dimana :

CR = Laju korosi (mm/year)

D = Densitas (gram/cm³)

A = Luas permukaan (cm²)

T = Waktu (jam)



Banyak cara yang telah dilakukan untuk menjelaskan satuan laju korosi yang terjadi pada suatu material contohnya gram per inchi kuadrat per jam, persen pengurangan berat dan yang paling banyak dipergunakan adalah *mills per year* (mpy). Satu *mils* adalah setara dengan 0,001 inchi. Pada **tabel 2.2** berikut dapat dilihat hubungan laju korosi dengan ketahanan korosinya (relatif).

Tabel 2.2 Tabel hubungan laju korosi dan ketahanan korosi (Jones, 1992)

| Ketahanan Korosi Relatif | Laju Korosi | | | | |
|--------------------------|-------------|----------|-------------------------|---------|--------|
| | mpy | mm/yr | $\mu\text{m}/\text{yr}$ | mm/hr | pm/s |
| Sangat baik | <1 | <0.02 | <25 | <2 | <1 |
| Baik | 1-5 | 0,02-0,1 | 25-100 | 2-10 | 1-5 |
| Cukup | 5-20 | 0,1-0,5 | 100-500 | 10-50 | 20-50 |
| Kurang | 20-50 | 0,5-1 | 500-1000 | 50-150 | 20-50 |
| Buruk | 50-200 | 1-5 | 1000-5000 | 150-500 | 50-200 |

2.1.3 Metode Perlindungan Korosi

Proses korosi merupakan keadaan yang tidak dapat dihindari, namun dapat dikendalikan dan menekan laju korosi sehingga struktur atau komponen baja akan memiliki umur pakai yang lebih panjang. Walaupun demikian pengendalian korosi harus dilakukan semaksimal mungkin, karena apabila tahap pengendalian korosi tidak berhasil maka akan mengakibatkan kegagalan dini yang dari segi ekonomi dan keamanan merupakan hal yang tidak mungkin ditinggalkan (Widharto, 2004). Secara prinsip pengendalian korosi dapat dilakukan dengan berbagai cara, antara lain:



1. Memodifikasi Desain Rancangan

Usaha pengendalian korosi sebaiknya sudah dilakukan sejak tahapan desain perancangan. Oleh karena itu, perlunya menganalisa dalam proses desain sejak pemulihan proses, penentuan kondisi-kondisi prosesnya, pemulihan *lay-out* saat kontruksi hingga tahap *start-up*nya.

2. Pemulihan Material

Pemulihan bahan anti korupsi merupakan tinjauan dalam setiap perancangan kontruksi. Ketahanan korosi pada setiap material yang digunakan tentunya tidak sama. Semakin tinggi sifat anti korosi dalam suatu material tentunya memiliki faktor ekonomi yang lebih tinggi.

3. Perlakuan Lingkungan

Perlakuan lingkungan sangat penting dalam pengendalian korosi dalam suatu industri. Lingkungan yang korosif harus diubah menjadi kurang korosif bahkan hingga tidak bersifat korosif. Ada dua macam cara mengurangi lingkungan yang korosif yaitu pengubahan media (elektrolit) seperti penurunan suhu, penurunan kecepatan air, penghilang oksigen, hingga perubahan konsentrasi. Yang kedua dengan menggunakan inhibitor.

1. Pelapisan (*Coating*)

Metode pelapisan atau *coating* biasanya diterapkan pada suatu permukaan material logam. Pada pelapisannya terdapat cara pelapisan yaitu pelapisan dengan bahan logam dan pelapisan dengan bahan non logam. Proses pelapisan atau *coating* merupakan proteksi material terhadap korosi yang paling efektif dan ekonomis. Selain itu *coating* juga bertujuan memberi efek keindahan pada suatu material.

2. Proteksi Katodik Anodik



Pengendalian korosi dengan metode katodik merupakan metode pencegahan korosi pada logam yang ingin dilindungi dijadikan bersifat katodik dengan mengorbankan logam lain sebagai anoda. Proteksi katodi dengan efektif melindungi korosi eksternal pada pipa saluran dibawah tanah atau dibawah air laut. Kekurangan metode ini adalah adanya arus sesat yang meningkatkan laju korosi logam lain yang berada disekitar logam yang dilindungi.

2.2 Organik Coating

2.2.1 Pelapisan Organik

Coating organik merupakan penghalang tipis organik antara material (substrat) dengan lingkungannya. *Coating Organik* biasa diaplikasikan berbentuk cairan dengan menggunakan kuas, rol, dan penyemprotan (Forsgren, 2006). *Coating* yang terdiri dari *binder*, *pigment*, *additive*, dan *solvent*, adalah zat lapis organik yang biasa digunakan untuk proteksi korosi. (Philip, 2006).

2.2.2 Komponen Lapisan Organik

Komponen pada lapisan organik terdiri dari binder, pigmen, additif, dan solvent. Sistem pelapisan organik diklasifikasikan berdasarkan jenis binder atau resin. Meskipun binder atau resin yang biasanya merupakan polimer organik merupakan elemen yang memberikan efek yang lebih berpengaruh terhadap ketahanan dan sifat dari lapisan organik, namun jenis dan jumlah dari pigment, solvent, dan additif dapat mempengaruhi sifat dan kemampuan proteksi dari lapisan organik. (Philip, 2006)

2.2.3 Pengikat (*Binder*)

Binder adalah unsur pembentuk lapisan (*film*) pada pelapisan organik, di mana *binder* berfungsi mengikat komponen



lain sehingga dapat membentuk lapisan keras. Sebagian besar *binder* pada pelapisan organik menggunakan bahan polimer organik atau biasa disebut resin. (Wicks, 1999)

Contoh *binder* adalah, *epoxy*, *acrylic*, *polyurethane*, *polyester*, *alkyd*, dll. Masing-masing memiliki sifat yang berbeda. Maka dari itu dalam menentukan jenis pelapisan organik yang akan digunakan harus memperhatikan lingkungan operasi dan sifat yang dimiliki oleh *binder* itu sendiri. (Phillip, 2006)

2.2.4 Pigmen (*pigment*)

Tujuan utama adanya pigmen dalam lapisan organik adalah untuk memberikan warna pada lapisan film. Selain itu pigmen juga dapat meningkatkan sifat ketahanan korosi, ketahanan *ultra violet* dan dapat menambah sifat adhesif dari lapisan organik.

Pigmen dalam melindungi substrat logam dari korosi, pigmen dapat bekerja sebagai zat inhibitor, zat yang dikorbankan (*sacrificial*) seperti seng, serta zat penghalang (*barrier*) seperti kaca (*glass*). (Forsgren, 2006)

2.2.5 Pelarut (*solvent*)

Komponen *solvent* (pelarut) dibutuhkan untuk mengurangi kekentalan dari resin dan komponen lainnya sehingga memudahkan dalam pengaplikasian. Pelarut dibutuhkan saat pengaplikasian zat lapis organik pada substrat. Tetapi setelah pengaplikasian, pelarut akan menguap dari lapisan organik yang masih basah. Jika ada pelarut yang tidak menguap, maka hal tersebut mengakibatkan kegagalan pada lapisan organik, seperti *blistering* dan *pinhole*. (Philip, 2006)

2.2.6 Aditif (*additive*)

Untuk tujuan proteksi korosi, komponen paling utama pada lapisan organik ialah *binder* dan pigmen. Fungsi dari *additive* ialah sebagai pengontrol aliran dan dispersi, reagen yang reaktif, dan zat kimia yang tahan terhadap lingkungan tertentu.



Sebagai pengontrol aliran dan dispersi, *additive* membuat lapisan organic dapat mengontrol sifatnya saat dalam keadaan basah, yaitu pada saat pencampuran, pengaplikasian maupun proses *curing*. Sebagai reagen yang reaktif, *additive* membantu dalam pembentukan film, membentuk ikatan pada substrat, proses *crosslinking*, dan *curing*. Dan sebagai zat kima yang tahan terhadap lingkungan, *additive* dapat memberikan perlindungan terhadap suatu lingkungan tertentu seperti lingkungan laut dan sinar UV. (Forsgren, 2006)

2.3 Preparasi Permukaan

Sifat penting dari suatu lapisan organik adalah kemampuan untuk melekat pada substrat. Maka dari itu substrat harus bebas dari kotoran dan kontaminan seperti minyak dan produk-produk korosi. Maka dari itu dibutuhkan proses preparasi permukaan. Keberhasilan dari proses coating tergantung pada proses preparasi permukaan, dimana preparasi permukaan ini akan mempengaruhi kekuatan adhesi dari material. (Trijatmiko, 2016)

Preparasi permukaan adalah tahap awal yang sangat penting pada substrat sebelum dilakukannya penerapan pelapisan. Tahapan ini mempengaruhi kemampuan material dalam mengikat lapisan *coating*. Adanya pengotor pada permukaan seperti minyak, karat, bekas cat akan mengurangi kekuatan adhesi lapisan pada substrat. (Hudson, 1982)

Karena preparasi permukaan memegang peranan penting untuk mendapatkan kekuatan adhesi yang diinginkan, maka terdapat suatu standar yang mengatur metode preparasi permukaan. Metode tersebut dikeluarkan oleh *Steel Structures Painting Council* (SSPC). **Tabel 2.3** berikut ini merangkum metode standar preparasi permukaan yang dikeluarkan oleh SSPC.



Tabel 2.3 Ringkasan Standar Preparasi Permukaan SSPC
(Philip, 2006)

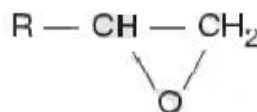
| Spesifikasi | Deskripsi |
|----------------------------------|---|
| SP 1: Solvent Cleaning | Penghilangan minyak, minyak pelumas, kotoran, sosis, garam, dan kontaminan dengan cara membersihkan dengan pelarut, uap, alkali, emulsi, atau uap |
| SP 2: Hand-tool Cleaning | Penghilangan karat longgar, <i>mill scale</i> , dan cat sampai tingkat ditentukan dengan <i>hand chipping, scraping, sanding</i> , dan <i>wire brushing</i> |
| SP 3: Power-tool Cleaning | Penghilangan karat longgar, <i>mill scale</i> , dan cat sampai tingkat ditentukan dengan <i>power tool chipping, scraping, sanding, wire brushing</i> , dan <i>grinding</i> |
| SP 5: White-metal Blast Cleaning | Penghapusan semua karat, <i>mill scale</i> , cat, dan benda asing dengan <i>blast cleaning</i> menggunakan roda atau nosel (kering atau basah), menggunakan pasir, kerikil, atau tembakan |
| SP 6: Commercial Blast | <i>Blast cleaning</i> sampai dua pertiga dari luas permukaan bebas dari semua residu yang terlihat |
| SP 7: Brush-off Blast Cleaning | <i>Blast cleaning</i> semua kecuali residu yang melekat dari <i>mill scale</i> , karat, dan pelapis, memperlihatkan banyak bintik-bintik yang merata dari logam |



| | | yang mendasarinya |
|----------------------------------|--|--|
| SP 8: Pickling | | Penghilangan lengkap karat dan <i>mill scale</i> dengan <i>acid pickling</i> , <i>duplex pickling</i> , or <i>electrolytic pickling</i> |
| SP 10: Near-white Blast Cleaning | | <i>Blast cleaning</i> hampir sampai kebersihan <i>white-metal cleanliness</i> , sampai setidaknya 95% luas permukaan bebas dari semua residu yang terlihat |

2.4 *Epoxy Coating*

Coating epoksi banyak digunakan di konstruksi untuk meningkatkan ketahanan korosi. (Miller, dkk., 2003). Memiliki sifat yang sangat kuat, tahan terhadap zat kimia, dan memiliki adesi yang baik pada substrat, maka *epoxy coating* merupakan jenis pelapisan antikorosi yang paling penting. *Epoxy*, *epoxy resin*, atau *epoxide* adalah kelompok senyawa yang memiliki ciri adanya cincin *oxirane* atau *epoxy*, seperti pada gambar 2.3 berikut:



Gambar 2.3 Struktur Cincin *Epoxy* atau *Oxirane* (Petrie, 2006)

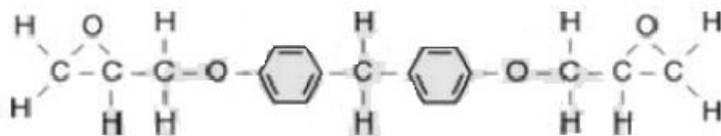
2.5 *Epoksi Resin*

Epoksi resin merupakan kelompok epoksida memiliki banyak reaksi yang berguna dalam resin kimia, khususnya yang mengandung karboksil, hidroksil, fenol, dan amina. Reaksi ini tidak memerlukan temperatur tinggi, bersifat eksotermik dan



mudah dikatalisis. Mereka biasa digunakan dalam perakitan polimer dan dalam teknologi pelapisan. (Lambourne, 1999) Epoksi resin juga banyak digunakan dalam melindungi struktur baja (Talo, 1999)

Epoxy resin adalah senyawa yang memiliki cincin *epoxy*. Bisphenol-F resin adalah salah satu *epoxy resin* yang terbentuk dari hasil reaksi antara *phenol* dengan *formaldehyde*. Resin ini memiliki ketahanan kimia dan panas yang baik serta berat molekul yang rendah (Petrie, 2006). Struktur resin dari Bisphenol-F dapat dilihat pada **Gambar 2.4** berikut ini:



Gambar 2.4 Struktur Resin Bisphenol-F (ASM International, 1992)

Kelompok epoksi memiliki berbagai bentuk, tergantung pada jenis resin epoksi (yang mengandung gugus epoksida) bereaksi dengan *carboxyl*, *hydroxyl*, *phenol*, atau *amine* sebagai *curing agent*. *Curing agent* yang paling umum digunakan adalah :

1. Aliphatic polyamines
2. Polyamine adducts
3. Ketimines
4. Polyamides/amidoamines
5. Aromatic amines
6. Cycloaliphatic amines
7. Polyisocyanates

2.6 Kegagalan Pada Lapisan Organik

Kegagalan pada ikatan *coating* dapat disebabkan oleh faktor seperti pengaplikasian yang kurang baik, preparasi



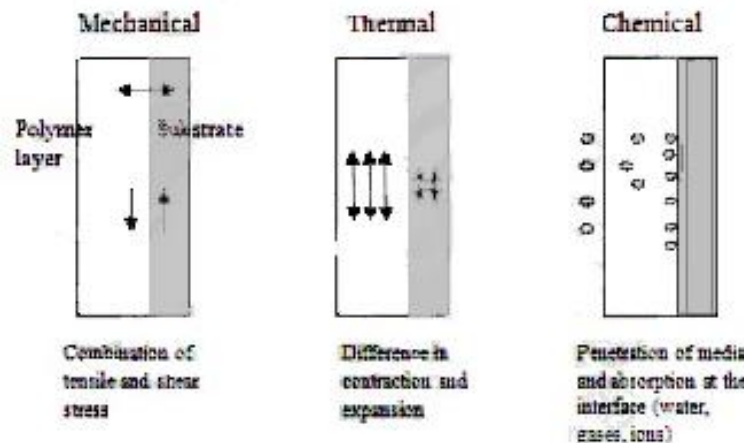
permukaan yang kurang baik, efek lingkungan, cacat pada lapisan organik, serta korosi. Kegagalan yang terjadi pada coating biasa berupa *cohesive failure* serta *stress* dan *chemical failure*. (Philip, 2006)

1. *Cohesive failure*

Cohesive failure dapat terjadi karena *coating* tidak dapat menahan beban/gaya dari luar, sehingga dapat menyebabkan kerusakan terjadi pada *coating*.

2. *Stress* dan *thermal failure*

Stress dan *thermal failure* disebabkan adanya gaya mekanik dari luar, hal ini dapat merusak *coating* maupun ikatan yang terjadi antara *coating* dengan permukaannya (substrat). Adanya perubahan temperatur yang dialami *coating* akan menimbulkan *stress concentration* pada lapisan *interface*. Dan adanya zat kimia pada suatu lingkungan yang berpenetrasi ke dalam *coating* sehingga mencapai lapisan *interface* akan membuat *coating* kehilangan adesinya pada substrat logam. Gambaran dari kerusakan tersebut dapat dilihat pada **Gambar 2.5**.



Gambar 2.5 Kerusakan pada *Coating*. (a) *Mechanical*, (b) *Thermal*, (c) *Chemical Bond Failure* (Philip, 2006)

2.6.1 Korosi di Bawah Lapisan Organik

Saat lapisan organik berada pada lingkungan lembab ataupun pada larutan encer, air akan berpenetrasi ke dalam lapisan *interface* antara substrat dan lapisan organik. Penetrasi air tersebut dapat merusak ikatan antara substrat dan lapisan organik sehingga dapat mengakibatkan hilangnya adesi atau daya lekat dari lapisan organik tersebut, kemudian mengakibatkan inisiasi korosi. Korosi di bawah lapisan organik diantaranya adalah *blistering* (pelepuhan) dan delaminasi katodik. (Philip, 2006)

2.6.2 *Blistering*

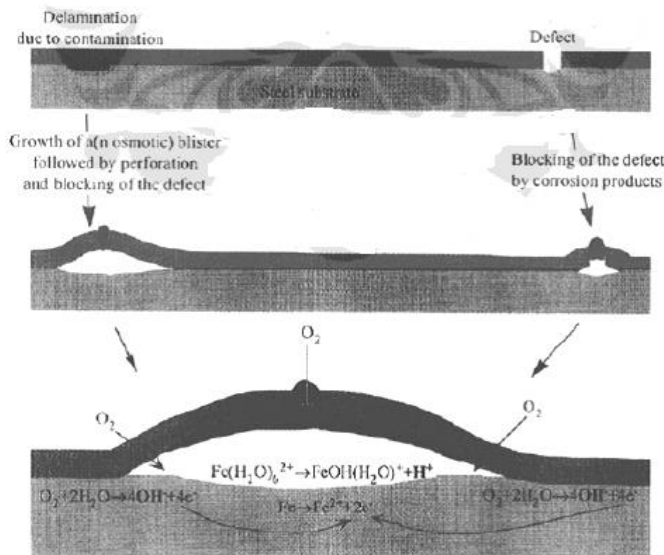
Uap air dan oksigen dapat berdifusi ke dalam lapisan organik dan berakhir pada lapisan antarmuka antara substrat dan lapisan film. Akibatnya, pada antarmuka akan terdapat molekul air, dan akan terus meningkat sehingga pada bagian antarmuka yang daya lekatnya kurang baik. Reaksi korosi dimulai pada bagian tersebut karena adanya elektrolit yang terakumulasi.



Reaksi tersebut dapat menyebabkan pembentukan *blister* (pelepuhan), di mana adesi antara *coating* dan substrat menjadi tidak baik atau rusak. *Blister* tersebut nantinya akan tumbuh dan berkembang, sehingga menyebabkan adanya peristiwa delaminasi katodik. (Philip, 2006)

2.6.3 Delaminasi Katodik

Saat proteksi katodik diberikan pada logam yang terlapisi *coating* organik, maka peristiwa delaminasi katodik (*cathodic delamination*) dapat terjadi. Delaminasi katodik adalah peristiwa hilangnya daya lekat antara substrat dan lapisan *coating*. Hilangnya adesi *coating* pada substrat dapat terjadi pada daerah lapisan organik yang terdapat cacat maupun yang masih baik. Mekanisme delaminasi katodik dapat dilihat pada **Gambar 2.6**.



Gambar 2.6 Mekanisme Delaminasi Katodik yang Diawali dari Cacat pada Lapisan Organik dan juga *Blister* (Philip, 2002)



Pada lapisan organik yang terdapat cacat, ada bagian substrat yang langsung terkena atau terpapar oleh lingkungan yang korosif sehingga menghasilkan produk korosi. Produk korosi tersebut akan terus terbentuk sehingga akan menutupi bagian *coating* yang cacat, dan merusak ikatan antara *coating* dengan substrat sehingga hal ini akan menyebab *blistering* (pelepuhan). Pada daerah pelepuhan tersebut terjadi perbedaan konsentrasi oksigen, yaitu konsentrasi oksigen di daerah bawah produk korosi lebih kecil dibandingkan di daerah tepi kerusakan pada *coating*. Sehingga proses korosi tersebut akan terus menerus berjalan di bawah lapisan film. Sedangkan pada kondisi lapisan film yang masih terlihat baik, delaminasi katodik terjadi pada daerah yang memiliki adesi yang kurang baik. Di mana daerah tersebut merupakan awal mula terjadinya korosi. Sehingga menyebabkan daya lekat antara substrat dan *coating* akan hilang. (Philippe, 2002)

2.7 Avtur (*Aviation Turbine Fuel*)

Aviation Turbine Fuel (AVTUR) atau secara internasional lebih dikenal dengan nama Jet A-1 adalah bahan bakar untuk pesawat terbang jenis jet (baik tipe jet propulsion atau propeller.) Avtur adalah minyak tanah dengan spesifikasi yang diperketat, terutama mengenai titik uap, dan titik beku. Secara umum, avtur memiliki kualitas yang lebih tinggi dibandingkan bahan bakar yang digunakan untuk pemakaian yang kurang ‘genting’ seperti pemanasan atau transportasi darat. (Ginting, 2014)

Berikut ini merupakan standard komposisi avtur menurut ASTM D1655 di tunjukan pada **tabel 2.4**.



Tabel 2.4. Komposisi Avtur (ASTM D1655, 2017)

| | |
|-----------------------------------|--------------|
| Acidity, mg KOH/g | 0.10 Max. |
| Aromatics, Vol. % | 25.0 Max.ax. |
| Sulphur, mercaptan, Wt. % | 0.003 Max. |
| 10% Distillation, °C | 205.0 Max. |
| Final Boiling Point, °C | 300.0 Max |
| Distillation Residue, % | 1.5 Max. |
| Distillation Loss, % | 1.5 Max. |
| Flash Point, °C | 38.0 Min. |
| Density @ 15°C, kg/m ³ | 775/840.0 |
| Freeze Point, °C | -47.0 Max |
| Viscosity @ -20°C, mm/s | 8.0000 Max. |
| Net Heat of Combustion, MJ/kg | 42.80 Min |

2.8 Baja

Besi murni (ferit) tentulah tidak mengandung karbon. Besi ini relatif lunak dan liat serta mampu tempa, tetapi tidak kuat. Hampir semua besi murni mempunyai suatu kekuatan tarik batas sekitar 40.000 psi. Penambahan karbon ke dalam besi murni dalam jumlah yang berkisar dari 0,05 sampai 1,7 persen, menghasilkan apa yang dikenal sebagai baja. (Afandi, dkk., 2015)Bila satu atau lebih logam ditambahkan kedalam baja karbon dalam jumlah yang cukup maka akan diperoleh sifat-sifat baja yang baru, hasil ini dikenal dengan baja paduan. Logam paduan yang umum digunakan adalah nikel, mangan, khrom, vanad, dan molibden. Baja karbon biasanya diklasifikasikan seperti ditunjukkan di bawah ini :

1. Baja karbon rendah

Mengandung karbon antara 0,05 hingga 0,30 wt% C. Memiliki kekuatan luluh (*yield strength*) 275 MPa (40.000 psi), kekuatan tarik (*tensile strength*) antara 415 dan 550 MPa (60.000 dan 80.000 psi), dan keuletan (*ductility*) dari 25% EL. Relatif lunak dan lemah tetapi memiliki ketangguhan dan



keuletan yang luar biasa. Di samping itu, baja karbon rendah memiliki sifat mudah ditempa, mudah di mesin, dan mudah di las.

2. Baja karbon menengah

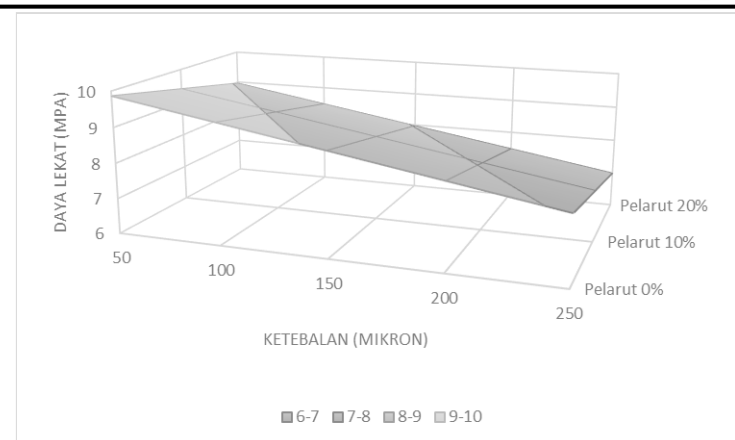
Memiliki konsentrasi karbon berkisar antara 0,30 hingga 0,60 wt% C. Memiliki tingkat kekuatan yang lebih tinggi dibandingkan dengan baja karbon rendah. Mempunyai sifat yang sulit dibengkokkan, di las, dan dipotong.

3. Baja karbon tinggi

Biasanya mengandung karbon sebesar 0,60 hingga 1,4 wt% C. Merupakan baja karbon yang paling sulit untuk dibentuk, ditempa, di las, dan dipotong tetapi memiliki tingkat keuletan paling tinggi. Memiliki sifat yang sangat keras dan tahan aus. Baja karbon tinggi ini biasa digunakan untuk mesin pemotong, pisau, pisau gergaji besi, per (*spring*), dan kawat baja berkekuatan tinggi. (Afandi, dkk., 2015)

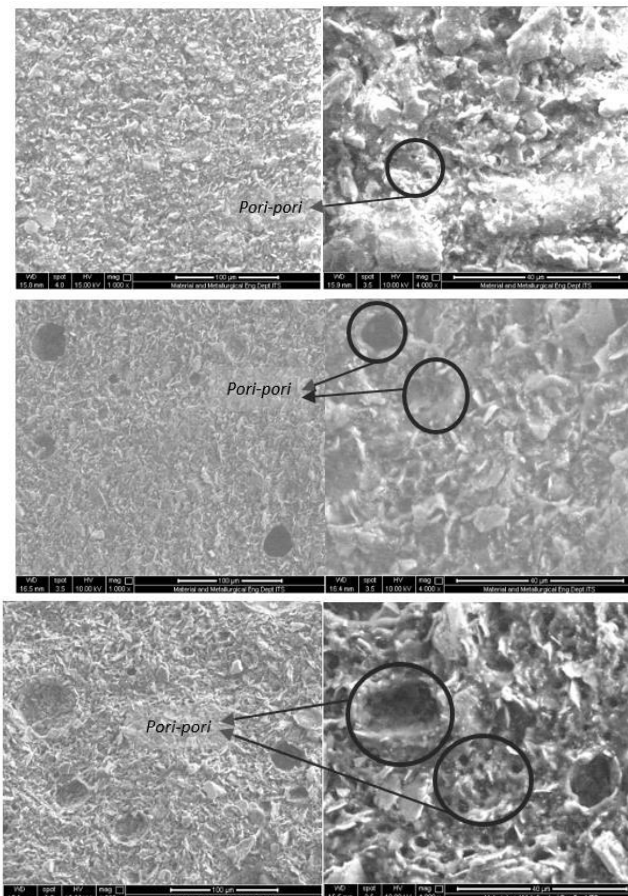
2.9 *State Of The Art (Penelitian Sebelumnya)*

Penelitian mengenai pengaruh ketebalan cat epoksi dan penambahan pelarut terhadap daya lekat dan tingkat blistering dilakukan oleh Maulana dkk, 2015. Dalam penelitian tersebut proses pelapisan dengan resin epoksi dengan variasi ketebalan DFT 50,100,150,200,250 mikron dan variasi pelarut 0, 10, dan 20 %. Substrat yang digunakan adalah baja karbon ASTM A36 Grade B. Hasil yang didapatkan adalah daya lekat terbaik didapatkan saat ketebalan 50 mikron dengan tanpa penambahan pelarut atau komposisi pelarut 0%. Dan yang terendah terdapat pada komposisi pelarut 20% dengan kerebalan 250 mikron dengan komposisi pelarut 20%. Hal tersebut dapat dilihat pada **gambar 2.7** dari hasil uji daya lekat.



Gambar 2.7 Grafik Surface Daya Lekat Terhadap Ketebalan dengan Perbedaan Komposisi Pelarut (Muhammad, dkk)

Hal tersebut dikarenakan adanya pori pada komposisi pelarut terbanyak yaitu 20% serta semakin tebalnya cat mengakibatkan pori tersebut menjadi lebih banyak. Jumlah dan besarnya pori ditunjukkan pada pengujian morfologi dengan SEM pada **gambar 2.8**



Gambar 2.8 Hasil Pengujian SEM Komposisi Penambahan Pelarut 20% dengan perbesaran 1000x dan 4000x a)0%, b)10%, dan c)20% (Muhammad, dkk)

Beradarkan hasil pengujian dengan menggunakan SEM, dengan menggunakan tiga sampel perbedaan komposisi penambahan pelarut 0%, 10%, dan 20 % dengan perbesaran 1000x dan 4000x didapatkan gambar 5 a, b, dan c. Pada hasil pengamatan dan analisa SEM dari gambar-gambar di bawah diketahui bahwa penambahan pelarut ternyata menyebabkan adanya pori-pori.



Pada gambar 4a komposisi penambahan pelarut 0% dengan perbesaran 4000x terlihat adanya pori yang sangatlah kecil dengan persebaran yang merata. Pada penambahan pelarut 10% terdapat adanya pori yang berbeda dengan ukuran yang lebih besar dibeberapa bagian. Dan pada penambahan pelarut 20% memperlihatkan penambahan pori yang signifikan dengan persebaran pori yang cukup besar dan ada beberapa bagian yang terdapat pori sangatlah besar daripada pori pada penambahan pelarut 10%. Dari analisa tersebut dapat dikatakan bahwa penambahan pelarut dapat menyebabkan adanya pori dan semakin besar penambahan pelarut mengakibatkan pori semakin besar karena proses penguapan dari *solvent* lebih lambat dari proses crosslinking pada epoksi itu sendiri menyebabkan pori itu terbentuk. Semakin banyak penambahan pelarut mengakibatkan semakin banyak dan besar pori yang terbentuk. Namun hingga ketebalan 250 mikron tidak terjadi *crack* pada *coating*. Selain itu semakin tebal cat akan mengakibatkan adanya crack pada *coating* namun hingga ketebalan 250 mikron *coating* mampu berperan paling baik dan tidak terjadi kerusakan seperti *crack*. (Muhammad, dkk. 2015)

Penelitian mengenai pengaruh ketebalan cat epoxy terhadap daya lekat pada pelat baja karbon rendah dilakukan oleh Afandi dan Sudiyono, 2016. Dengan hasil pengujian sebagai berikut:

Tabel 2.5 Hasil Pengujian Pull Off Adhesion Test C3 (Struktur Jembatan) (Pratama dan Sudiyono, 2016)

| Tebal Cat | R(Pengulangan) | Nilai Kekasaran | | |
|------------------------|----------------|---------------------|---------------------|---------------------|
| | | 30-50 μm | 50-70 μm | 70-85 μm |
| min. 200 μm | 1 | 14.67 | 13.63 | 11.08 |
| | 2 | 12.02 | 11.32 | 10.49 |
| | 3 | 12.65 | 10.09 | 9.96 |



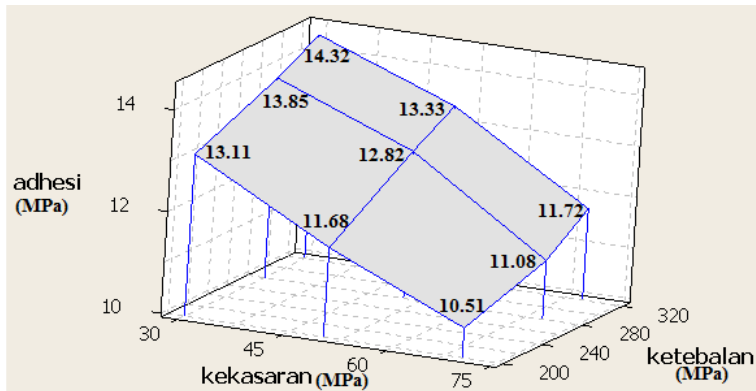
Tabel 2.6 Hasil Pengujian Pull Off Adhesion Test C4 (Industri Pengolahan Kimia) (Pratama dan Sudiyono, 2016)

| Tebal Cat | R(Pengulangan) | Nilai Kekasaran | | |
|------------------------|----------------|---------------------|---------------------|---------------------|
| | | 30-50 μm | 50-70 μm | 70-85 μm |
| min. 280 μm | 1 | 12.89 | 12.55 | 10.77 |
| | 2 | 15.10 | 12.62 | 10.56 |
| | 3 | 13.57 | 13.29 | 11.92 |

Tabel 2.7 Hasil Pengujian Pull Off Adhesion Test C5 (Struktur Lingkungan Laut) (Pratama dan Sudiyono, 2016)

| Tebal Cat | R(Pengulangan) | Nilai Kekasaran | | |
|------------------------|----------------|---------------------|---------------------|---------------------|
| | | 30-50 μm | 50-70 μm | 70-85 μm |
| min. 320 μm | 1 | 15.65 | 14.07 | 12.21 |
| | 2 | 13.11 | 12.74 | 11.66 |
| | 3 | 14.20 | 13.19 | 11.30 |

Dari hasil *pull off adhesion test* tersebut dapat direpresentasikan melalui grafik seperti berikut:



Gambar 2.8. Grafik 3D *Pull off adhesion test* (Pratama dan Sudiyono, 2016)



Dari **Gambar 2.8** diperoleh bahwa pengujian yang memiliki daya lekat tertinggi untuk struktur jembatan adalah 13.11 MPa pada kekasaran 30-50 μm dengan ketebalan cat 200 μm , daya lekat tertinggi untuk industri pengolahan kimia adalah 13.85 MPa pada kekasaran 30-50 μm dengan ketebalan cat 280 μm , dan daya lekat tertinggi untuk struktur di lingkungan laut adalah 14.32 MPa pada kekasaran 30-50 μm dengan ketebalan cat 320 μm . Terjadi penurunan nilai daya lekat karena ketebalan yang rendah, walaupun demikian nilai daya lekat berada di atas standar yaitu 5 MPa. Selain itu penurunan daya lekat cat terlihat saat kekasaran semakin tinggi. (Rishad, 2016)

Penelitian mengenai pengaruh material abrasif pada *blasting* terhadap kekuatan daya lekat cat dilakukan oleh Trijatmiko, dkk. 2016

Tabel 2.8 Hasil Pengujian Pull-off Test

| Jenis Material Abrasif | Jenis Cat | Pull-off Test (Mpa) | | | Raya-rata (MPa) |
|------------------------|-----------|---------------------|-------|-------|-----------------|
| | | 1 | 2 | 3 | |
| Aluminium Oxide | Epoxy | 15.88 | 17.83 | 20.49 | 18.07 |
| | Zinc Rich | 21.68 | 20.15 | 20.10 | 20.64 |
| Steel Grit | Epoxy | 21.23 | 19.40 | 19.50 | 20.04 |
| | Zinc Rich | 22.53 | 20.48 | 21.38 | 21.46 |
| Volcanic Sand | Epoxy | 15.40 | 17.60 | 15.60 | 16.20 |
| | Zinc Rich | 16.20 | 15.08 | 18.20 | 16.49 |



Tabel 2.9 Hasil Pengujian Daya Lekat Terhadap Spesimen Setelah di *Salt Spray* 72 Jam

| Jenis Material Abrasif | Jenis Cat | Pull-off Test (Mpa) | | | Raya-rata (MPa) |
|------------------------|-----------|---------------------|-------|-------|-----------------|
| | | 1 | 2 | 3 | |
| Aluminum Oxide | Epoxy | 13.24 | 12.95 | 13.54 | 13.24 |
| | Zinc Rich | 13.99 | 13.26 | 14.84 | 14.03 |
| Steel Grit | Epoxy | 14.28 | 15.49 | 12.68 | 14.15 |
| | Zinc Rich | 14.02 | 16.44 | 14.67 | 15.04 |
| Volcanic Sand | Epoxy | 11.64 | 9.68 | 12.11 | 11.14 |
| | Zinc Rich | 11.27 | 10.40 | 12.40 | 11.36 |

Tabel 2.9 Hasil Pengujian Daya Lekat Terhadap Spesimen Setelah di *Salt Spray* 168 Jam

| Jenis Material Abrasif | Jenis Cat | Pull-off Test (Mpa) | | | Raya-rata (MPa) |
|------------------------|-----------|---------------------|-------|-------|-----------------|
| | | 1 | 2 | 3 | |
| Aluminum Oxide | Epoxy | 9.63 | 8.88 | 12.18 | 10.23 |
| | Zinc Rich | 10.76 | 12.58 | 10.50 | 11.28 |
| Steel Grit | Epoxy | 12.27 | 9.96 | 13.50 | 11.91 |
| | Zinc Rich | 14.06 | 11.66 | 12.67 | 12.80 |
| Volcanic Sand | Epoxy | 9.58 | 9.09 | 8.40 | 9.02 |
| | Zinc Rich | 9.13 | 9.84 | 9.65 | 9.54 |



Pengujian daya lekat dilakukan untuk mengukur kekuatan daya lekat cat dengan antara lapisan cat dengan substrat. Standart yang digunakan untuk pengujian ini adalah ASTM D4541-02. Standar NORSO M-501 dari hasil diatas terlihat bahwa spesimen yang di blasting menggunakan material abrasif steel grit memiliki nilai daya lekat yang paling tinggi baik spesimen yang di coating menggunakan cat primer epoxy maupun spesimen yang di coating menggunakan cat primer zinc rich. Hal ini terjadi karena permukaan spesimen yang di blasting menggunakan material abrasif steel grit, memiliki struktur permukaan yang lebih kasar dibandingkan dengan spesimen yang di blasting menggunakan material abrasif alumunium oxide, maupun spesimen yang di blasting menggunakan material abrasif volcanic sand. Semakin kasar suatu permukaan material akan menambah area kontak antara cat dan substrat, sehingga akan menambah kekuatan lekat cat, ketika permukaan lebih halus maka cat akan kehilangan mechanical interlocking dengan substrat yang akan mengurangi kekuatan lekatnya. Sehingga material abrasif *Steel Grit* merupakan material yang paling baik diantara material lain. (Trijatmiko,dkk. 2016)



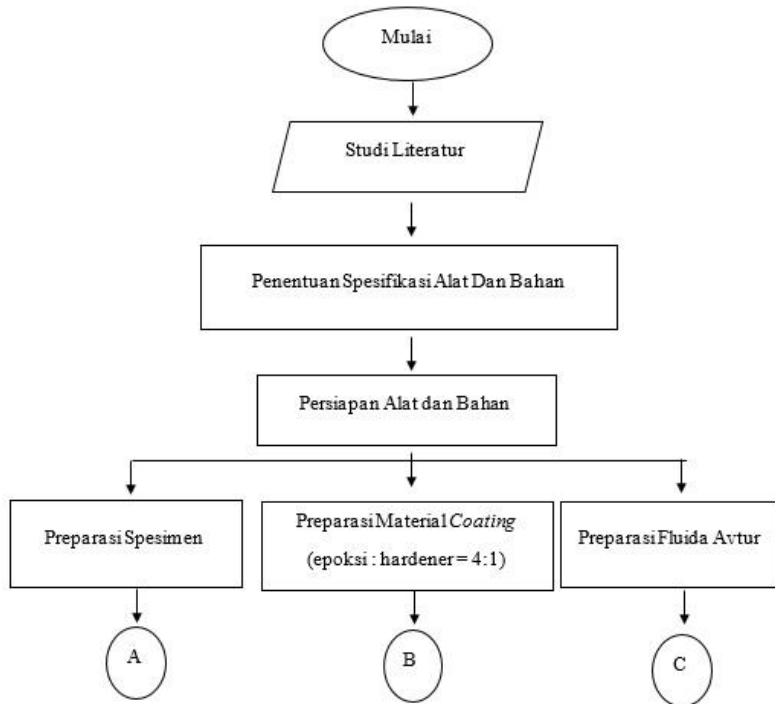
(Halaman ini sengaja dikosongkan)

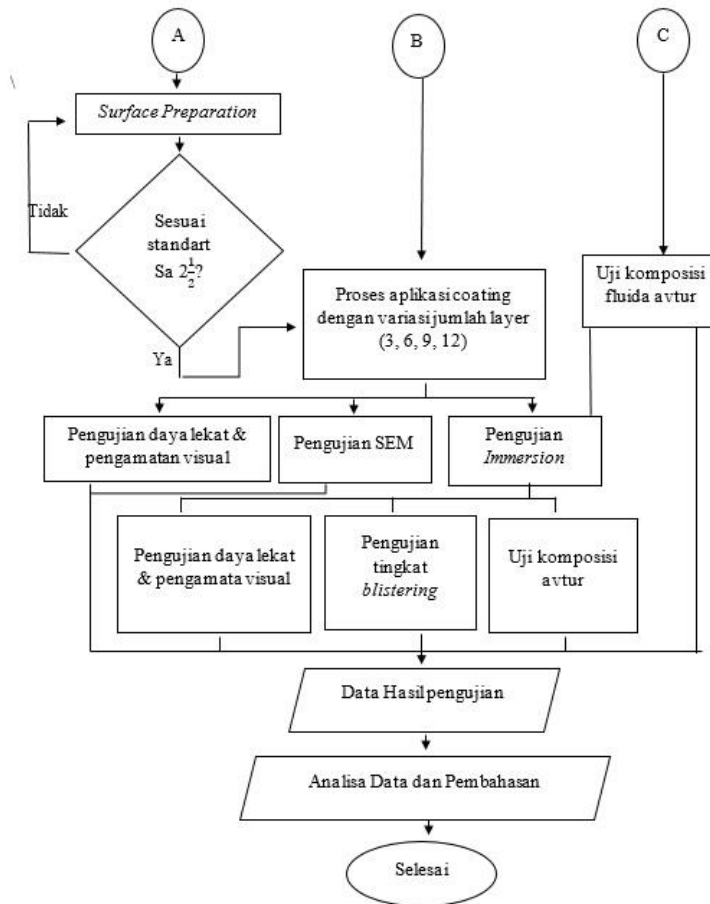


BAB III

METODOLOGI PENELITIAN

3.1 Diagram Alir Penelitian





Gambar 3.1 Diagram Alir Penelitian



3.2 Metode Penelitian

Pada penelitian ini akan dilakukan dengan metode penelitian sebagai berikut:

1. Studi Literatur

Studi literatur pada penelitian ini mengacu pada jurnal dan buku dari situs-situs penelitian yang membahas mengenai permasalahan korosi dan pengendaliannya, yaitu *protective coating*. Khususnya jurnal dan buku yang membahas mengenai permeabilitas coating, aplikasi pengendalian korosi dengan menggunakan *coating* organik pada lingkungan oil and gas, serta pencegahan korosi menggunakan *coating* organik akibat jumlah layer *coating*.

2. Diskusi

Pada tahapan ini dilakukan diskusi untuk menambah wawasan agar lebih memahami permasalahan dan solusi pada penelitian. Diskusi ini dilakukan dengan pihak – pihak terkait dengan penelitian.

3. Eksperimental

Ada beberapa eksperimen yang akan dilakukan pada penelitian ini yaitu pengujian *immersion*, *adhesion*, *SEM* dan uji *GC MS (Gas Chromatography-Mass Spectroscopy)*

3.3 Bahan Penelitian

1. Bahan

Substrat sebagai bahan *specimen* yang digunakan dalam penelitian ini adalah baja karbon API 5L Grade B sesuai tertera pada **Tabel 3.1** Komposisi API 5L. Pipa yang digunakan dengan ketebalan 5 mm dengan ukuran sesuai dengan ketentuan penelitian, pemotongan dilakukan dengan *cutting tool* dan dilakukan penyelesaian akhir dengan gerinda. Setelah itu dilakukan persiapan permukaan sesuai dengan yang disyaratkan yaitu $SA 2\frac{1}{2}$ Sebelum dilapisi dengan material *coating*. Bahan cat yang digunakan adalah *organic coating solvent base* yang berfungsi sebagai *barrier protection*, dengan komposisi sesuai pada **Tabel 3.1** dan Komposisi kimia API 5L Grade B. Dalam aplikasi dengan *conventional spray*. Tebal lapisan berbeda-beda



yaitu 3, 6, 9, 12 layer sesuai dengan yang maksud penelitian. Pengukuran setelah kering (DFT). Coating diaplikasikan pada kondisi atmosfer dan kelembaban yang cukup.

Tabel 3.1 Komposisi Kimia API 5L Grade B

| STANDAR | KELAS | KOMPOSISI KIMIA | | | | | | | | | |
|----------------|--------------|------------------------|-------------|--------------------|-------------|-------------|-------------|-------------|-------------|-------------|-------------|
| | | C | Si | Mn | P | S | Cr | Mo | Cu | Ni | V |
| API 5L | Gr. B | ≤ 0.25 | ≤ 0.10 | ≤ 0.270 93 | ≤ 0.35 | ≤ 0.35 | ≤ 0.40 | ≤ 0.15 | ≤ 0.40 | ≤ 0.40 | ≤ 0.08 |

2. Material Coating

Penelitian yang dilakukan material *coating* yang digunakan adalah *epoxy* dari produsen Jotun dengan jenis *Tankguard HB* dengan menggunakan komponen A sebagai binder dan komponen B sebagai Curing Agent. Pelarut (*solvent*) menggunakan Thinner Jotun No.21. Berikut adalah spesifikasi dari komponen A Tankguard HB, komponen B Tankguard HB dan Thinner Jotun no. 21.

Tabel 3.2 Komposisi Cat *Epoxy* Komponen A (*Tankguard HB*)

| Nama Bahan | % |
|--|--------|
| Epoxy resin (MW 700-1200) | 10-25 |
| Xylene | 10-25 |
| n-Butanol | 2.5-10 |
| Solvent naphta (petroleum), light arom | 2.5-10 |
| Propilen glikol monometil eter | 2.5-10 |
| Etil benzene | 2.5-10 |



Tabel 3.3 Komposisi Cat Epoxy Komponen B (*Tankguard HB*)

| Nama Bahan | % |
|--|---------------------|
| n-Butanol | $\geq 25 - \leq 50$ |
| Xylene | $\geq 10 - \leq 25$ |
| Solvent naphtha (petroleum), light arom. | $\geq 10 - \leq 25$ |
| Etil benzene | ≤ 5 |

Tabel 3.4 Komposisi Pelarut (*Thinner Jotun No.21*)

| Nama Bahan | % |
|--|----------|
| Solvent naphtha (petroleum), heavy arom. | 50 – 100 |
| Naftalen | 0 – 1 |

3.4 Prosedur Penelitian

Pada penelitian ini terdapat beberapa prosedur yang harus dilakukan yaitu:

3.4.1 Preparasi Substrat

1. Persiapan Permukaan

Setelah dipotong menggunakan cutting tool, permukaan dari baja karbon dibersihkan terlebih dahulu sebelum *coating*, standard yang digunakan adalah SSPC (*Steel Structures Painting Council*).

Pembersihan permukaan dari karat, *mill scale* dan pengotor lain dengan *hand tool cleaning* dan *power tool cleaning*, dan kemudian dilanjutkan dengan pembersihan *slag*, *spatter*, atau *scrap* hasil pemotongan sesuai dengan standard SSPC SP3.

Perlakuan *degreasing* untuk menghilangkan minyak, debu dan pengotor yang menempel dengan menggunakan air sabun dan kemudian dikeringkan (SSPC SP1).

Pemblastingan sesuai dengan standard SSPC SP 10 (near white blast cleaning) dilakukan dengan Steel Grit berbentuk sampai mendapat nilai Sa 2½ Dan menghasilkan kekasaran permukaan 20-200 mikron sesuai ISO 8503.



2. Pengecekan Kondisi Lingkungan

Hal ini dilakukan untuk memastikan lingkungan saat pengaplikasian *coating* sesuai dengan standard atau sesuai dengan rekomendasi dari *manufacturing*. Tahapan pada proses ini adalah:

- Pengukuran, pemeriksaan dan pencatatan temperatur udara menggunakan alat *sling psychrometer*, dan temperatur permukaan plat dengan *magnetic surface thermometer*.
- Pengukuran, periksa dan catat kelembaban udara dengan digital electronic hygrometer (RH (*Relative Humidity*) yang diperbolehkan maksimal 85%)
- Pengukuran, pemeriksaan dan pencatatan dew point dan dew point, dan dew point yang direkomendasikan adalah 3°C diatas temperatur permukaan.

3. Preparasi Material Coating

Preparasi material coating dilakukan dengan mencampurkan cat epoksi dengan hardenernya dengan perbandingan (4:1) serta menambahkan pelarut atau *thinner*. Kemudian pengandukan campuran cat beserta pelarutnya menggunakan *mechanical stirrer* dengan kecepatan 1000 rpm selama 60 menit.

4. Pengaplikasian Coating

Proses pengaplikasian cat dilakukan dengan menggunakan alat *conventional spray* dan kemudian akan didapatkan jumlah layer yang diinginkan. Pengujian ketebalan kering menggunakan DFT *electromagnetic gauge* sesuai dengan standar ASTM D1186.

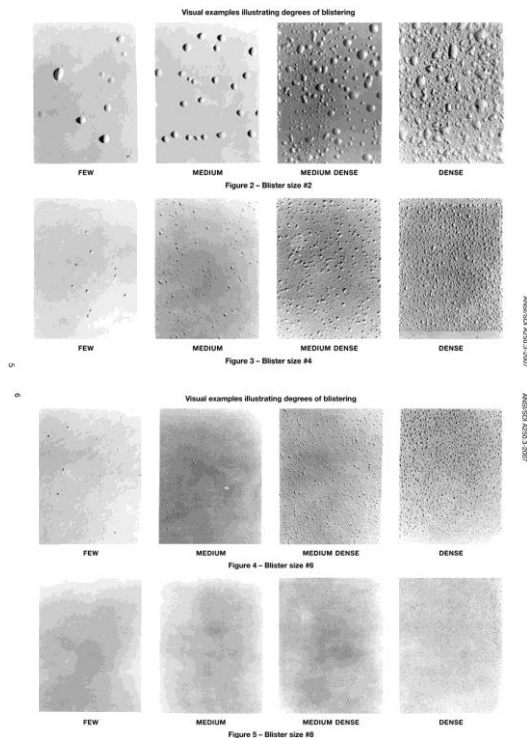
3.4.2 Preparasi Fluida Avtur

Fluida yang digunakan pada pengujian ini adalah dengan menggunakan fluida avtur. Sesuai dengan kondisi lingkungan pipa sesungguhnya. Kemudian dilakukan pengujian avtur untuk mengetahui komposisinya dan memastikan komposisi avtur sudah sesuai dengan standard.



3.4.3 Pengujian Immers

Pengujian immers bertujuan untuk mengetahui kualitas coating terhadap avtur. Metode menggunakan tanpa scratch. Pengecekan dilakukan setelah sampel di immers selama 15 hari dan hasil pengecekan dilakukan pembandingan dengan standar ASTM D714 “*Standard Test Method for Evaluating Degree of Blistering of Paints*”. Dari pembandingan tersebut akan didapatkan hasil perbandingan antara foto yang ada di standard dengan hasil kemudian menggolongkan hasil tersebut sesuai dengan tingkat *blistering* yang ada.



Gambar 3.2 Tingkatan Blistering yang dapat terjadi pada permukaan



3.4.4 Pengujian Daya Lekat

Pengujian daya lekat menggunakan alat Portable Adhesion Testers sesuai dengan standar ASTM D4541. Pengujian ini dilakukan ketika cat pada sample telah memasuki tahap hard dry sesuai pada PDS masing-masing cat. Kemudian probe dari Portable Adhesion Testers diberi lem kuat dan ditempelkan pada sample dan ditunggu hingga mengering sampai 1 hari, baru kemudian ditarik oleh Portable Adhesion Testers. Pengujian ini dilakukan guna mengetahui seberapa besar daya lekat (adhesi) cat terhadap material substratnya.

Hal ini dilakukan dengan kondisi:

- Menempelkan probe dolly ke material yang telah dicat dengan lem yang cukup kuat sehingga daya lekat antara probe dengan cat > daya lekat antara cat dengan material, lalu menunggu sekitar dua hari sampai lem tersebut benar-benar kering dan memiliki kekuatan yang cukup.
- Menyangkutkan probe dolly ke alat pengujicat, mengeset pengukuran ke titik nol dan memutar alat dolly testing secara perlahan tetapi terus menerus hingga probe mencabut lapisan cat yang ada pada material.
- Membaca dan mencatat nilai yang terlihat dalam indikator alat, baik dalam lb/inch² maupun dalam Mpa.

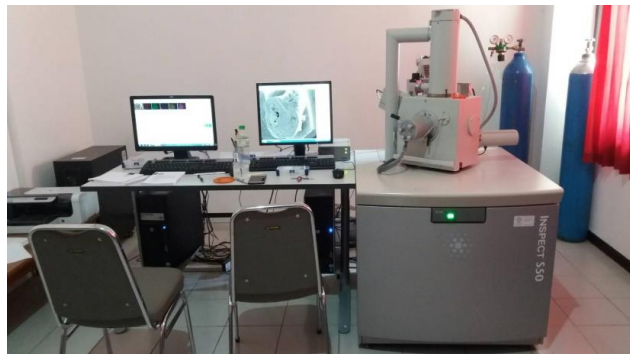


Gambar 3.3. Elcometer model 106 adhesion tester scale 1



3.4.5 Scanning Electron Microscopy-E (SEM)

Pengujian SEM dilakukan di Jurusan Teknik Material dan Metalurgi ITS menggunakan *Scanning Electron Microscopy* (SEM) tipe FEI INSPECT 550. Prinsip dasar dari SEM adalah dengan menembakkan *electron beam* melalui *electron gun* kearah sampel dan mendeteksi interaksi antara specimen dengan *electron beam* dengan tujuan untuk mengetahui morfologi permukaan. Sampel yang digunakan adalah sampel API 5L Grade B dengan dimensi 15 x 10 mm yang telah dilapisi dengan material *coating* epoksi. Sampel diamati pada permukaan untuk mengetahui morfologi partikel yang terdeposit pada permukaan sampel.



Gambar 3.4 Mesin uji SEM

3.4.6 Pengujian Gas Chromatography-Mass Spectroscopy (GC MS)

Pengujian ini dilakukan untuk mengetahui komposisi avtur sebelum dan sesudah melakukan pengujian immers. Tujuan dilakukan pengujian ini adalah untuk mengetahui pengaruh *coating* terhadap fluida avtur. Prinsip dasar dari GC MS adalah dengan sampel yang diinjeksikan ke dalam Kromatografi Gas akan diubah menjadi fasa uap dan dialirkan melewati kolom kapiler dengan bantuan gas pembawa. Pemisahan senyawa



campuran menjadi senyawa tunggal terjadi berdasarkan perbedaan sifat kimia dan waktu yang diperlukan bersifat spesifik untuk masing-masing senyawa. Pendekripsi berlangsung di dalam Spektroskopi Massa dengan mekanisme penembakan senyawa oleh elektron menjadi molekul terionisasi dan pencatatan pola fragmentasi yang terbentuk dibandingkan dengan pola fragmentasi senyawa standard yang diindikasikan dengan prosentase Similarity Index (SI)

3.5 Rancangan Penelitian

Rancangan Penelitian ditunjukkan pada **tabel 3.5**

Tabel 3.5 Rancangan Penelitian

| Spesimen | Variasi Layer | Rancangan Penelitian | | | | | |
|---------------|---------------|----------------------|-----------|-----------------|------------|-----|-----------|
| | | Immerse | Pengujian | | Blistering | SEM | Uji GC MS |
| | | | Adhesi | Sebelum Immersi | | | |
| Coating Epoxy | 1 layer | ✓ | ✓ | ✓ | ✓ | ✓ | — |
| | | ✓ | ✓ | ✓ | ✓ | — | — |
| | | ✓ | ✓ | ✓ | ✓ | — | — |
| | 2 layer | ✓ | ✓ | ✓ | ✓ | ✓ | — |
| | | ✓ | ✓ | ✓ | ✓ | — | — |
| | | ✓ | ✓ | ✓ | ✓ | — | — |
| | 3 layer | ✓ | ✓ | ✓ | ✓ | ✓ | — |
| | | ✓ | ✓ | ✓ | ✓ | — | — |
| | | ✓ | ✓ | ✓ | ✓ | — | — |
| | 4 layer | ✓ | ✓ | ✓ | ✓ | ✓ | ✓ |
| | | ✓ | ✓ | ✓ | ✓ | — | — |
| | | ✓ | ✓ | ✓ | ✓ | — | — |



BAB IV

HASIL DAN PEMBAHASAN

4.1 Analisa Pengujian Daya Lekat

Sebelum dilakukan pengujian daya lekat, telah dilakukan pengujian DFT (*Dry Film Thickness*) pada lapisan cat epoksi untuk mengetahui ketebalan pada sampel. Pengujian DFT (*Dry Film Thickness*) dilakukan pada satu titik di permukaan sampel. Tabel 4.1 Merupakan hasil pengujian DFT pada sampel. Dalam uji daya lekat (*adhesion test*) yang telah dilakukan diketahui daya lekat lapisan epoksi dipengaruhi oleh jumlah layer dari cat epoksi.

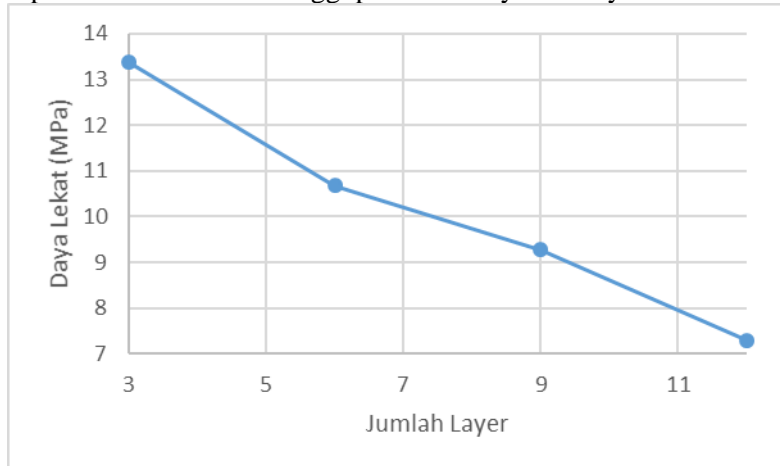
Dilakukan preparasi dan pembersihan lapisan *coating* dari debu dan kontaminan serta dilakukan penempelan *pin dolly* satu hari sebelum dilakukan *adhesion test* untuk mendapatkan nilai daya lekat yang baik. Dalam pengujian ini dilakukan sesuai standard ASTM D-4541 dan didapatkan hasil grafik seperti pada gambar 4.1 yang merupakan grafik hubungan antara jumlah layer cat dan daya lekat dari sampel menggunakan *Software Microsoft Excel 2016*.

Dari analisa grafik menunjukkan bahwa daya lekat terbaik adalah jumlah layer 3 dan yang terendah terdapat pada jumlah layer 12. Hal tersebut dikarenakan adanya pori pada jumlah layer paling banyak atau paling tebal, semakin tebal lapisan cat akan mengakibatkan pori semakin banyak.

Selanjutnya dilakukan penglihatan secara visual dari hasil pengujian daya lekat kerusakan yang terjadi pada daerah *cohesive failure* (Ikatan cat-cat) bukan *adhesive failure* (Ikatan cat-substrat). Hal ini menunjukkan bahwa terjadi *mechanical interlocking* antara *coating* dengan substrat yang baik. Selain itu penyebab terjadinya *cohesive failure* dikarenakan adanya pori yang membuat bonding (ikatan) dalam cat menurun. *Mechanical interlocking* ini terjadi karena proses persiapan permukaan yang dilakukan terbebas dari kontaminan dan kekasaran serta kebersihan dengan perlakuan blasting menggunakan *Steel Grit* menghasilkan kekasaran permukaan 106 mikron dengan



kebersihan SA 2 ½. *Steel Grit* digunakan dalam penelitian ini karena menurut (Trijatmiko, 2016) semakin tinggi nilai kekerasan partikel material abrasif yang digunakan untuk proses blasting, maka akan semakin tinggi nilai kekasaran permukaan yang diperoleh dan semakin tinggi pula nilai daya lekatnya.

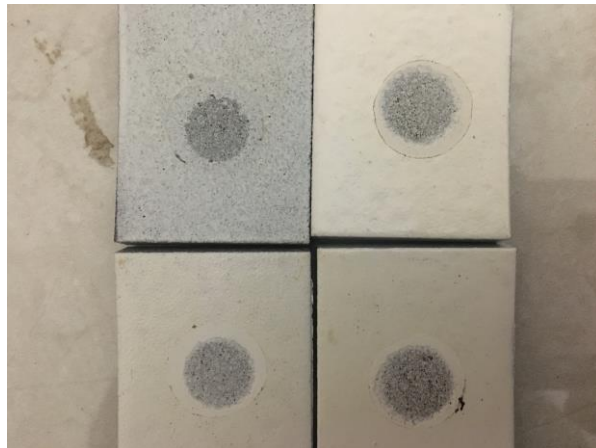


Gambar 4.1 Grafik Scatter Daya Lekat Terhadap Variasi Jumlah Layer



Tabel 4.1 Hasil pengujian DFT

| | Sampel | DFT | Rata-rata |
|----|--------|-------|-----------|
| 3 | A | 47 | 49,7 |
| | B | 50,7 | |
| | C | 51,5 | |
| 6 | A | 102,7 | 103,5 |
| | B | 102,5 | |
| | C | 105,3 | |
| 9 | A | 165 | 153,3 |
| | B | 150 | |
| | C | 145 | |
| 12 | A | 205 | 209 |
| | B | 208 | |
| | C | 214 | |



Gambar 4.2 Foto Hasil Pengamatan Visual Daya Lekat



4.2 Analisa Pengujian Daya Lekat *Immersion* Avtur selama 20 hari

Uji daya lekat (*adhesion test*) setelah dilakukan *immersion test* atau uji dengan metode celup dilakukan untuk mengetahui adanya perubahan daya lekat lapisan epoksi yang dipengaruhi oleh jumlah layer. Pengujian ini dilakukan pada spesimen hasil *immersion test* avtur pada sampel A, B, dan C. Nilai daya lekat berdasarkan standar ASTM D-4541 didapatkan hasil sesuai pada **Tabel 4.1** dan hasil pengamatan visual untuk mengevaluasi kerusakan yang ada pada sampel terdapat pada 4.2.

Dari hasil analisa data, didapatkan bahwa semakin banyak jumlah layer cat dapat menurunkan daya lekat material *coating* pada substrat. Pada **Tabel 4.3** memperlihatkan adanya *glue failure* tetapi tidak ada *adhesive failure* yang dimana pengujian sebelum di *immersion* menyatakan keseluruhan sampel pengujian daya lekat adalah *cohesive failure*. *Glue Failure* disebabkan karena kesalahan pada proses pemasangan *dolly* untuk *pull-off test*. Sedangkan *Cohesive failure* adanya pori yang membuat bonding (ikatan) dalam cat menurun selain itu disebabkan adanya kontaminan yang ada di permukaan *coating*. Kontaminan ini kemudian memasuki *coating* ditandai dengan terjadinya *blistering* yang diperlihatkan pada subbab 4.4 Pengujian tingkat *blistering* dengan metode *immersion* avtur. *Blistering* tersebut disebabkan karena berkurangnya nilai daya lekat *coating* terhadap *interface* dan substrat yang disebabkan adanya kontaminan atau korosi pada daerah *interface* tersebut. Hal tersebut dipercepat dengan adanya kontaminan pada daerah *interface coating* dengan substrat. Selain itu proses terjadinya *blistering* diawali dengan adanya udara kosong atau daya lekat paling rendah dan mengakibatkan kontaminan masuk kedalamnya.

Kontaminan ini dapat masuk ke dalam *coating* disebabkan adanya pori pada *coating*. Pori ini disebabkan karena proses penguapan dari *solvent* lebih lambat dari proses *crosslinking* pada epoksi itu sendiri. Semakin banyak



penambahan jumlah layer semakin banyak pori yang terbentuk. Keberadaan pori ini menyebabkan kecepatan daya serap *coating* meningkat sehingga fluida yang ada dapat dengan mudah masuk ke dalam *coating*.

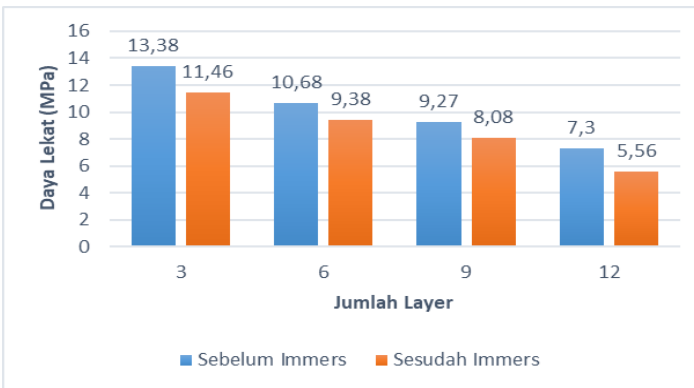


Gambar 4.3 Hasil Pengujian Daya Lekat dan Pengamatan Visual pada sampel setelah dilakukan *immersion* selama 20 hari



Tabel 4.2 Hasil Pengujian Daya Lekat Setelah 20 hari masa immersion Avtur

| Jumlah Layer | Sampel | Daya lekat (Mpa) | Rata-rata |
|--------------|--------|------------------|-----------|
| 3 | A | 12,07 | 11,46 |
| | B | 12,07 | |
| | C | 10,25 | |
| 6 | A | 14,03 | 9,38 |
| | B | 7,06 | |
| | C | 7,19 | |
| 9 | A | 7,03 | 8,08 |
| | B | 8,33 | |
| | C | 8,88 | |
| 12 | A | 5,94 | 5,56 |
| | B | 4,46 | |
| | C | 6,28 | |



Gambar 4.4 Grafik 2D Perbandingan Hasil Pengujian Daya Lekat Sebelum dan Sesudah Immersion



Tabel 4.3 Hasil Pengamatan Visual Daya Lekat setelah 14 hari masa *immersion*

| Variasi Jumlah Layer | Sampel | Keterangan | | |
|----------------------|--------|----------------------|---------------------|-----------------|
| | | Adhesive Failure (%) | Cohesive Failure(%) | Glue Failure(%) |
| 3 | A | 0 | 55,60 | 44,40 |
| | B | 0 | 38,98 | 61,02 |
| | C | 0 | 55,35 | 44,65 |
| 6 | A | 0 | 15,17 | 84,83 |
| | B | 0 | 50,58 | 49,42 |
| | C | 0 | 18,81 | 71,19 |
| 9 | A | 0 | 67,50 | 32,50 |
| | B | 0 | 25,98 | 74,02 |
| | C | 0 | 18,10 | 81,90 |
| 12 | A | 0 | 27,99 | 72,01 |
| | B | 0 | 58,59 | 42,41 |
| | C | 0 | 30,56 | 69,44 |

4.3 Analisa Morfologi

Pengujian morfologi dilakukan menggunakan SEM yaitu top view dan cross-section. Pengujian top view dilakukan menggunakan 4 sampel yaitu jumlah layer 3, 6, 9, dan 12 dengan perbesaran 1000x dan 4000x didapatkan gambar. Keempat gambar tersebut merupakan morfologi hasil pengujian SEM top view. Kemudian pengujian cross-section dilakukan dengan menggunakan 4 sampel yaitu dengan jumlah layer 3, 6, 9, dan 12 dengan perbesaran 500x dan 2500x didapatkan gambar. Keempat gambar tersebut merupakan hasil gambar SEM cross section.

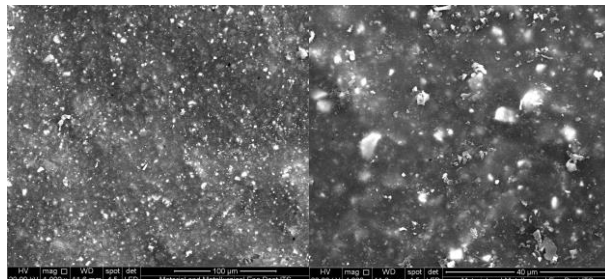
Hasil pengamatan SEM *top view* dari gambar-gambar di bawah diketahui bahwa penambahan jumlah layer ternyata menyebabkan adanya pori. Pada gambar 4.7 dengan perbesaran 4000x terlihat adanya pori-pori namun tidak terlalu banyak.

Pada hasil pengamatan SEM *cross-section* gambar-gambar dibawah ini diketahui bahwa penambahan jumlah layer dapat menyebabkan adanya celah antara cat epoksi dengan

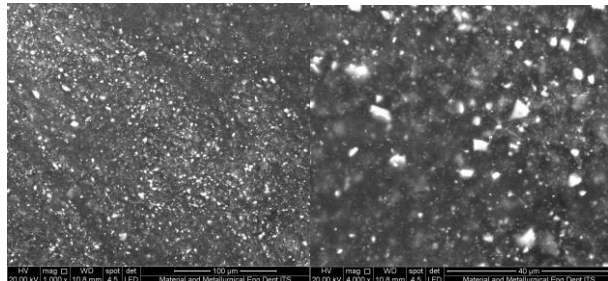


substrat. Pada gambar 4.8 dan 4.9 terlihat adanya celah namun sangat kecil dan sedikit. Pada jumlah layer 9 terdapat adanya celah yang berbeda besarnya dan merata disemua bagian yang terlihat. Pada jumlah layer 12 memperlihat penambahan besar celah yang cukup signifikan dan juga merata disemua bagian yang terlihat.

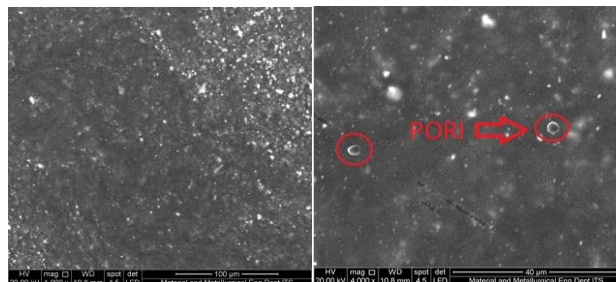
Dari analisa tersebut dapat dikatakan bahwa penambahan jumlah layer cat dapat menyebabkan adanya pori dan juga menyebabkan adanya celah antara cat dan substrat sehingga akan menurunkan daya lekat dari cat tersebut. Hal ini sesuai (Muhammad, 2015) bahwa semakin tebalnya cat akan mengakibatkan semakin banyak pori.



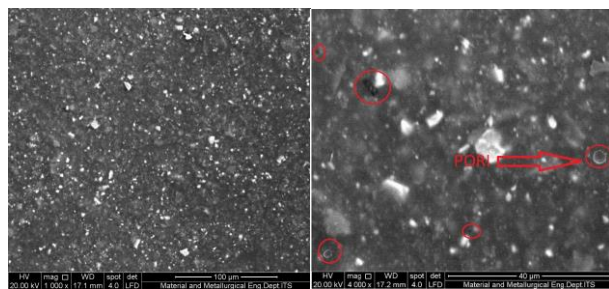
Gambar 4.5 Hasil Pengujian SEM Top View dengan Variasi Jumlah Layer 3 Perbesaran 1000x dan 4000x



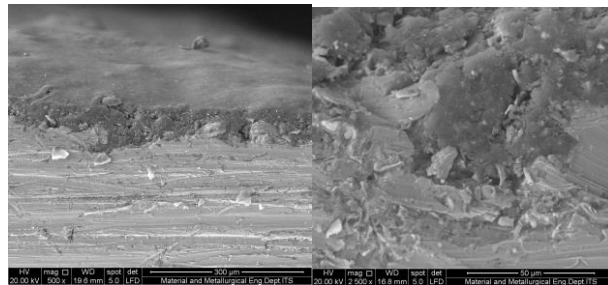
Gambar 4.6 Hasil Pengujian SEM Top View dengan Variasi Jumlah Layer 6 Perbesaran 1000x dan 4000x



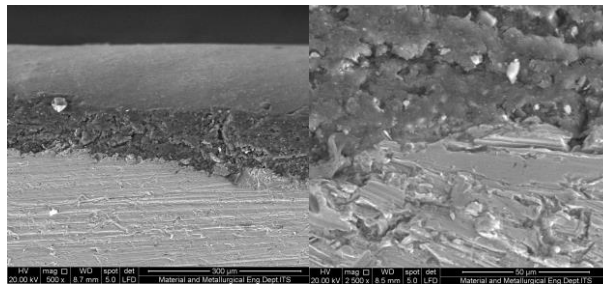
Gambar 4.7 Hasil Pengujian SEM Top View dengan Variasi Jumlah Layer 9 Perbesaran 1000x dan 4000x



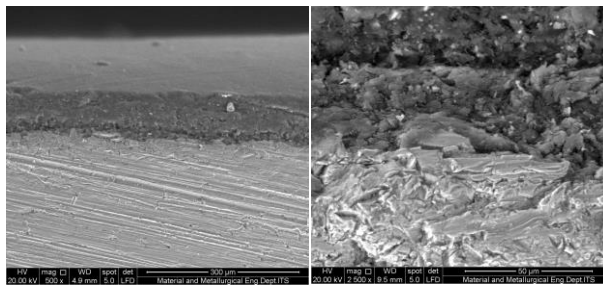
Gambar 4.8 Hasil Pengujian SEM Top View dengan Variasi Jumlah Layer 12 Perbesaran 1000x dan 4000x



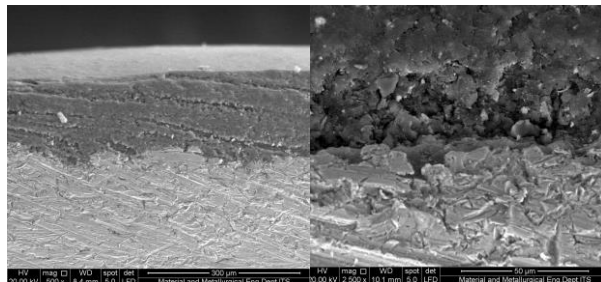
Gambar 4.9 Hasil Pengujian SEM *Cross Section* dengan Variasi Jumlah Layer 3 Perbesaran 1000x dan 4000x



Gambar 4.10 Hasil Pengujian SEM *Cross Section* dengan Variasi Jumlah Layer 6 Perbesaran 1000x dan 4000x



Gambar 4.11 Hasil Pengujian SEM *Cross Section* dengan Variasi Jumlah Layer 9 Perbesaran 1000x dan 4000x



Gambar 4.12 Hasil Pengujian SEM *Cross Section* dengan Variasi Jumlah Layer 12 Perbesaran 1000x dan 4000x

4.4 Analisa Pengujian *Blistering* dengan Metode *Immersion* Avtur.

Pengujian *immersion* atau pencelupan dengan metode *unscratch* dilakukan selama 20 hari bertujuan untuk mengetahui kualitas dari material *coating* berdasarkan tingkat *blistering* yang ada. *Blister* muncul karena adanya avtur yang terperangkap dalam lapisan dimana avtur dapat masuk ke pori-pori lapisan dan akhirnya akan membentuk pembengkakan dan terbentuk *blister*. Untuk mengetahui kerusakan yang terjadi karena *blister* dapat dilakukan pengukuran tingkat *blister*. Pengukuran ini dilakukan dengan membandingkan hasil penelitian dengan standar ASTM D714 “*Standard Test Method for Evaluating Degree of Blisterings of Paints*”. Menurut standar terdapat beberapa tingkatan ukuran dan besaran tingkat *blister* yang ada. Tingkatan ukuran *blister* dimulai dari skala sepuluh hingga nol dimana pada ukuran sepuluh menandakan bahwa tidak adanya *blister* pada permukaan. Kemudian untuk tingkatan jumlah *blister* ditandai mulai dari few (sedikit), medium (sedang), medium dense (cukup banyak), hingga dense (banyak sekali). Tingkatan *blister* yang dapat terjadi pada permukaan ditunjukkan pada gambar.

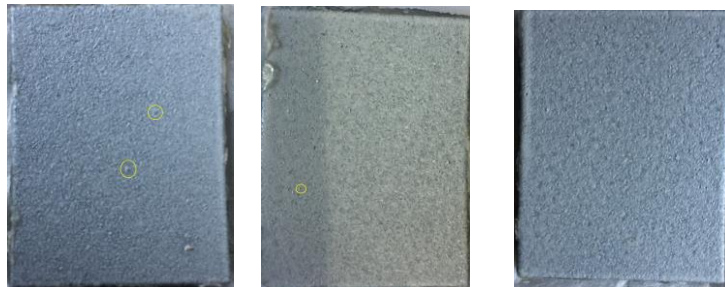
Untuk menganalisa dilakukan perbandingan standar dengan hasil pengujian untuk diketahui seberapa besar tingkat



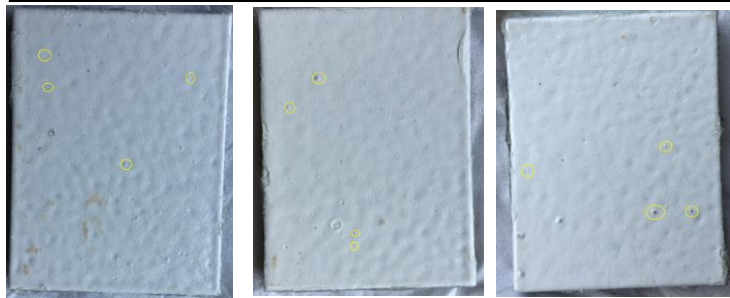
blistering yang ada. Dari foto visual gambar 4.12 sampai 4.16 dibandingkan dengan gambar standar dengan memberikan tanda (lingkaran) seperti pada gambar 4.12 sampai 4.16 dan hasil dari perbandingan didapatkan sesuai dengan tabel 4.3 sebagai berikut:

Tabel 4.4 Hasil pengamatan tingkat *blistering* setelah 20 hari masa *immersion* pada avtur

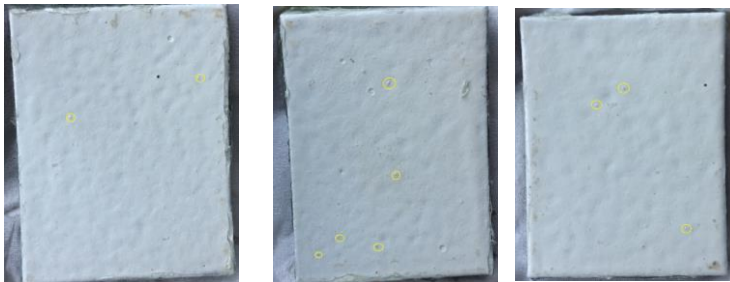
| Jumlah Layer | Sampel | Rating | Jumlah |
|--------------|--------|--------|--------|
| 3 | a | 8 | Few |
| | b | 8 | Few |
| | c | 10 | - |
| 6 | a | 6 | Few |
| | b | 8 | Few |
| | c | 6 | Few |
| 9 | a | 6 | Few |
| | b | 4 | Few |
| | c | 6 | Few |
| 12 | a | 2 | Medium |
| | b | 2 | Medium |
| | c | 2 | Medium |



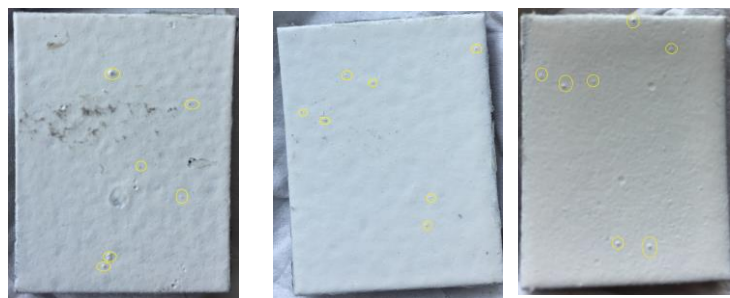
Gambar 4.13 Hasil Pengamatan Tingkat *Blistering* Jumlah Layer 3 Sampel (a), (b), dan (c)



Gambar 4.14 Hasil Pengamatan Tingkat Blistering Jumlah Layer 6 Sampel (a), (b), dan (c)



Gambar 4.15 Hasil Pengamatan Tingkat Blistering Jumlah Layer 9 Sampel (a), (b), dan (c)



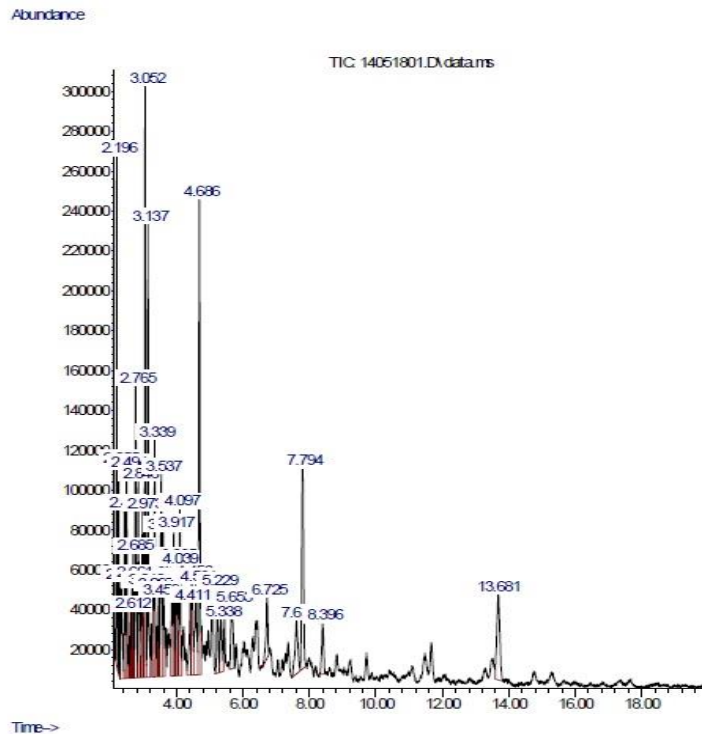
Gambar 4.16 Hasil Pengamatan Tingkat Blistering Jumlah Layer 12 Sampel (a), (b), dan (c)



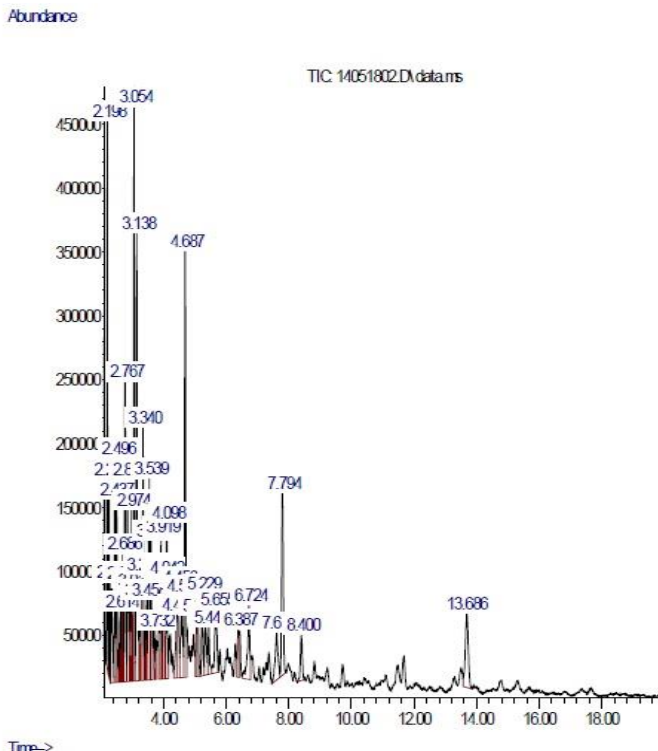
Dari penjelasan diatas melalui tabel 4.3 Hasil pengujian daya lekat setelah 20 hari masa *immersion* avtur dengan membandingkan hasil visualisasi dengan standar didapatkan bahwa penambahan jumlah layer 12 memiliki tingkat *blistering* paling tinggi, kemudian *blistering* tidak terjadi pada jumlah layer 3 sampel c, kemudian didapatkan tingkat *blistering* paling banyak pada jumlah layer 12. Dari keseluruhan perbandingan yang memiliki rating paling terendah atau paling mudah terjadi *blistering* adalah pada sampel jumlah layer 12. Sampel jumlah layer 12 paling mudah terjadi *blistering* dikarenakan sampel tersebut memiliki daya lekat yang paling rendah sehingga memudahkan kontaminan dari avtur masuk kedalam lapisan cat sehingga terbentuk *blister*.

4.5 Analisa Pengujian GC-MS Sampel Avtur

Pada penelitian ini pengujian GC-MS dilakukan untuk melihat apakah epoksi resin dari *coating* terlarut didalam avtur setelah dilakukannya pengujian *immersion* selama 20 hari. Pada pengujian GC-MS ini dilakukan dengan membandingkan antara hasil GC-MS sebelum dilakukan immers (avtur murni) dengan avtur yang telah dilakukan immers selama 20 hari. Hasil pengujian GC-MS dapat dilihat pada **Gambar 4.17** dibawah ini:



Gambar 4.17 Hasil Pengujian Gc-Ms untuk Avtur Sebelum Dilakukan Immers

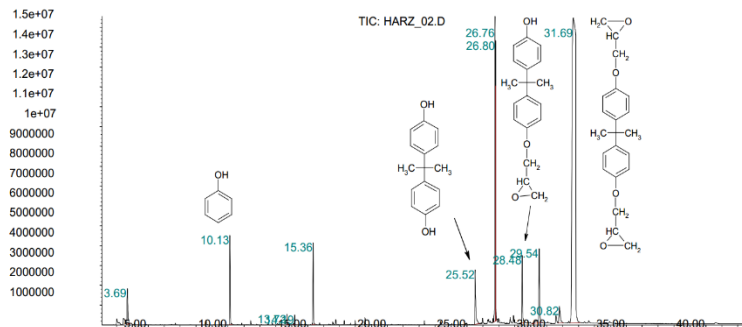


Gambar 4.18 Hasil Pengujian GC-MS untuk Avtur yang Telah Dilakukan Pengujian Immers Selama 20 Hari

Kedua gambar diatas merupakan grafik hubungan antara waktu retensi (RT) dengan kelimpahan relatif (*abundance*). Waktu retensi (RT) merupakan waktu yang digunakan senyawa tertentu untuk bergerak melalui kolom menuju detektor. Waktu ini diukur berdasarkan waktu dari saat sampel diinjeksikan pada titik dimana tampilan menunjukkan tinggi puncak maksimum untuk senyawa itu. Lama waktu retensi tidak dapat disetting pada alat, waktu ini akan otomatis berhenti jika seluruh senyawa sudah berubah menjadi fase gas.



Dari hasil data pada **Gambar 4.18** di atas dapat dianalisa bahwa senyawa yang terbentuk yang dapat dilihat di lampiran antara avtur murni tanpa immners dan avtur murni dengan immers 20 hari hasilnya hampir sama dan tidak menunjukkan adanya senyawa epoksi resin yang terbentuk. Hal tersebut dilakukan dengan cara melihat peak yang terbentuk dari hasil pengujian GC-MS untuk avtur dengan immers selama 20 hari yang tidak ada peak pembentuk senyawa epoksi resin. Dalam penelitian epoky yang dilakukan oleh Adelab Scientific menghasilkan peak pembentuk seyawa epoksi resin yang dapat dilihat pada **Gambar 4.19**



Gambar 4.19 Fragmen Karakteristik dari Epoxi Resin pada Pengujian Py-Gcms (Adelab Scientific)

Tabel 4.5 Nama Fragment Pembentuk Epoxy Resin

| Waktu Retensi (Rt) | Senyawa |
|--------------------|-----------|
| 10.13 | Fenol |
| 25.52 | Bifenol A |
| 29.54 | Bifenol F |

Epoksi resin terbentuk pada peak yang menunjukkan waktu retensi atau Rt (10,13, 25,52, 29,54), peak-peak tersebut merupakan pembentuk fragmen eposki resin. Setelah



dibandingkan dengan pengujian GC-MS pada avtur yang telah diimmes tidak ada peak-peak yang nilai nya seperti gambar **4.18**. sehingga dpat disimpulkan bahwa avtur yang dilakukan pengujian immers selama 20 hari tidak didapatkan senyawa epoksi yang terlarut didalamnya.

Tabel 4.6 Hasil Pengujian GC-MS untuk cairan Avtur yang dilakukan immers 20 hari

| Waktu Retensi (Rt) | Senyawa |
|--------------------|---------------------------------|
| 2.253 | Benzene, 1,3-dimethyl |
| 2.767 | Benzene, 1-ethyl-2-methyl |
| 2.847 | Benzene, 1,2,3-trimethyl- |
| 3.139 | Benzene, 1,3,5-trimethyl- |
| 3.053 | Decane |
| 3.236 | Tetradecane |
| 3.459 | Benzene, 1-methyl-4 |
| 3.539 | 1,3,5-Trimethylbenzene |
| 3.596 | Cyclohexane, pentyl |
| 3.865 | Heptane, 4-ethyl |
| 3.916 | Benzene, 1-methyl-3-propyl |
| 4.042 | Benzene, 1-methyl-2 |
| 4.099 | Naphthalene, decahydro- |
| 4.408 | Benzene, 1-ethyl-2,3-dimethyl |
| 4.453 | Benzene, methyl(1-methylethyl) |
| 4.579 | Benzene, 4-ethyl-1,2-dimethyl |
| 5.225 | Naphthalene, decahydro-2-methyl |
| 5.659 | Naphthalene, decahydro-2-methyl |



BAB V

KESIMPULAN DAN SARAN

5.1 Kesimpulan

Setelah dilakukan analisa hasil pengujian, maka dapat diambil suatu kesimpulan dari penelitian ini. Berikut kesimpulan yang didapat :

1. Dari hasil dan analisa daya lekat sebelum imers didapatkan variasi dengan penambahan jumlah layer paling sedikit yaitu 3 layer memiliki nilai daya lekat yang paling tinggi dengan nilai yaitu 13,38 MPa. Nilai daya lekat terendah didapatkan pada jumlah layer paling banyak yaitu 12 layer dengan besar 7,30 MPa. Hal tersebut dikarenakan terjadinya cohesive failure yang diakibatkan oleh pori yang terbentuk dan membuat ikatan (bonding) antar coating semakin rendah.
2. Dari hasil dan analisa tingkat blistering didapatkan variasi jumlah layer 3 memiliki tingkat blistering yang paling rendah atau kecil. Untuk variasi jumlah layer 12 memiliki tingkat blistering yang paling besar. Hal tersebut dikarenakan sampel tersebut memiliki daya lekat yang paling rendah sehingga memudahkan kontaminan dari avtur masuk kedalam lapisan cat sehingga terbentuk blister.
3. Dari hasil dan analisa morfologi menggunakan SEM didapatkan bahwa variasi jumlah layer 3 tidak ditemukannya pori yang terbentuk dan ikatan antar muka antara coating dan substrat paling baik. Pada variasi jumlah layer 9 ditemukan adanya pori yang terbentuk namun dengan jumlah yang sedikit. Pada variasi jumlah layer 12 ditemukan adanya pori yang terbentuk dengan jumlah yang lebih banyak dan ikatan antar muka antara coating dan substrat yang paling rendah.



-
4. Pada hasil pengujian GC-MS didapatkan hasil bahwa tidak ditemukan adanya senyawa epoxy resin pada avtur yang telah dilakukan *immers* selama 20 hari. Jadi dapat disimpulkan bahwa material coating epoksi resin tidak larut di dalam avtur tersebut.

5.2 Saran

1. Proses preparasi sampel untuk melihat morfologi mrnggunakan SEM harus lebih hati-hati karena sangat mempengaruhi analisa yang dilakukan.
2. Preparasi *coating* harus lebih diperhatikan lagi kebersihannya karena sangat mempengaruhi hasil *coating*.

DAFTAR PUSTAKA

- _____. 2002. **ASTM D4541. Standard Test Method for pull-Off Strength of Coating Using Portable Adhesion Testers.** Washington, DC: ASTM International.
- _____. 2009. **ASTM D714. Standard Test Method for Evaluating Degree of Blistering of Paints.** Washington, DC: ASTM International.
- _____. 1992. **ASM Vol 13. American Society for Metal Corrosion.** USA: ASM International.
- _____. 2017. **ASTM D1655 Standard Specification for Aviation Turbine Fuels.** Washington DC: ASTM International.
- Afandi, Yudha Kurniawan Afandi, Irfan Syarif Arief, dan Amiadji. 2015. **Analisa Laju Korosi pada Pelat Baja Karbon dengan Variasi Ketebalan Coating.** Surabaya: Jurusan Teknik Sistem Perkapalan, FTK-ITS Surabaya.
- Finanda, Ferdyano. 2010. **Pengaruh Perbedaan Pigmen dan Binder pada Organic Coating Terhadap Ketahanan Korosi dan Daya Lekat Pelapisan yang Diaplikasikan pada Pelat Baja Karbon Rendah.** Depok: Teknik Metalurgi dan Material, FT-UI.
- Fontana, Mars G. 1987. **Corrosion Engineering. Third edition.** Singapore: McGraw-Hill Book Co.
- Forsgren, Amy. 2006. **Corrosion Control through Organic Coatings.** USA: Taylor and Francis Group
- Ginting, Jadinta, Ubaidillah Anwar Prabu, dan M. Akib Abro. 2014. **Evaluasi Proses Pembuatan Avtur (Aviation Turbine) Berdasarkan Analisa Sifat Fisik Dan Kimia Minyak Mentah (Crude Oil) Di Pt Pertamina Ru II Dumai.** Palembang: Jurusan Teknik Pertambangan FT UNSRI.
- Hudson, R. 1982. **Surface Preparation for Coating.** The National Physical Laboratory

- International Standard, NACE MR0175 ISO 15156. 2005. *Petroleum and Natural Gas Industries – Material for Use in H₂S-containing Environments in Oil and Gas Production.* NACE International.
- Jones, A. Denny. 1996. *Principles and Prevention of Corrosion. Second edition.* Singapore: Prentice Hall.
- Lambourne, R and T A Strivens. 1999. *Paint and Surface Coatings: Theory and Practice.* UK: Woodhead Publishing Limited.
- Marcus, Philippe. 2002. *Corrosion Mechanisms in Theory and Practice.* York: Marcel Dekker, Inc.
- Miller, Gerald G., Jennifer L. Kepler, and David Darwin. 2003. *Effect of Epoxy Coating Thickness on Bond Strength of Reinforcing Bars.* ACI Structural Journal.
- Muhammad, Maulana Mufti, Agung Purniawan, dan Hosta Ardhyananta. 2015. **Pengaruh Komposisi Pelarut dan Ketebalan Cat Epoksi Terhadap Daya Lekat dan Tingkat Pelepuhan (Blistering) pada Lingkungan NaCl yang Diaplikasikan pada Baja Karbon.** Surabaya: Jurusan Teknik Material dan Metalurgi FTI-ITS Surabaya.
- Nurhamzah, Tezar Prima, 2011. **Studi Laju Korosi Pada Sampel Pipa Baja Api 5l X-52 dengan Pengaruh Variasi Kecepatan Putaran dan Gas Co₂ Pada Ph 6 Dalam Larutan NaCl 3.5%.** Depok: FT UI.
- Petrie, Edward M. 2006. *Epoxy Adhesive Formulation.* USA: McGraw-Hill.
- Pratama, Rishad Antony dan Sudiyono Kromodiharjo. 2016. **Studi Eksperimen Pengaruh Tebal Cat dan Kekasaran pada Pelat Baja Karbon Rendah Terhadap Kerekatan Cat dan Biaya Proses di PT. Swadaya Graha.** Surabaya: Jurusan Teknik Mesin FTI-ITS Surabaya.

- Schweitzer, Philip A. 2006. *Paint and Coatings: Applications and Corrosion Resistance*. New York: Taylor and Francis
- Talo,A. 1999. *Corrosion protective polyaniline epoxy blend coatings on mild steel*. Finland : Elsevier
- Trijatmiko, Carolus, Herman Pratikno, dan Agung Purniawan. **Analisa Pengaruh Material Abrasif Pada Blasting Terhadap Kekuatan Lekat Cat dan Ketahanan Korosi di Lingkungan Air Laut.** Surabaya: Jurusan Teknik Kelautan, FTK-ITS Surabaya.
- UK HSE OTR No. 044. 2001. **Review of Corrosion Management for Offshore Oil and Gas Processing.** UK: Capcis Limited.
- Wicks, Zeno W, Jones Frank and Papas S. Peter. 1999. *Organic Coatings: Science and Technology 2nd Edition*. Willey International.
- Widharto, Sri. 2004. **Inspeksi Teknik Buku 4.** Jakarta: Pradya Pramita.

^LAMPIRAN A
HASIL PENGUJIAN DFT

Tabel A.1 Hasil Pengujian DFT Sampel Uji Pull-Off sebelum immers

| Jumlah Layer | Sampel | DFT | Rata- rata |
|--------------|--------|-------|------------|
| 3 | A | 47 | 49,7 |
| | B | 50,7 | |
| | C | 51,5 | |
| 6 | A | 102,7 | 103,5 |
| | B | 102,5 | |
| | C | 105,3 | |
| 9 | A | 165 | 153,3 |
| | B | 150 | |
| | C | 145 | |
| 12 | A | 205 | 209 |
| | B | 208 | |
| | C | 214 | |

Tabel A.2 Hasil Pengujian DFT Sampel Uji Pull-Off sebelum immers

| Jumlah Layer | Sampel | DFT | Rata-rata |
|--------------|--------|-------|-----------|
| 3 | A | 50,4 | 50,8 |
| | B | 51,1 | |
| | C | 51,1 | |
| 6 | A | 103,2 | 102,7 |
| | B | 104,4 | |
| | C | 100,5 | |
| 9 | A | 148 | 151,6 |
| | B | 160 | |
| | C | 147 | |
| 12 | A | 203 | 206,6 |
| | B | 210 | |
| | C | 207 | |

LAMPIRAN B

HASIL PENGAMATAN DAN PENGUJIAN DAYA LEKAT



Gambar B.1 Pengamatan Visual Hasil Uji Daya Lekat dengan Perbedaan Jumlah Layer Cat sebelum Immers



Gambar B.2 Pengamatan Visual Hasil Uji Daya Lekat dengan Perbedaan Jumlah Layer Cat Setelah Immers

Tabel B.2 Hasil Pengujian Daya Lekat Sebelum *Immersion*

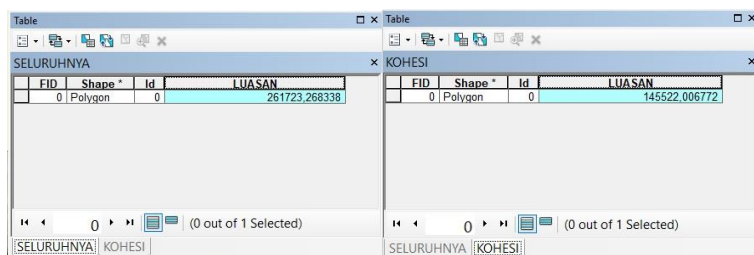
| Jumlah Layer | Sampel | Daya lekat (MPa) | Rata-rata (MPa) |
|--------------|--------|------------------|-----------------|
| 3 | A | 12,46 | 13,38 |
| | B | 16,43 | |
| | C | 11,25 | |
| 6 | A | 14,36 | 10,68 |
| | B | 9,34 | |
| | C | 8,35 | |
| 9 | A | 8,36 | 9,27 |
| | B | 8,76 | |
| | C | 10,7 | |
| 12 | A | 6,36 | 7,3 |
| | B | 7,43 | |
| | C | 8,12 | |

Tabel B.2 Hasil Pengujian Daya Lekat Sesudah *Immersion*

| Jumlah Layer | Sampel | Daya lekat (MPa) | Rata-rata (Mpa) |
|--------------|--------|------------------|-----------------|
| 3 | A | 12,07 | 11,46 |
| | B | 12,07 | |
| | C | 10,25 | |
| 6 | A | 14,03 | 9,38 |
| | B | 7,06 | |
| | C | 7,19 | |
| 9 | A | 7,03 | 8,08 |
| | B | 8,33 | |
| | C | 8,88 | |
| 12 | A | 5,94 | 5,56 |
| | B | 4,46 | |
| | C | 6,28 | |

Tabel B.3 Hasil Pengamatan Visual Kegagalan *Pull-off Test* setelah 14 hari masa *immersion* dengan menggunakan *software ArcMap 10.3*

| Variasi Jumlah Layer | Sampel | Keterangan | | |
|----------------------------|--------|------------------------|------------------------|--------------------|
| | | Adhesive Failure(%) | Cohesive Failure(%) | Glue Failure(%) |
| 3 | A | 0 | 55,60 | 44,40 |
| | B | 0 | 38,98 | 61,02 |
| | C | 0 | 55,35 | 44,65 |
| 6 | A | 0 | 15,17 | 84,83 |
| | B | 0 | 50,58 | 49,42 |
| | C | 0 | 18,81 | 71,19 |
| 9 | A | 0 | 67,50 | 32,50 |
| | B | 0 | 25,98 | 74,02 |
| | C | 0 | 18,10 | 81,90 |
| 12 | A | 0 | 27,99 | 72,01 |
| | B | 0 | 58,59 | 42,41 |
| | C | 0 | 30,56 | 69,44 |



| FID | Shape * | Id | LUASAN |
|-----|---------|----|-----------|
| 0 | Polygon | 0 | 330324.53 |

(0 out of 1 Selected)

SELURUHNYA | KOHESI

| FID | Shape * | Id | LUASAN |
|-----|---------|----|--------------|
| 0 | Polygon | 0 | 128776.58707 |

(0 out of 1 Selected)

SELURUHNYA | KOHESI

| FID | Shape * | Id | LUASAN |
|-----|---------|----|-----------|
| 0 | Polygon | 0 | 334713.47 |

(0 out of 1 Selected)

SELURUHNYA | KOHESI

| FID | Shape * | Id | LUASAN |
|-----|---------|----|---------------|
| 0 | Polygon | 0 | 151602.546658 |
| 1 | Polygon | 0 | 33682.075244 |

(0 out of 2 Selected)

SELURUHNYA | KOHESI

| FID | Shape * | Id | LUASAN |
|-----|---------|----|-----------|
| 0 | Polygon | 0 | 363020.83 |

(0 out of 1 Selected)

SELURUHNYA | KOHESI

| FID | Shape * | Id | LUASAN |
|-----|---------|----|---------------|
| 0 | Polygon | 0 | 212697.570442 |

(0 out of 1 Selected)

SELURUHNYA | KOHESI

| FID | Shape * | Id | LUASAN |
|-----|---------|----|--------------|
| 0 | Polygon | 0 | 44826.074778 |

(0 out of 1 Selected)

SELURUHNYA | KOHESI

| FID | Shape * | Id | LUASAN |
|-----|---------|----|-----------|
| 0 | Polygon | 0 | 247600.18 |

(0 out of 1 Selected)

SELURUHNYA | KOHESI

| FID | Shape * | Id | LUASAN |
|-----|---------|----|-----------|
| 0 | Polygon | 0 | 413695,94 |

| FID | Shape * | Id | LUASAN |
|-----|---------|----|---------------|
| 0 | Polygon | 0 | 209253,913426 |

| FID | Shape * | Id | LUASAN |
|-----|---------|----|-----------|
| 0 | Polygon | 0 | 275272,07 |

| FID | Shape * | Id | LUASAN |
|-----|---------|----|--------------|
| 0 | Polygon | 0 | 77071,026108 |

| FID | Shape * | Id | LUASAN |
|-----|---------|----|-----------|
| 0 | Polygon | 0 | 49680,860 |

| FID | Shape * | Id | LUASAN |
|-----|---------|----|-------------|
| 0 | Polygon | 0 | 6397,919384 |
| 1 | Polygon | 0 | 830,202237 |
| 2 | Polygon | 0 | 311,725925 |

| FID | Shape * | Id | LUASAN |
|-----|---------|----|-----------|
| 1 | Polygon | 0 | 45990,582 |

| FID | Shape * | Id | LUASAN |
|-----|---------|----|-------------|
| 3 | Polygon | 0 | 7482,678123 |
| 4 | Polygon | 0 | 1170,331628 |

The figure consists of four separate windows, each titled "Table".

- Top Left Window:** Title bar says "SELURUHNYA". Data table:

| FID | Shape * | Id | LUASAN |
|-----|---------|----|-----------|
| 1 | Polygon | 0 | 46204.450 |

- Top Right Window:** Title bar says "KOHESI". Data table:

| FID | Shape * | Id | LUASAN |
|-----|---------|----|--------------|
| 2 | Polygon | 0 | 31187.278227 |

- Bottom Left Window:** Title bar says "SELURUHNYA". Data table:

| FID | Shape * | Id | LUASAN |
|-----|---------|----|-----------|
| 6 | Polygon | 0 | 63095.586 |

- Bottom Right Window:** Title bar says "KOHESI". Data table:

| FID | Shape * | Id | LUASAN |
|-----|---------|----|--------------|
| 4 | Polygon | 0 | 16396.654365 |

Each window has a toolbar at the top and a status bar at the bottom indicating the number of selected records.

Gambar B.3 Hasil Penggunaan Software ArcGis untuk menentukan persentase antara kohesi, adesi dan *glue failure*.

LAMPIRAN C



Tankguard HB

Product description

This is a two component polyamine cured epoxy coating. It has good chemical resistance. Can be used as primer, mid coat or finish coat in atmospheric and immersed environments. Suitable for properly prepared carbon steel, galvanised steel, stainless steel and concrete substrates.

Typical use

Marine:
Designed as an internal tank coating for chemical tanks. This coating has good resistance to a wide range of products. Refer to Marine Product Resistance List on www.jotunpri.com. Can be used as a coating for grey water, drilling mud, brine and crude oil tanks.

Protective:
Recommended as an internal lining for offshore, onshore and buried tanks and pipes. Refer to Protective Product Resistance List.

Approvals and certificates

Approved for PSPC for Crude Oil Tanks according to IMO Res. MSC 288(87)

Tested in accordance with API recommended practice 5L2

Additional certificates and approvals may be available on request.

Colours

light grey, pink, greyish green, grey, red

Product data

| Property | Test/Standard | Description |
|-----------------------|--|-------------|
| Solids by volume | ISO 3233 | 50 ± 2 % |
| Gloss level (GU 60 °) | ISO 2813 | matt (0-35) |
| Flash point | ISO 3679 Method 1 | 25 °C |
| Density | calculated | 1,4 kg/l |
| VOC-US/Hong Kong | US EPA method 24 (tested) | 390 g/l |
| VOC-EU | IED (2010/75/EU) (calculated) | 483 g/l |
| VOC-China | GB/T 23905-2009 (ISO 11890-1) (tested) | 420 g/l |

The provided data is typical for factory produced products, subject to slight variation depending on colour.

All data is valid for mixed paint.

Gloss description: According to Jotun Performance Coatings' definition.

Technical Data Sheet Tankguard HB



Jotun Protects Property

Film thickness per coat

Typical recommended specification range

| | |
|----------------------------|----------------|
| Dry film thickness | 80 - 160 µm |
| Wet film thickness | 160 - 320 µm |
| Theoretical spreading rate | 6,3 - 3,1 m²/l |

Maximum recommended film thickness is often exceeded in overlap zones and in difficult-to-spray areas. This product can be applied up to 50 % higher than maximum specified film thickness without loss of technical properties.

Surface preparation

To secure lasting adhesion to the subsequent product all surfaces shall be clean, dry and free from any contamination.

Surface preparation summary table

| Substrate | Minimum | Recommended |
|------------------|--|---|
| Carbon steel | Sa 2½ (ISO 8501-1) | Sa 2½ (ISO 8501-1) |
| Coated surfaces | Clean, dry and undamaged compatible coating (ISO 12944-4 6.1) | Clean, dry and undamaged compatible coating (ISO 12944-4 6.1) |
| Concrete | Dry abrasive blast cleaning to SSPC-SP 13/NACE No. 6. | Dry abrasive blast cleaning to SSPC-SP 13/NACE No. 6. |
| Stainless steel | The surface shall be hand or machine abraded with non-metallic abrasives or bonded fibre machine or hand abrasive pads to impart a scratch pattern to the surface and to remove all polish from the surface. | Abrasive blast cleaning to achieve a surface profile using approved non-metallic abrasive media which is suitable to achieve a sharp and angular surface profile. |
| Galvanised steel | The surface shall be clean, dry and appear with a rough and dull profile. | Light brush blasting using non-metallic abrasive leaving a clean, rough and even profile. |

Application

Application methods

The product can be applied by

- Spray: Use airless spray.
Brush: Recommended for stripe coating and small areas. Care must be taken to achieve the specified dry film thickness.
Roller: Roller application only to be used for scallops, ratholes, small pipes etc.

Product mixing ratio (by volume)

Date of issue: 13 July 2016

Page: 2/5

This Technical Data Sheet supersedes those previously issued.
The Technical Data Sheet (TDS) is recommended to be read in conjunction with the Safety Data Sheet (SDS) and the Application Guide (AG) for this product. For your nearest local Jotun office, please visit our website at www.jotun.com

Technical Data Sheet Tankguard HB



| | |
|---------------------|-----------|
| Tankguard HB Comp A | 4 part(s) |
| Tankguard HB Comp B | 1 part(s) |

Thinner/Cleaning solvent

Thinner: Jotun Thinner No. 23

Guiding data for airless spray

Nozzle tip (inch/1000): 17-23

Pressure at nozzle (minimum): 150 bar/2100 psi

Drying and Curing time

| Substrate temperature | 5 °C | 10 °C | 23 °C | 40 °C |
|--|------|-------|-------|-------|
| Surface (touch) dry | 12 h | 7 h | 3.5 h | 1.5 h |
| Walk-on-dry | 36 h | 24 h | 6 h | 4 h |
| Dry to over coat, minimum | 36 h | 24 h | 6 h | 4 h |
| Dry to over coat, maximum, atmospheric | 40 d | 25 d | 21 d | 7 d |
| Dried/cured for service | 28 d | 14 d | 7 d | 3 d |
| Dried/cured for immersion | 14 d | 7 d | 4 d | 2 d |

Drying and curing times are determined under controlled temperatures and relative humidity below 85 %, and at average of the DFT range for the product.

Surface (touch) dry: The state of drying when slight pressure with a finger does not leave an imprint or reveal tackiness.

Walk-on-dry: Minimum time before the coating can tolerate normal foot traffic without permanent marks, imprints or other physical damage.

Dry to over coat, minimum: The shortest time allowed before the next coat can be applied.

Dry to over coat, maximum, atmospheric: The longest time allowed before the next coat can be applied.

Dried/cured for service: Minimum time before the coating can be permanently exposed to the intended environment/medium.

Dried/cured for immersion: Minimum time before the coating can be permanently immersed in sea water.

Induction time and Pot life

| Paint temperature | 23 °C |
|--------------------------------|--------|
| Induction time | 20 min |
| Pot life | 8 h |
| Reduced at higher temperatures | |

Date of issue: 13 July 2016

Page: 3/5

This Technical Data Sheet supersedes those previously issued.

The Technical Data Sheet (TDS) is recommended to be read in conjunction with the Safety Data Sheet (SDS) and the Application Guide (AG) for this product. For your nearest local Jotun office, please visit our website at www.jotun.com

Technical Data Sheet Tankguard HB



Heat resistance

| | Temperature | |
|---------------------|-------------|--------|
| | Continuous | Peak |
| Dry, atmospheric | 120 °C | 140 °C |
| Immersed, sea water | 50 °C | 60 °C |
| Immersed, crude oil | 70 °C | 70 °C |

Further resistance information can be found in Marine Product Resistance List and/or in Protective Product Resistance List available on Jotun's website, or contact your local Jotun office.

Peak temperature duration max. 1 hour.

The temperatures listed relate to retention of protective properties. Aesthetic properties may suffer at these temperatures.

Note that the coating will be resistant to various immersion temperatures depending on the specific chemical and whether immersion is constant or intermittent. Heat resistance is influenced by the total coating system. If used as part of a system, ensure all coatings in the system have similar heat resistance.

Product compatibility

Depending on the actual exposure of the coating system, various primers and topcoats can be used in combination with this product. Some examples are shown below. Contact Jotun for specific system recommendation.

Previous coat: epoxy
Subsequent coat: epoxy

Packaging (typical)

| | Volume (litres) | Size of containers (litres) |
|---------------------|--------------------|--------------------------------|
| Tankguard HB Comp A | 16 | 20 |
| Tankguard HB Comp B | 4 | 5 |

The volume stated is for factory made colours. Note that local variants in pack size and filled volumes can vary due to local regulations.

Storage

The product must be stored in accordance with national regulations. Keep the containers in a dry, cool, well ventilated space and away from sources of heat and ignition. Containers must be kept tightly closed. Handle with care.

Shelf life at 23 °C

Tankguard HB Comp A 24 month(s)
Tankguard HB Comp B 24 month(s)

In some markets commercial shelf life can be dictated shorter by local legislation. The above is minimum shelf life, thereafter the paint quality is subject to re-inspection.

Technical Data Sheet Tankguard HB



Caution

This product is for professional use only. The applicators and operators shall be trained, experienced and have the capability and equipment to mix/stir and apply the coatings correctly and according to Jotun's technical documentation. Applicators and operators shall use appropriate personal protection equipment when using this product. This guideline is given based on the current knowledge of the product. Any suggested deviation to suit the site conditions shall be forwarded to the responsible Jotun representative for approval before commencing the work.

Health and safety

Please observe the precautionary notices displayed on the container. Use under well ventilated conditions. Do not inhale spray mist. Avoid skin contact. Spillage on the skin should immediately be removed with suitable cleanser, soap and water. Eyes should be well flushed with water and medical attention sought immediately.

Colour variation

When applicable, products primarily meant for use as primers or antifoulings may have slight colour variations from batch to batch. Such products may fade and chalk when exposed to sunlight and weathering.

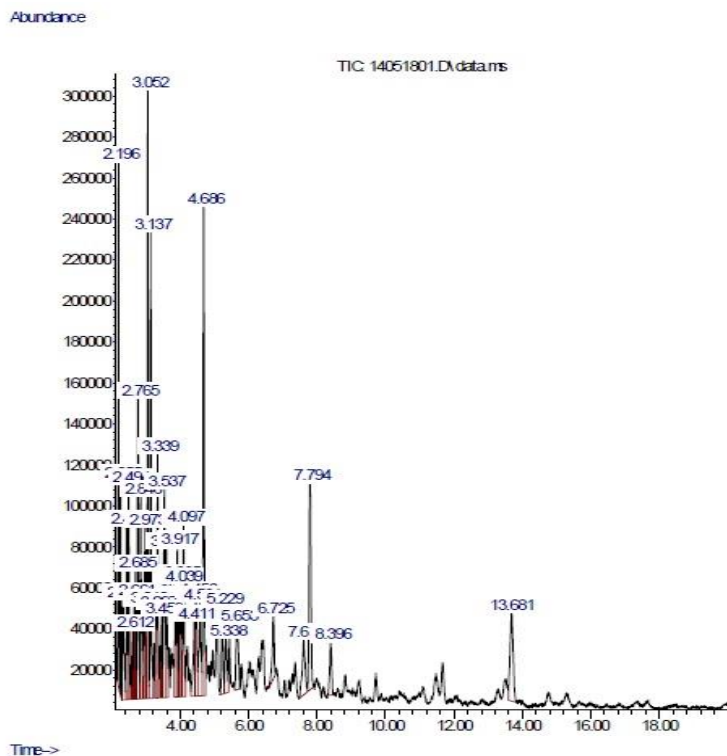
Disclaimer

The information in this document is given to the best of Jotun's knowledge, based on laboratory testing and practical experience. Jotun's products are considered as semi-finished goods and as such, products are often used under conditions beyond Jotun's control. Jotun cannot guarantee anything but the quality of the product itself. Minor product variations may be implemented in order to comply with local requirements. Jotun reserves the right to change the given data without further notice.

Users should always consult Jotun for specific guidance on the general suitability of this product for their needs and specific application practices.

If there is any inconsistency between different language issues of this document, the English (United Kingdom) version will prevail.

LAMPIRAN D

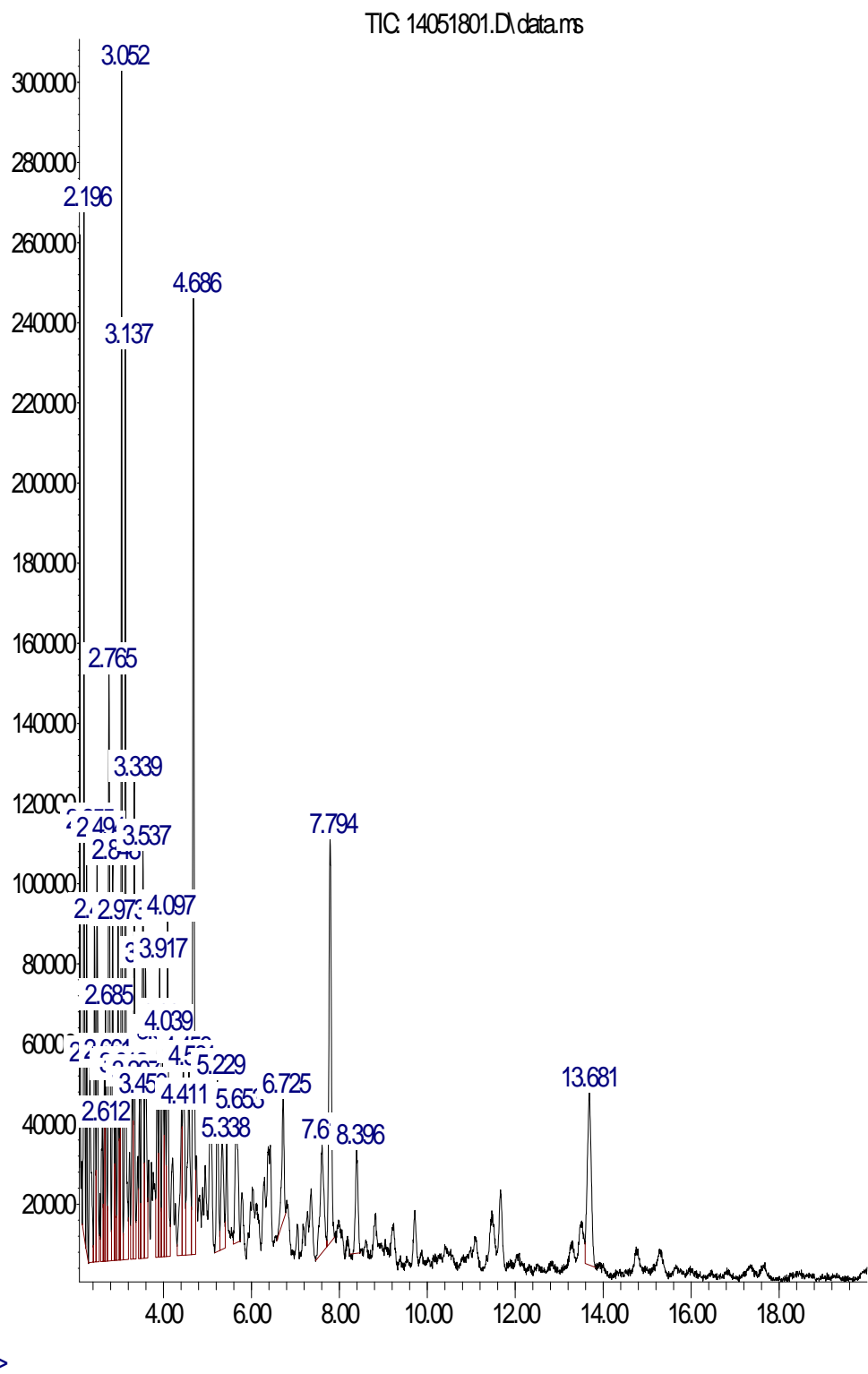


Gambar D.1 Hasil Pengujian Gc-Ms untuk Avtur Sebelum Dilakukan Immers



Laboratorium PT. Gelora Djaja

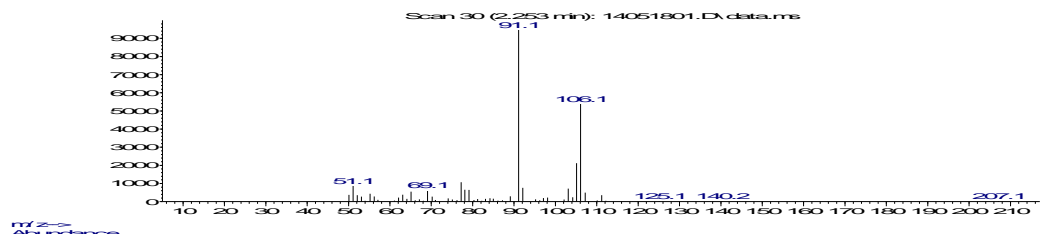
Abundance



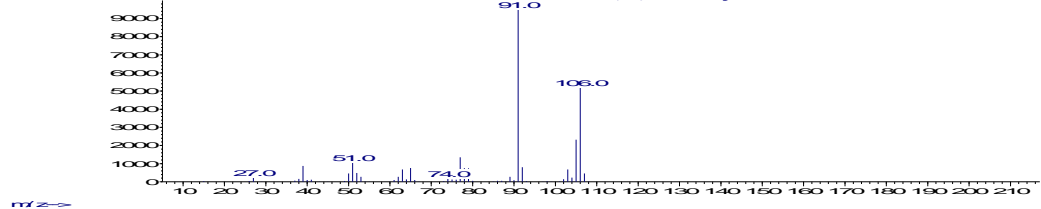


Laboratorium PT. Gelora Djaja

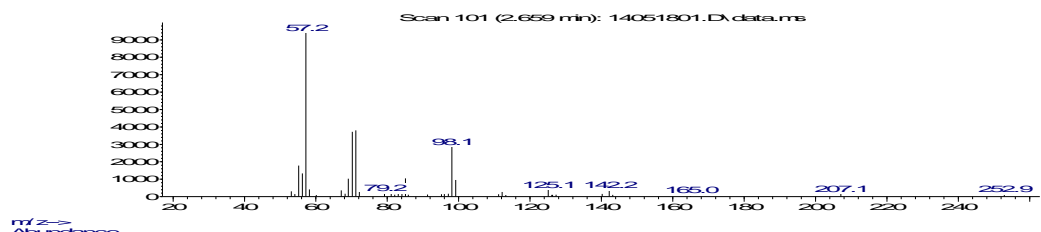
Abundance



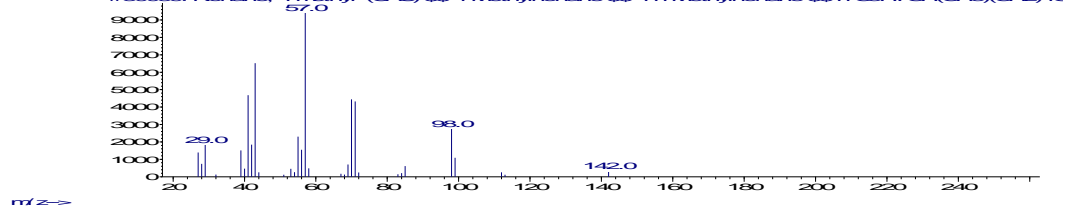
Abundance



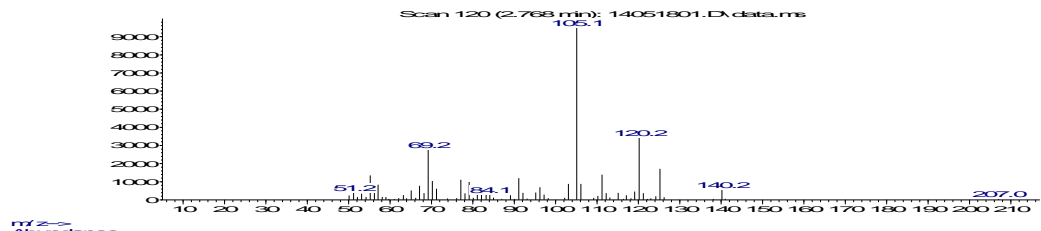
Abundance



Abundance

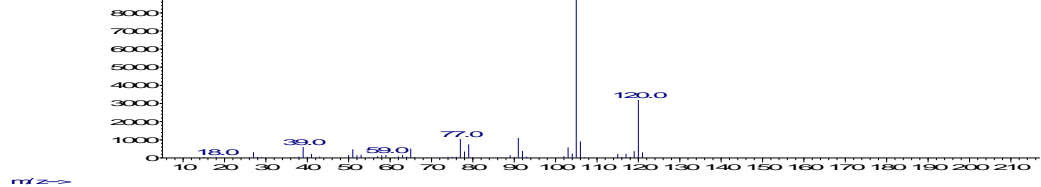


Abundance



m/z-->

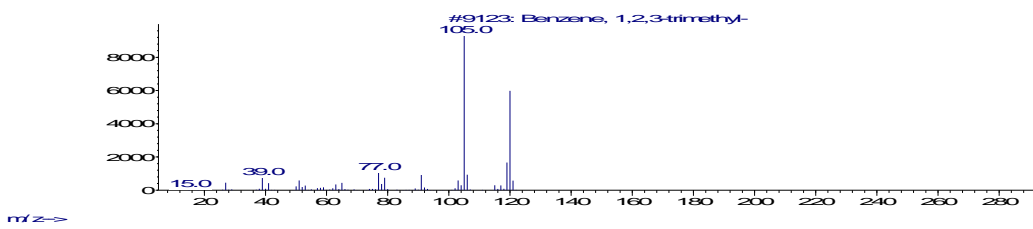
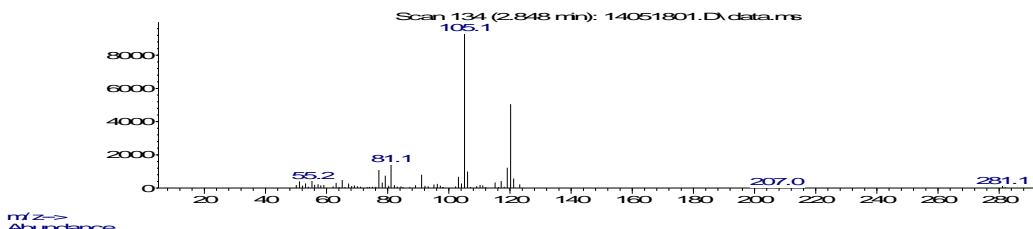
Abundance



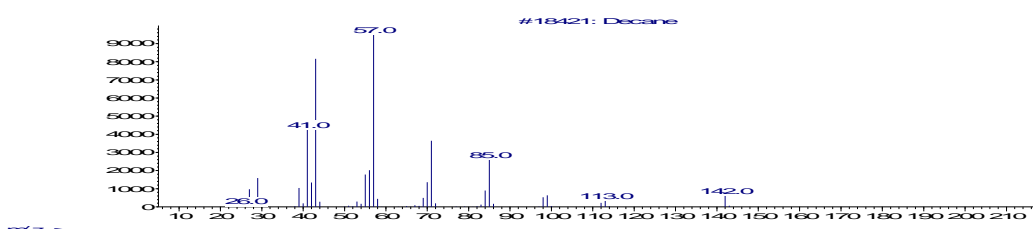
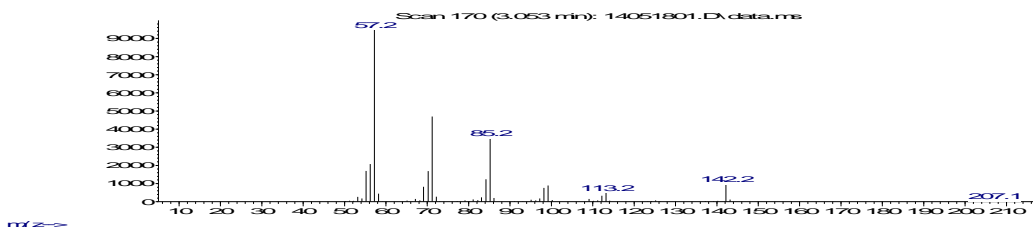


Laboratorium PT. Gelora Djaja

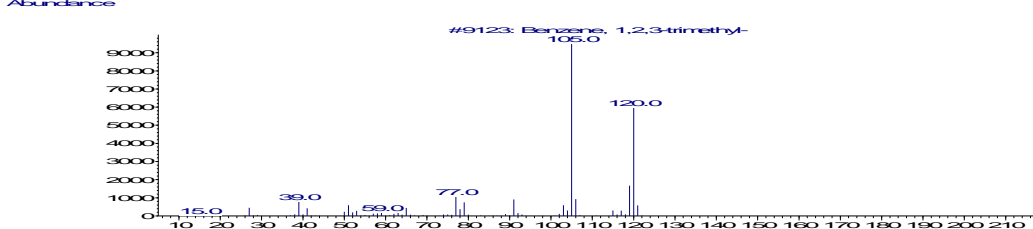
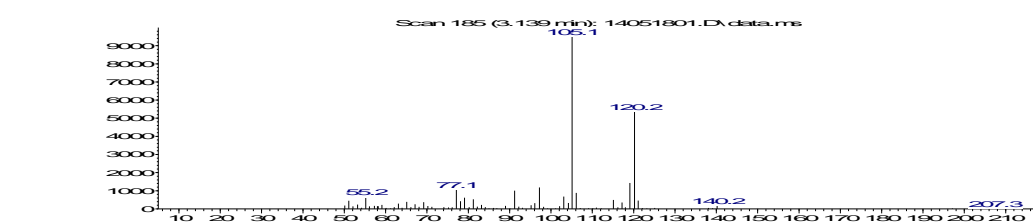
Abundance



Abundance



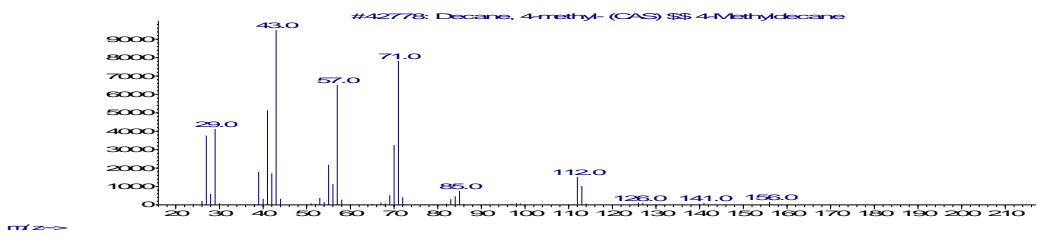
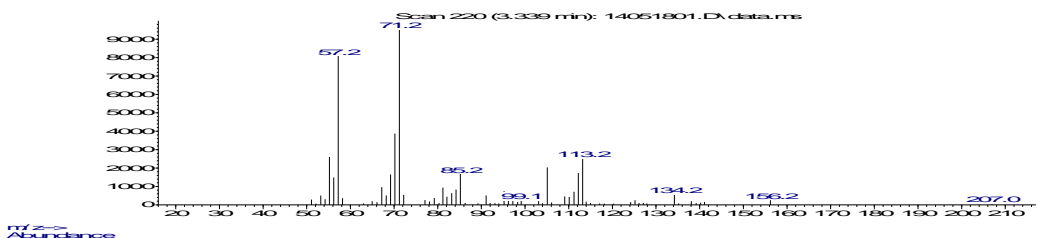
Abundance



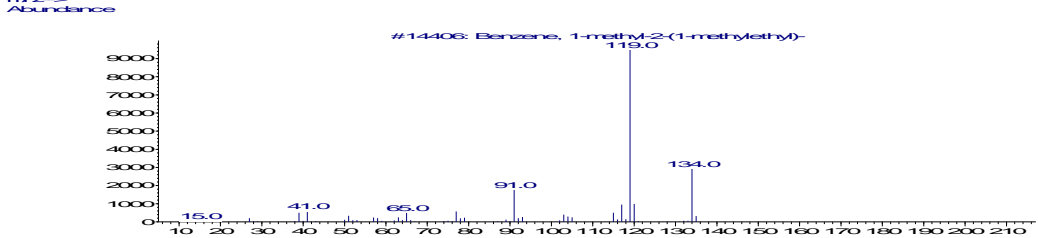
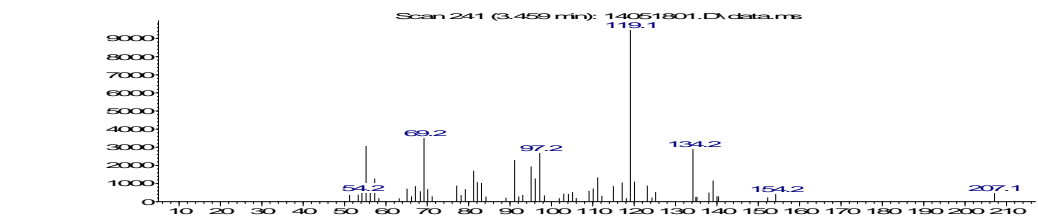


Laboratorium PT. Gelora Djaja

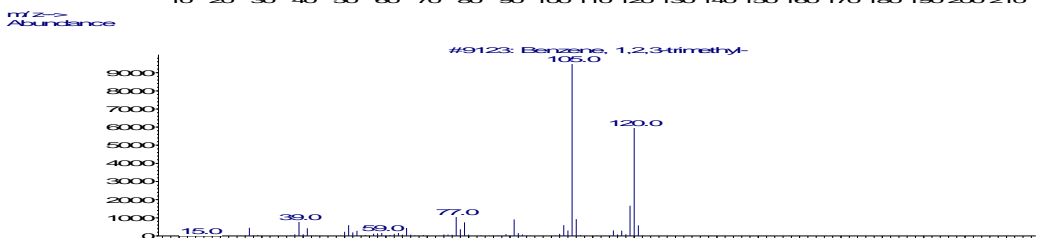
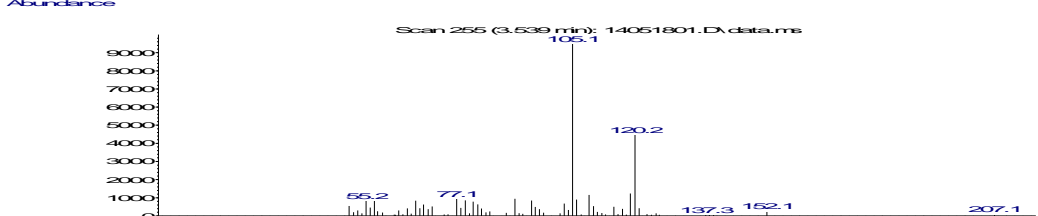
Abundance



Abundance



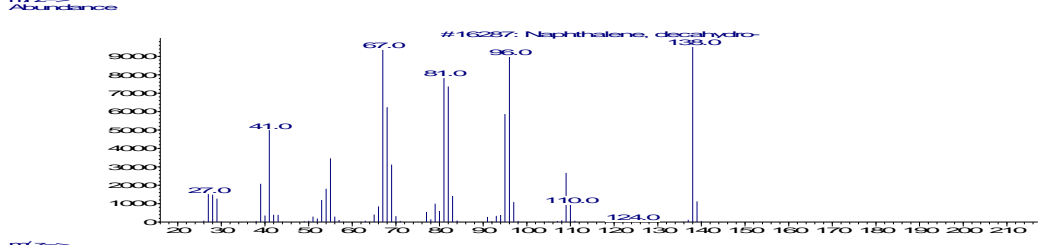
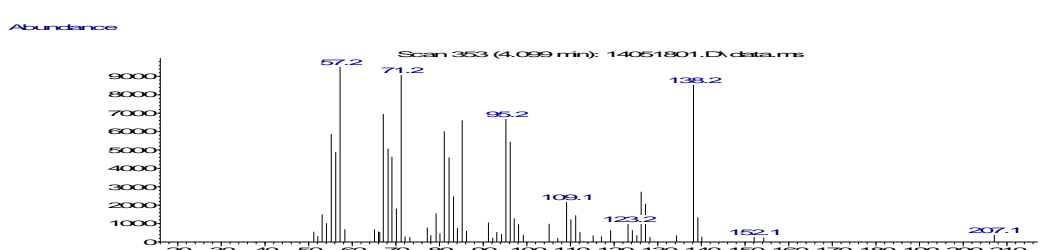
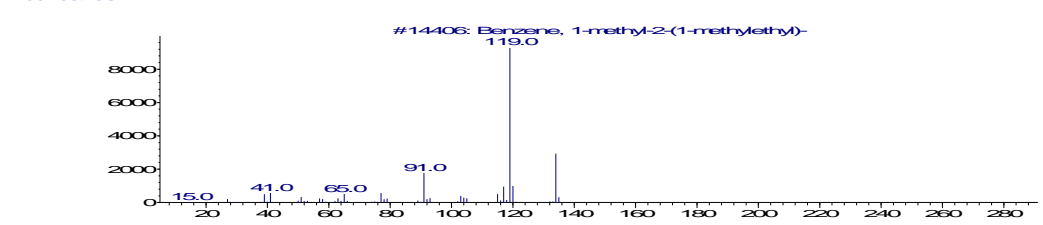
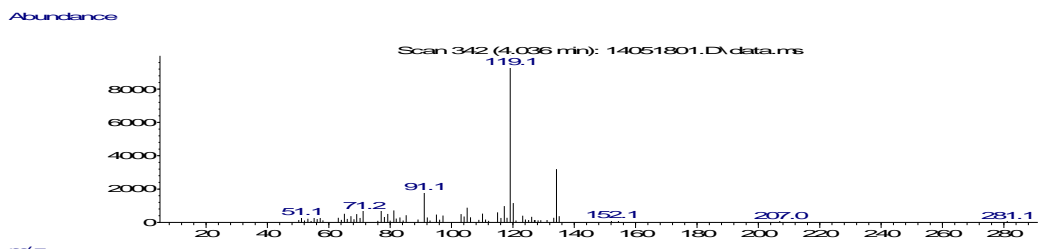
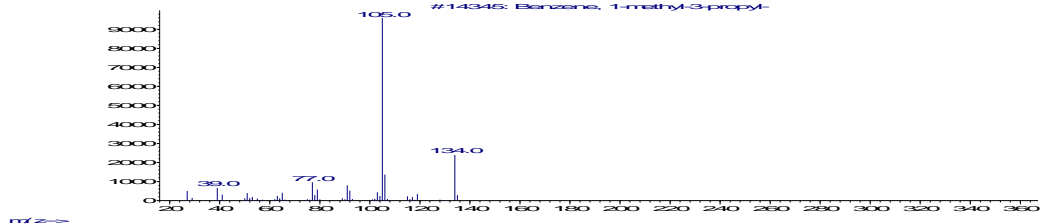
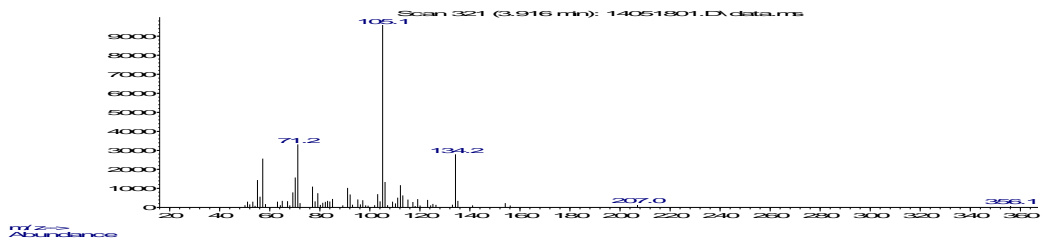
Abundance





Laboratorium PT. Gelora Djaja

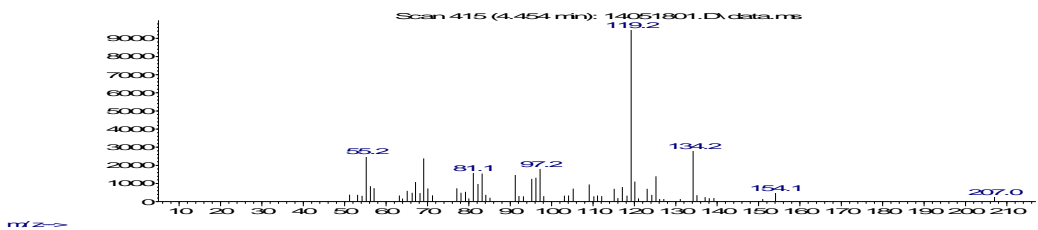
Abundance





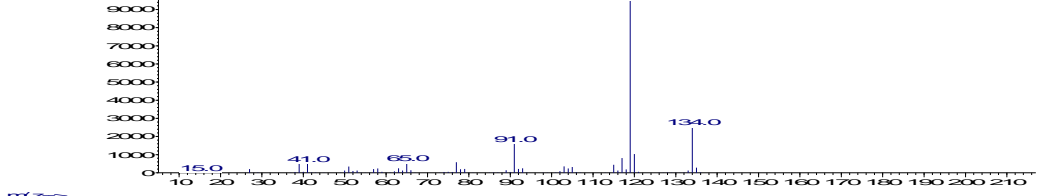
Laboratorium PT. Gelora Djaja

Abundance



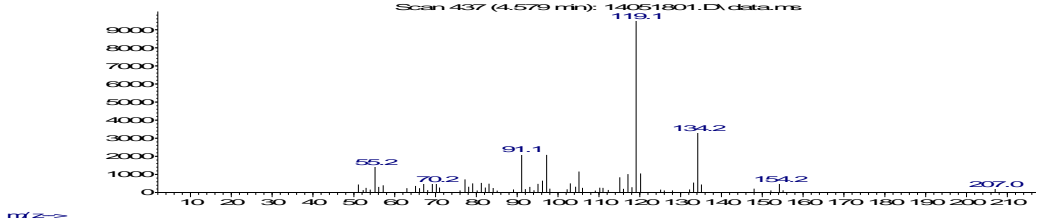
m/z-->

#144402: Benzene, 1-methyl-3-(1-methylethyl)-



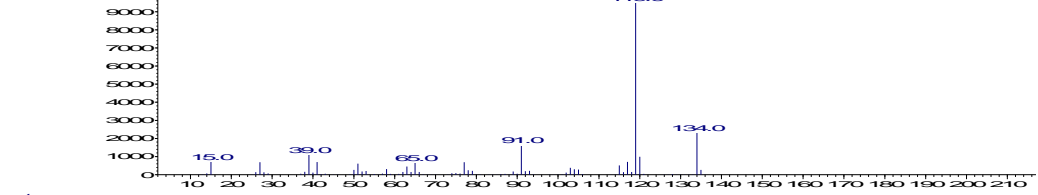
m/z-->

Abundance



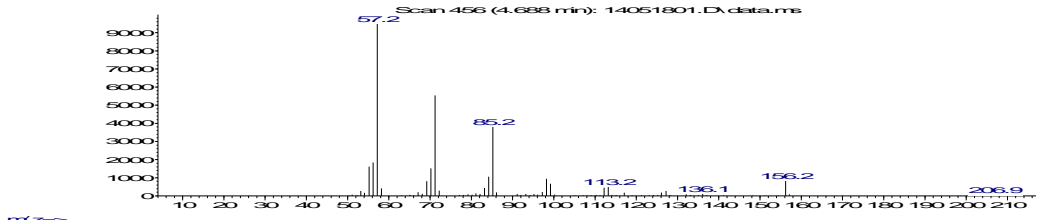
m/z-->

#144405: Benzene, 1-methyl-2-(1-methylethyl)-



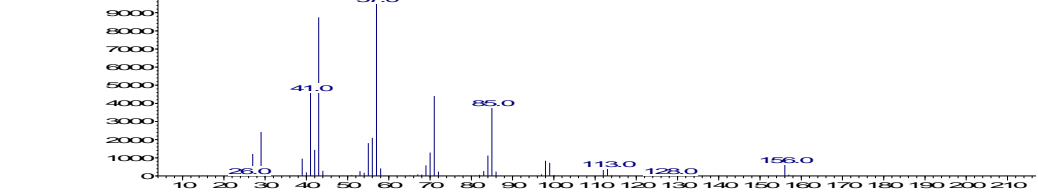
m/z-->

Abundance



m/z-->

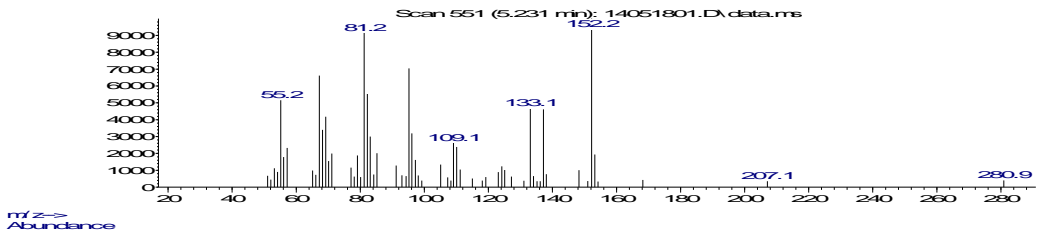
#271119: Undecane



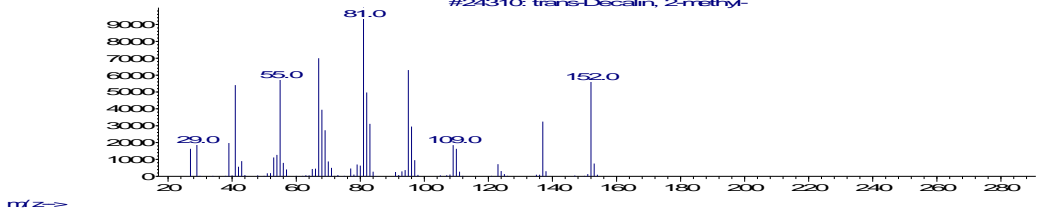


Laboratorium PT. Gelora Djaja

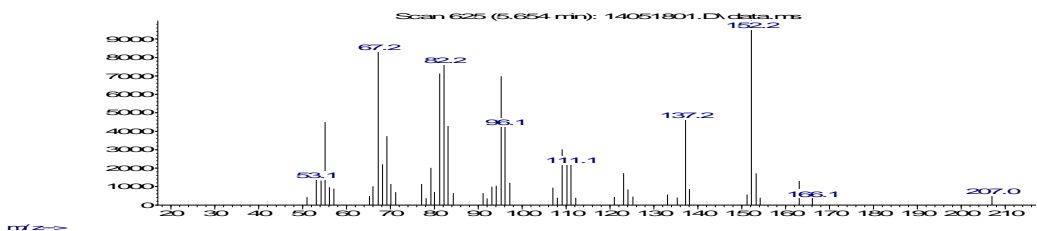
Abundance



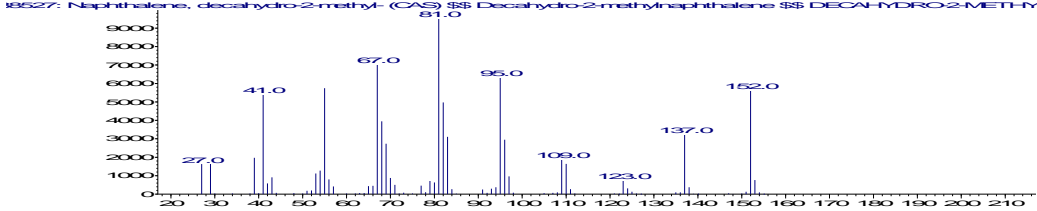
#24310: trans-Decalin, 2-methyl-



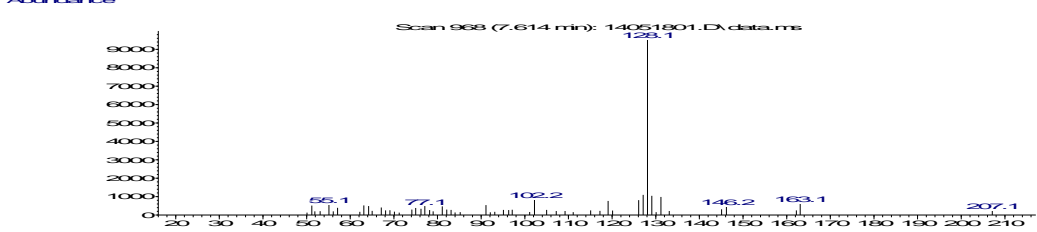
Abundance



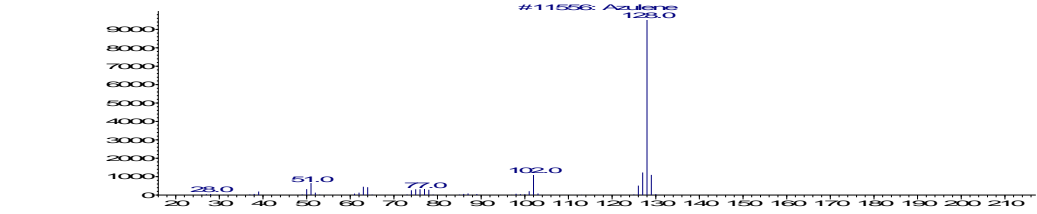
18527: Naphthalene, decahydro-2-methyl- (CAS) §§ Decahydro-2-methylnaphthalene §§ DECAHYDRO-2-METHYL-4



Abundance



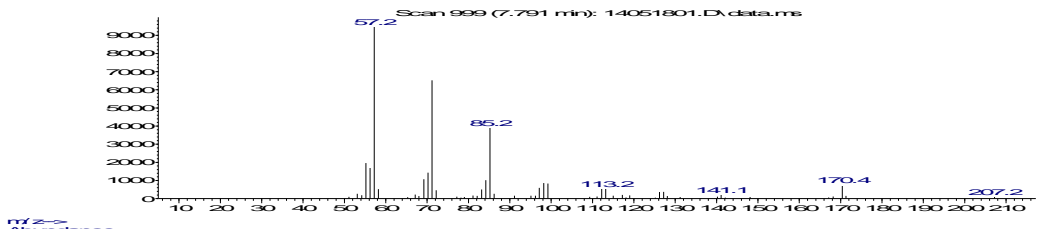
#11556: Azulene





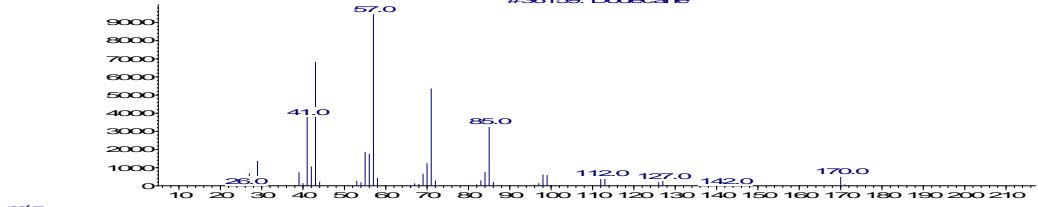
Laboratorium PT. Gelora Djaja

Abundance

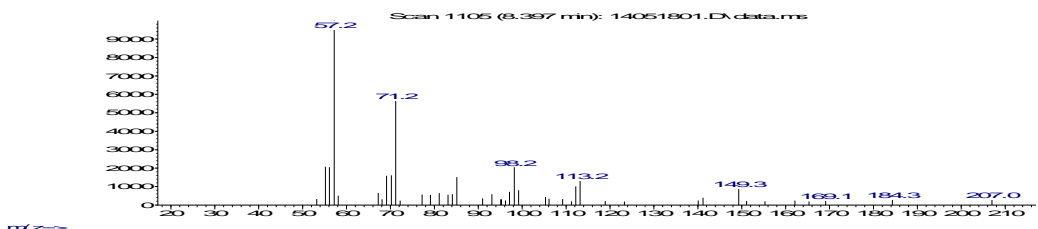


m/z-->

#36169: Dodecane

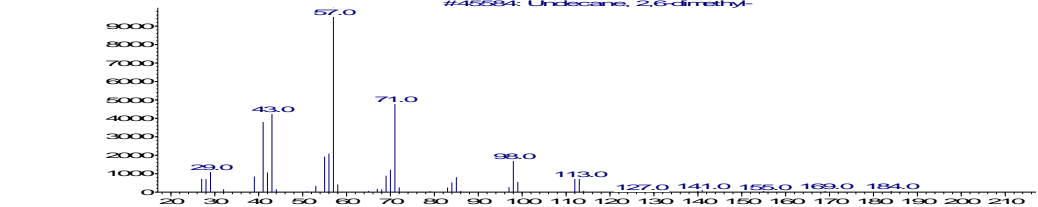


Abundance

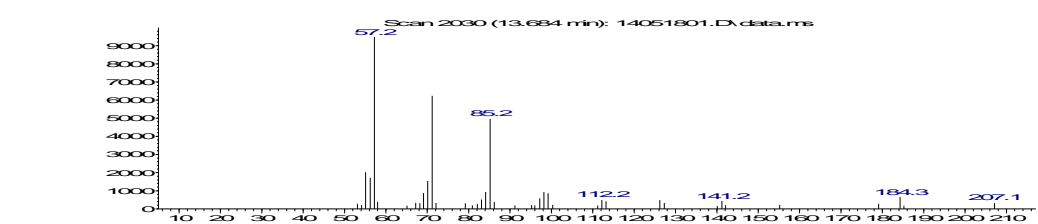


m/z-->

#46584: Undecane, 2,6-dimethyl-

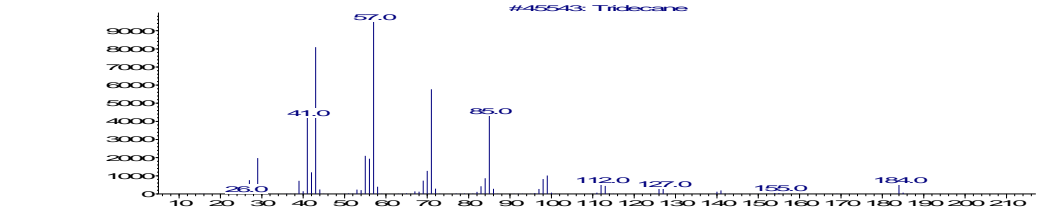


Abundance



m/z-->
#45643: Tridecane

#45643: Tridecane





Library Search Report

Data Path : C:\msdchem\1\DATA\

Data File : 14051801.D

Acq On : 14 May 2018 13:22

Operator : SRA

Sample : 111/LU15 Avtur A

Misc : Octavian - ITS

ALS Vial : 1 Sample Multiplier: 1

Search Libraries: C:\Database\NIST02.L Minimum Quality: 85
C:\Database\Wiley275.L Minimum Quality: 85

Unknown Spectrum: Apex

Integration Events: Chemstation Integrator - autoint1.e

| Pk# | RT | Area% | Library/ID | Ref# | CAS# | Qual |
|-----|-------|-------|--|-------|-------------|------|
| 1 | 2.196 | 4.58 | C:\Database\Wiley275.L | | | |
| | | | Nonane (CAS) \$\$ n-Nonane \$\$ Shells | 19787 | 000111-84-2 | 70 |
| | | | ol 140 \$\$ n-C9H20 \$\$ UN 1920 | | | |
| | | | Nonane (CAS) \$\$ n-Nonane \$\$ Shells | 19794 | 000111-84-2 | 58 |
| | | | ol 140 \$\$ n-C9H20 \$\$ UN 1920 | | | |
| | | | Nonane (CAS) \$\$ n-Nonane \$\$ Shells | 19795 | 000111-84-2 | 58 |
| | | | ol 140 \$\$ n-C9H20 \$\$ UN 1920 | | | |
| 2 | 2.253 | 1.71 | C:\Database\NIST02.L | | | |
| | | | Benzene, 1,3-dimethyl- | 4977 | 000108-38-3 | 97 |
| | | | p-Xylene | 4954 | 000106-42-3 | 95 |
| | | | o-Xylene | 4952 | 000095-47-6 | 95 |
| 3 | 2.333 | 2.17 | C:\Database\Wiley275.L | | | |
| | | | DIMETHYL-3,5 HEPTENE-3 | 18223 | 000000-00-0 | 80 |
| | | | 2-Hexene, 3,4,4-trimethyl- (CAS) \$ | 18238 | 053941-19-8 | 72 |
| | | | \$ 3,4,4-Trimethyl-2-hexene | | | |
| | | | 1H-Pyrazole, 4,5-dihydro-3-methyl- | 17851 | 026964-49-8 | 64 |
| | | | 1-propyl- (CAS) \$\$ 3-Methyl-1-n-pr | | | |
| | | | opyl-.DELTA.[2]-pyrazoline | | | |
| 4 | 2.436 | 2.37 | C:\Database\Wiley275.L | | | |
| | | | Octane, 2,6-dimethyl- (CAS) \$\$ 2,6 | 30055 | 002051-30-1 | 64 |
| | | | -Dimethyloctane | | | |
| | | | Octane, 2,6-dimethyl- (CAS) \$\$ 2,6 | 30052 | 002051-30-1 | 41 |
| | | | -Dimethyloctane | | | |
| | | | Octane, 2,6-dimethyl- (CAS) \$\$ 2,6 | 30054 | 002051-30-1 | 38 |
| | | | -Dimethyloctane | | | |



- 5 2.493 2.92 C:\Database\Wiley275.L
Cyclohexane, propyl- (CAS) \$\$ Prop 18271 001678-92-8 72
ylcyclohexane \$\$ n-Propylcyclohexa
ne
Cyclohexanone, 2,3-dimethyl- (CAS) 18032 013395-76-1 72
\$\$ 2,3-Dimethylcyclohexanone
Cyclohexane, propyl- (CAS) \$\$ Prop 18269 001678-92-8 72
ylcyclohexane \$\$ n-Propylcyclohexa
ne
- 6 2.613 1.15 C:\Database\Wiley275.L
Decane, 3,8-dimethyl- (CAS) \$\$ 3,8 55974 017312-55-9 47
-Dimethyldecane
Undecane, 2,9-dimethyl- (CAS) 69491 017301-26-7 47
Decane, 2,5,6-trimethyl- (CAS) 69528 062108-23-0 47
- 7 2.659 1.10 C:\Database\Wiley275.L
Nonane, 4-methyl- (CAS) \$\$ 4-Methy 30039 017301-94-9 90
Inonane \$\$ 4-n-Methylnonane \$\$ n-C
3H7CH(CH3)(CH2)4CH3
Heptane, 3-ethyl- (CAS) \$\$ 3-Ethyl 19812 015869-80-4 59
heptane
Heptane, 3-ethyl-2-methyl- (CAS) \$ 30073 014676-29-0 53
\$ 2-Methyl-3-ethylheptane \$\$ 3-Eth
yl-2-methylheptane
- 8 2.682 1.74 C:\Database\Wiley275.L
Nonane, 2-methyl- (CAS) \$\$ 2-Methy 30028 000871-83-0 53
Inonane \$\$ 2-Methyl-nonane
Octane, 4-ethyl- (CAS) \$\$ 4-Ethylo 30046 015869-86-0 53
ctane
Nonane, 2-methyl- (CAS) \$\$ 2-Methy 30027 000871-83-0 52
Inonane \$\$ 2-Methyl-nonane
- 9 2.768 5.00 C:\Database\NIST02.L
Benzene, 1-ethyl-3-methyl- 9128 000620-14-4 92
Benzene, 1-ethyl-2-methyl- 9127 000611-14-3 91
Benzene, 1-ethyl-3-methyl- 9131 000620-14-4 91
- 10 2.848 2.81 C:\Database\NIST02.L
Benzene, 1,2,3-trimethyl- 9123 000526-73-8 95
Benzene, 1,2,4-trimethyl- 9126 000095-63-6 94
Benzene, 1,3,5-trimethyl- 9114 000108-67-8 94



Laboratorium PT. Gelora Djaja

- 11 2.910 1.19 C:\Database\Wiley275.L
3-Octyne, 2,2-dimethyl- (CAS) \$\$ 2 26664 019482-57-6 43
,2-Dimethyl-3-octyne
Cyclohexene, 3-(2-methylpropyl)- (26741 004104-56-7 38
CAS) \$\$ 3-(2-METHYLPROPYL)CYCLOHEX
ENE \$\$ Cyclohexene, 3-isobutyl- \$\$
3-Isobutyl-1-cyclohexene \$\$ 3-Iso
butylcyclohexene
4-METHYL-4-(2'-BUTEN-2'-YL)CYCLOBU 26381 041597-03-9 38
TANONE \$\$ Cyclobutanone, 2-methyl-
2-(2-methyl-1-propenyl)-
- 12 2.973 2.21 C:\Database\Wiley275.L
Benzene, 1-ethyl-2-methyl- (CAS) \$ 14950 000611-14-3 56
\$ o-Ethyltoluene \$\$ 1-Methyl-2-eth
ylbenzene \$\$ 2-Ethyltoluene \$\$ Tol
uene, o-ethyl- \$\$ o-Methylethylben
zene \$\$ o-Ethyl methyl benzene \$\$
1-Ethyl-2-methylbenzene \$\$ o-Ethyl
methylbenzene \$\$ ortho-Ethyltoluen
Benzene, 1-ethyl-2-methyl- (CAS) \$ 14949 000611-14-3 53
\$ o-Ethyltoluene \$\$ 1-Methyl-2-eth
ylbenzene \$\$ 2-Ethyltoluene \$\$ Tol
uene, o-ethyl- \$\$ o-Methylethylben
zene \$\$ o-Ethyl methyl benzene \$\$
1-Ethyl-2-methylbenzene \$\$ o-Ethyl
methylbenzene \$\$ ortho-Ethyltoluen
Benzene, 1-ethyl-2-methyl- (CAS) \$ 14951 000611-14-3 53
\$ o-Ethyltoluene \$\$ 1-Methyl-2-eth
ylbenzene \$\$ 2-Ethyltoluene \$\$ Tol
uene, o-ethyl- \$\$ o-Methylethylben
zene \$\$ o-Ethyl methyl benzene \$\$
1-Ethyl-2-methylbenzene \$\$ o-Ethyl
methylbenzene \$\$ ortho-Ethyltoluen
- 13 3.013 0.89 C:\Database\Wiley275.L
Cyclohexane, 1-methyl-4-(1-methyle 28383 001678-82-6 38
thyl)-, trans- (CAS) \$\$ 1-Methyl-t
rans-4-isopropylcyclohexane \$\$ CYC
LOHEXANE, 1-ISOPROPYL-4-METHYL-, T
RANS \$\$ trans-p-Menthe \$\$ p-Ment
hane, trans- \$\$ trans-1-Methyl-4-i
sopropylcyclohexane \$\$ trans-1-Iso
propyl-4-methylcy



Laboratorium PT. Gelora Djaja

3-Heptene, 4-propyl- (CAS) \$\$ 4-N- 28323 004485-13-6 38
PROPYL-3-HEPTENE \$\$ 4-Propyl-3-hep
tene
Cyclohexane, 1-(cyclohexylmethyl)- 79010 054823-95-9 38
3-methyl-, trans- (CAS) \$\$ 3-METHY
LDICYCLOHEXYLMETHANE (HIGH BOILING)

- 14 3.053 6.44 C:\Database\NIST02.L
Decane 18421 000124-18-5 94
Decane 18418 000124-18-5 91
Decane 18420 000124-18-5 91
- 15 3.139 6.02 C:\Database\NIST02.L
Benzene, 1,2,3-trimethyl- 9123 000526-73-8 95
Benzene, 1,2,4-trimethyl- 9126 000095-63-6 94
Benzene, 1,3,5-trimethyl- 9121 000108-67-8 94
- 16 3.299 1.44 C:\Database\Wiley275.L
3-Methyl-2-(2-oxopropyl)furan 26213 000000-00-0 50
Bicyclo[3.1.1]heptan-3-one, 2,6,6- 38408 015358-88-0 43
trimethyl-, (1.alpha.,2.beta.,5.al
pha.)- (CAS) \$\$ Isopinocamphone \$\$
Isopinocamphon \$\$ Isocamphopinone
\$\$ 3-Pinanone \$\$ cis-3-Pinanone
Rose oxide \$\$ 2H-Pyran, tetrahydro 40137 016409-43-1 43
-4-methyl-2-(2-methyl-1-propenyl)-
(CAS) \$\$ 4-METHYL-2-(2-METHYL-1-P
ROPENYL)TETRAHYDROPYRAN \$\$ Rosoxid
e \$\$ 2H-Pyran, tetrahydro-4-methyl
-2-(2-methylpropenyl)- \$\$ cis Rose
oxide \$\$ Pyran, tetrahydro-2-(2-m
ethyl-1-propenyl)
- 17 3.339 3.07 C:\Database\Wiley275.L
Decane, 4-methyl- (CAS) \$\$ 4-Methy 42778 002847-72-5 81
ldecane
Decane, 4-methyl- (CAS) \$\$ 4-Methy 42780 002847-72-5 81
ldecane
Decane, 4-methyl- (CAS) \$\$ 4-Methy 42781 002847-72-5 81
ldecane



Laboratorium PT. Gelora Djaja

- 18 3.459 1.07 C:\Database\NIST02.L
Benzene, 1-methyl-2-(1-methylethyl) 14406 000527-84-4 91
)-
Benzene, 1-methyl-2-(1-methylethyl) 14405 000527-84-4 91
)-
Benzene, 1-methyl-2-(1-methylethyl) 14404 000527-84-4 91
)-
- 19 3.539 4.03 C:\Database\NIST02.L
Benzene, 1,2,3-trimethyl- 9123 000526-73-8 95
Benzene, 1,3,5-trimethyl- 9121 000108-67-8 93
Benzene, 1,2,4-trimethyl- 9124 000095-63-6 90
- 20 3.596 2.66 C:\Database\Wiley275.L
Cyclohexane, butyl- (CAS) \$\$ n-Butylcyclohexane \$\$ BUTYL-CYCLOHEXANE
\$\$ Butylcyclohexane \$\$ 1-Cyclohexylbutane \$\$ Butane, 1-cyclohexyl-
Cyclohexane, butyl- (CAS) \$\$ n-Butylcyclohexane \$\$ BUTYL-CYCLOHEXANE
\$\$ Butylcyclohexane \$\$ 1-Cyclohexylbutane \$\$ Butane, 1-cyclohexyl-
Cyclohexane, undecyl- (CAS) \$\$ Undecylcyclohexane \$\$ cyclohexylundecane \$\$ Undecylcyclohexane \$\$ Undecane, 1-cyclohexyl- \$\$ n-Undecylcyclohexane \$\$ 1-Cyclohexylundecane
- 21 3.859 1.80 C:\Database\Wiley275.L
1-ethyl-2,2,6-trimethylcyclohexane 40927 000000-00-0 49
\$\$ 2-ETHYL-1,1,3-TRIMETHYLCYCLOHEXANE
1-Ethyl-2,2,6-trimethylcyclohexane 40935 000000-00-0 49
Heptane, 4-ethyl- (CAS) \$\$ 4-Ethylheptane 19816 002216-32-2 47
- 22 3.916 2.23 C:\Database\NIST02.L
Benzene, 1-methyl-3-propyl- 14345 001074-43-7 90
Benzene, 1-methyl-3-propyl- 14340 001074-43-7 87
Benzene, 1-methyl-2-propyl- 14342 001074-17-5 55
- 23 3.985 2.13 C:\Database\Wiley275.L
Hexadecane, 2,6,11,15-tetramethyl- 163897 000504-44-9 38
(CAS) \$\$ 2,6,11,15-Tetramethylhexadecane \$\$ Crocetane



Laboratorium PT. Gelora Djaja

Docosane (CAS) \$\$ n-Docosane \$\$ C2 186056 000629-97-0 38
2H46 STANDARD \$\$ Normal-docosane
N-NONADECANE 152007 000629-92-5 30

- 24 4.036 1.55 C:\Database\NIST02.L
Benzene, 1-methyl-2-(1-methylethyl 14406 000527-84-4 95
)-
Benzene, 1-methyl-2-(1-methylethyl 14405 000527-84-4 94
)-
Benzene, 4-ethyl-1,2-dimethyl- 14376 000934-80-5 94
- 25 4.099 3.00 C:\Database\NIST02.L
Naphthalene, decahydro- 16287 000091-17-8 95
Naphthalene, decahydro- 16286 000091-17-8 89
1,1'-Bicyclopentyl 16259 001636-39-1 87
- 26 4.414 1.58 C:\Database\Wiley275.L
Benzene, 4-ethyl-1,2-dimethyl- (CA 23378 000934-80-5 60
S) \$\$ 4-Ethyl-o-xylene \$\$ 1,2-Dime
thy-4-ethylbenzene \$\$ o-Xylene, 4
-ethyl- \$\$ 2-Methyl-p-ethyltoluene
\$\$ 4-Ethyl-1,2-dimethylbenzene \$\$
3,4-Dimethyl-1-ethylbenzene \$\$ 1-
Ethyl-3,4-dimethylbenzene
Benzene, 1-ethyl-3,5-dimethyl- (CA 23386 000934-74-7 60
S) \$\$ 5-Ethyl-m-xylene \$\$ 1,3-Dime
thy-5-ethylbenzene \$\$ m-Xylene, 5
-ethyl- \$\$ 1-Ethyl-3,5-dimethylben
zene \$\$ 3,5-Dimethylethylbenzene
Benzene, 2-ethyl-1,4-dimethyl- (CA 23362 001758-88-9 60
S) \$\$ 1,4-Dimethyl-2-ethylbenzene
\$\$ 2-ETHYL-1,4-DIMETHYL-BENZENE \$\$
2-Ethyl-p-xylene \$\$ p-Xylene, 2-e
thy- \$\$ 2,5-Dimethylethylbenzene
\$\$ 2-Ethyl-1,4-dimethylbenzene \$\$
1-Ethyl-2,5-dimethylbenzene
- 27 4.454 2.43 C:\Database\NIST02.L
Benzene, 1-methyl-3-(1-methylethyl 14402 000535-77-3 91
)-
Benzene, 1-ethyl-2,4-dimethyl- 14366 000874-41-9 91
Benzene, 1-methyl-2-(1-methylethyl 14406 000527-84-4 91
)-



Laboratorium PT. Gelora Djaja

- 28 4.579 2.73 C:\Database\NIST02.L
Benzene, 1-methyl-2-(1-methylethyl) 14405 000527-84-4 95
)-
Benzene, 1-methyl-2-(1-methylethyl) 14404 000527-84-4 95
)-
Benzene, 1-methyl-3-(1-methylethyl) 14397 000535-77-3 94
)-
- 29 4.688 7.90 C:\Database\NIST02.L
Undecane 27119 001120-21-4 94
Undecane 27120 001120-21-4 94
Dodecane 36159 000112-40-3 90
- 30 5.231 1.86 C:\Database\NIST02.L
trans-Decalin, 2-methyl- 24310 1000152-47-3 95
Naphthalene, decahydro-2-methyl- 24328 002958-76-1 89
1-Methyldecahydronaphthalene 24317 002958-75-0 55
- 31 5.339 1.64 C:\Database\Wiley275.L
Benzene, 1,2,3,4-tetramethyl- (CAS 23393 000488-23-3 50
) \$\$ Prehnitol \$\$ 1,2,3,4-Tetramet
hylbenzene \$\$ Prehnitene \$\$ 1,2,3,
4-TETRAMETHYLBENZENE (PREHNITENE)
1,2,3,4-Tetramethylbenzene 23441 000488-23-3 50
Benzene, 1,2,3,5-tetramethyl- (CAS 23396 000527-53-7 50
) \$\$ 1,2,3,5-Tetramethylbenzene \$\$
Isodurene \$\$ 1,3,4,5-Tetramethylb
enzene
- 32 5.654 2.07 C:\Database\Wiley275.L
Naphthalene, decahydro-2-methyl- (38527 002958-76-1 91
CAS) \$\$ Decahydro-2-methylnaphthal
ene \$\$ DECAHYDRO-2-METHYL-NAPHTHAL
ENE
2-METHYLDECALIN (PROBABLY TRANS) 38526 002958-76-1 83
Naphthalene, decahydro-2-methyl- (38531 002958-76-1 83
CAS) \$\$ Decahydro-2-methylnaphthal
ene \$\$ DECAHYDRO-2-METHYL-NAPHTHAL
ENE
- 33 6.723 1.63 C:\Database\NIST02.L
Naphthalene, 1,2,3,4-tetrahydro- 13612 000119-64-2 93
Naphthalene, 1,2,3,4-tetrahydro- 13601 000119-64-2 89
Naphthalene, 1,2,3,4-tetrahydro- 13613 000119-64-2 89



Laboratorium PT. Gelora Djaja

| | | | | |
|----|----------------------------|------|----------------------|----|
| 34 | 7.614 | 2.25 | C:\Database\NIST02.L | |
| | Azulene | | 11556 000275-51-4 | 94 |
| | Naphthalene | | 11560 000091-20-3 | 81 |
| | Naphthalene | | 11562 000091-20-3 | 76 |
| 35 | 7.791 | 5.39 | C:\Database\NIST02.L | |
| | Dodecane | | 36159 000112-40-3 | 97 |
| | Dodecane | | 36158 000112-40-3 | 95 |
| | Dodecane | | 36156 000112-40-3 | 95 |
| 36 | 8.397 | 1.44 | C:\Database\NIST02.L | |
| | Undecane, 2,6-dimethyl- | | 45584 017301-23-4 | 86 |
| | Octane, 2,6-dimethyl- | | 18443 002051-30-1 | 53 |
| | Heptadecane, 2,6-dimethyl- | | 99490 054105-67-8 | 53 |
| 37 | 13.684 | 3.82 | C:\Database\NIST02.L | |
| | Tridecane | | 45543 000629-50-5 | 97 |
| | Tetradecane | | 55008 000629-59-4 | 80 |
| | Tridecane | | 45541 000629-50-5 | 76 |

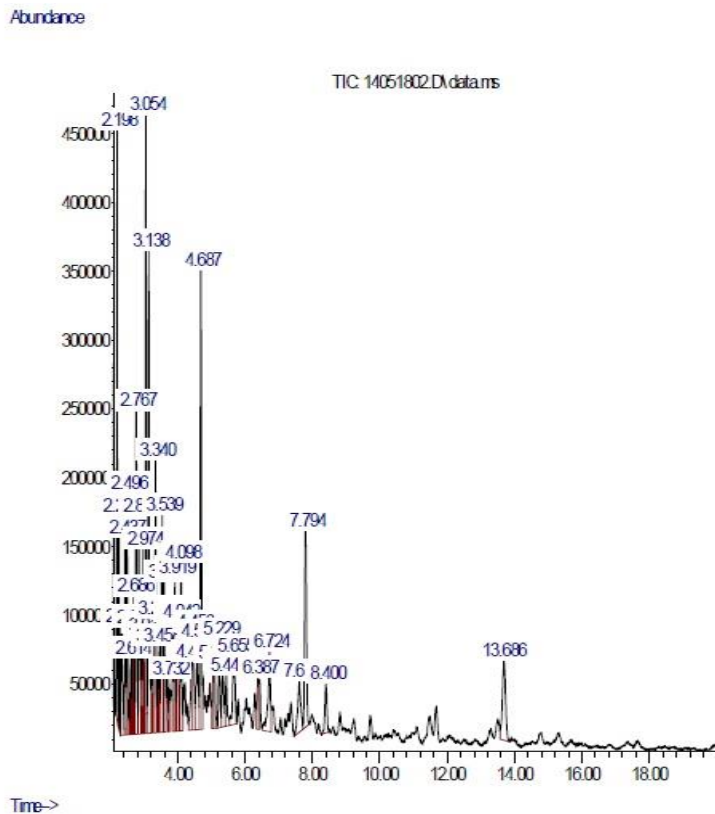
AVTUR.M Mon May 14 16:06:51 2018

Mengetahui,

Surabaya, 15 Mei 2018
Penanggung jawab Pengujian,

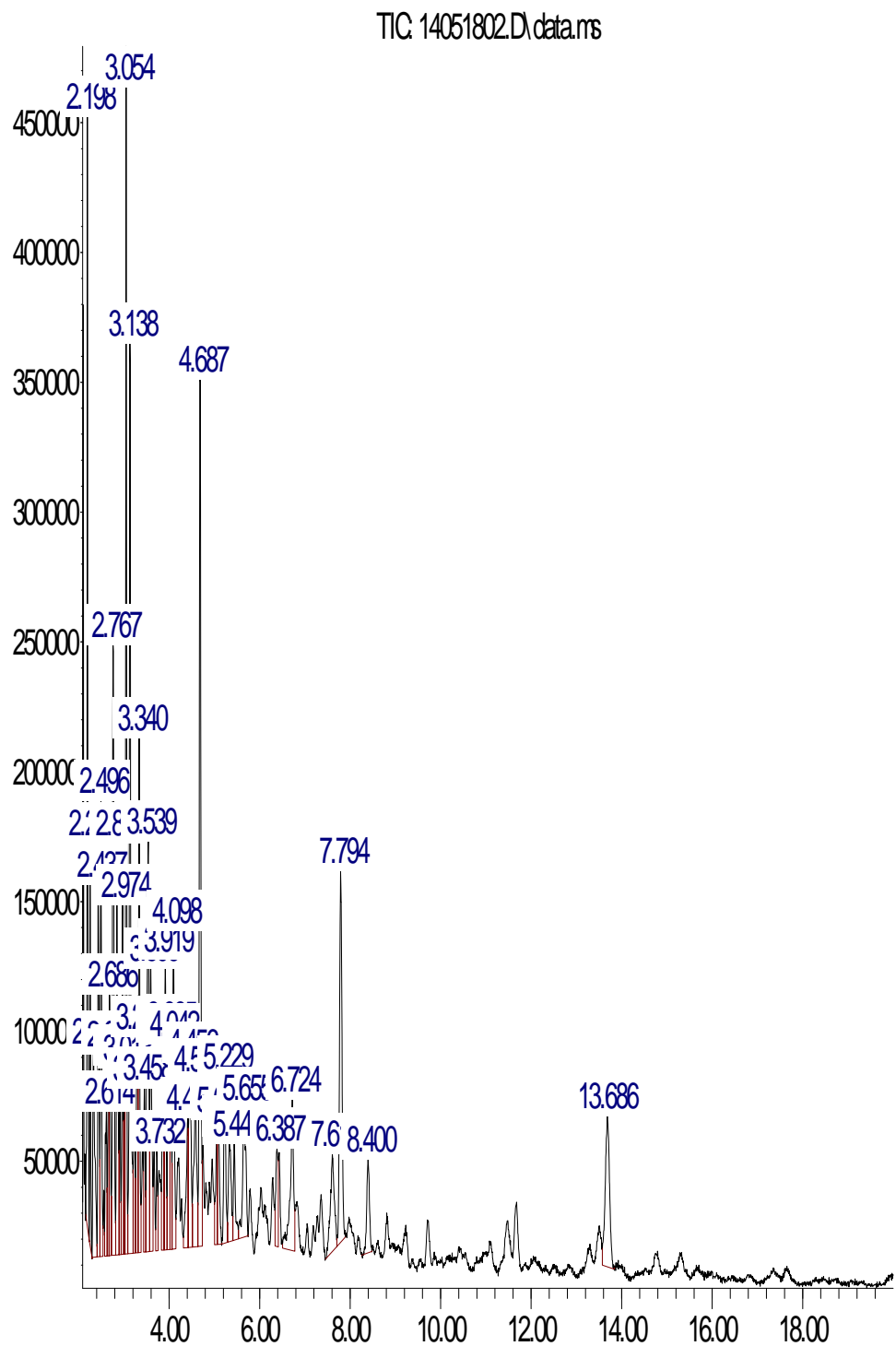
Dr. Mohammad Holil
Factory Lab. Manager

Reo Dewa Kembara, S.Si
Lab. Testing Technical Manager



Gambar 4.D2 Hasil Pengujian Gc-Ms untuk Avtur Setelah Dilakukan Immers

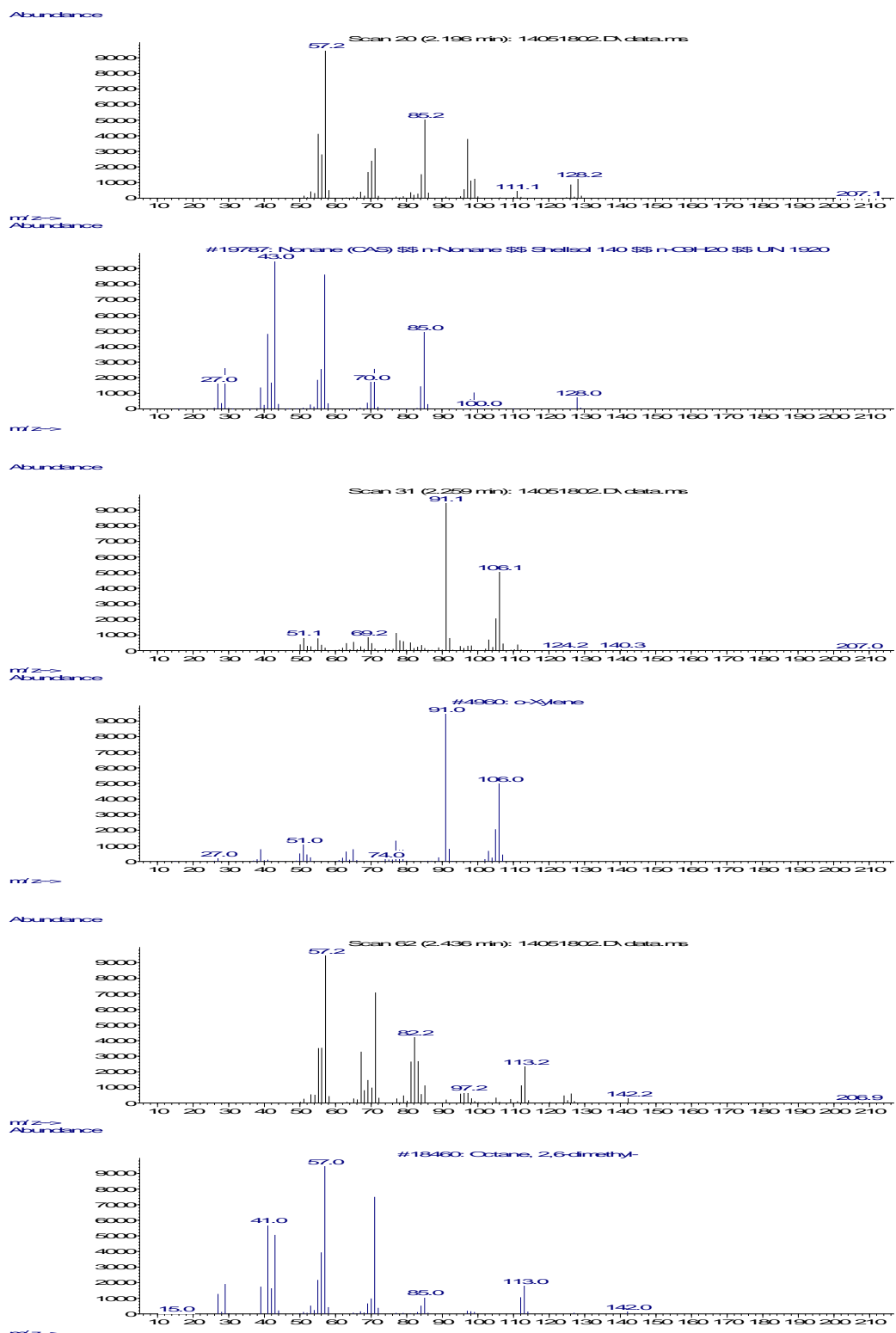
Abundance



Time→



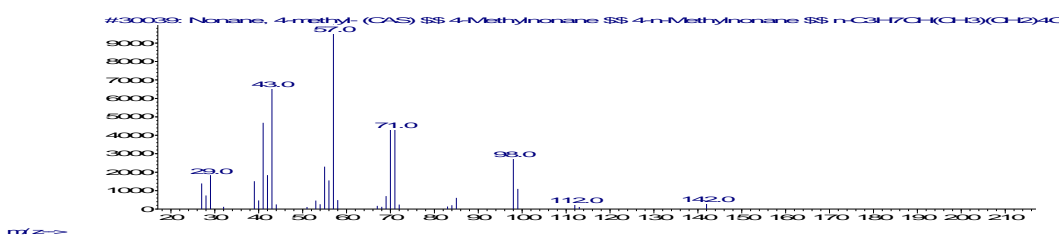
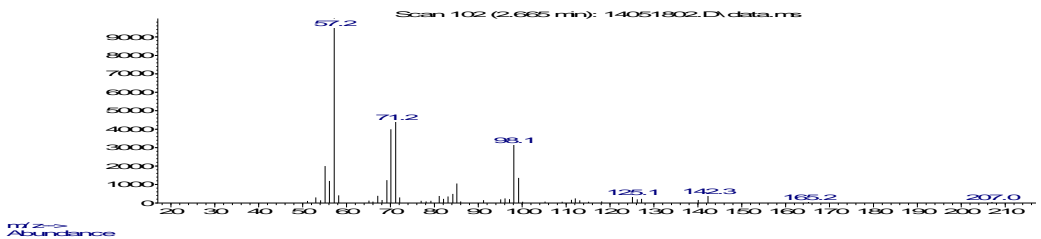
Laboratorium PT. Gelora Djaja



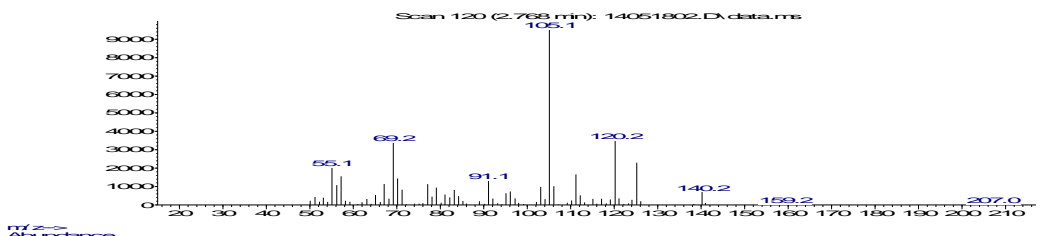


Laboratorium PT. Gelora Djaja

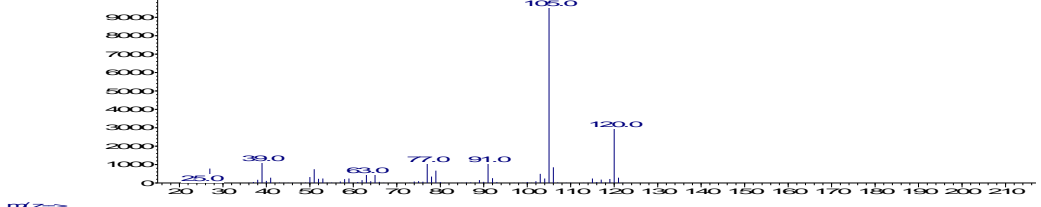
Abundance



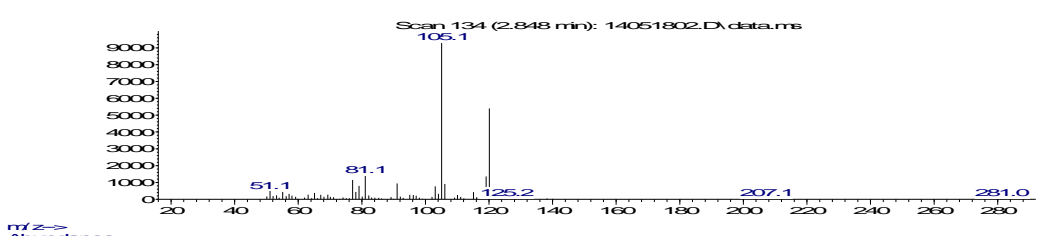
Abundance



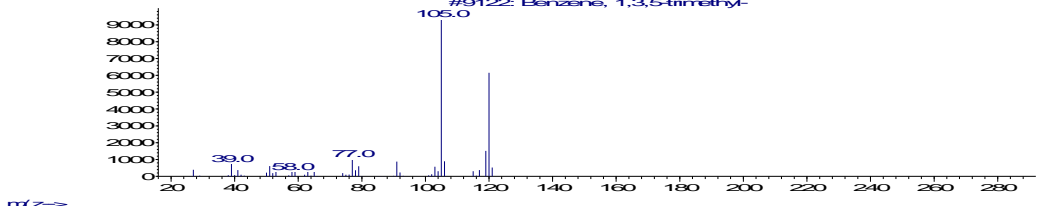
#9130: Benzene, 1-ethyl-2-methyl-



Abundance



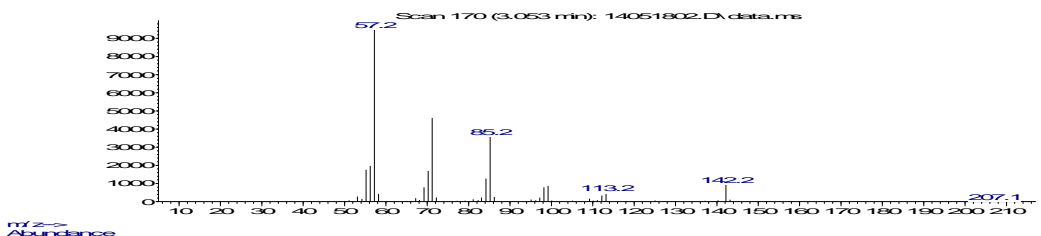
#9122: Benzene, 1,3,5-trimethyl-





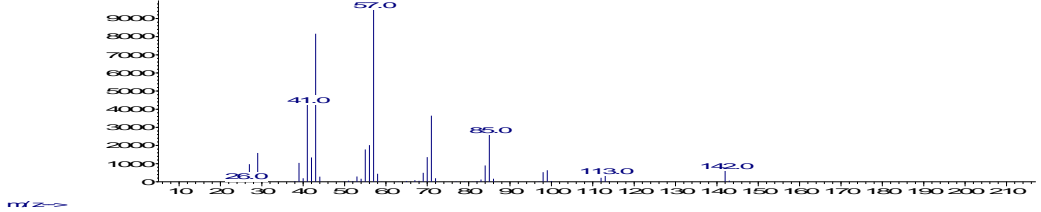
Laboratorium PT. Gelora Djaja

Abundance



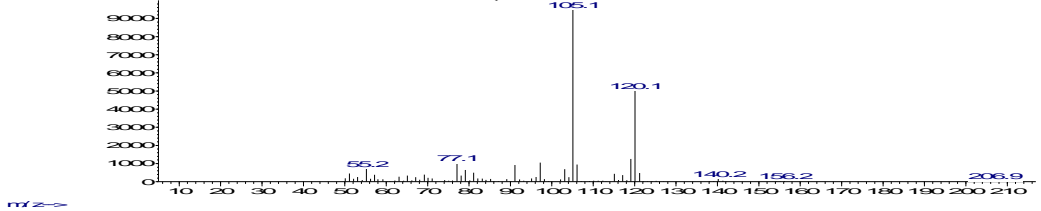
m/z-->

Abundance



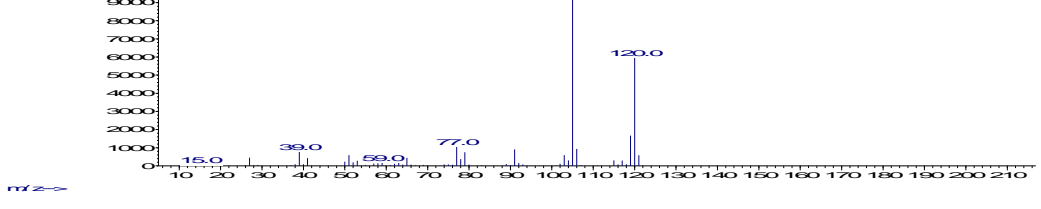
m/z-->

Abundance



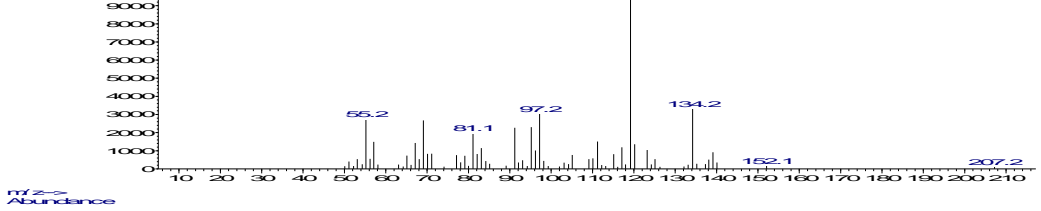
m/z-->

Abundance



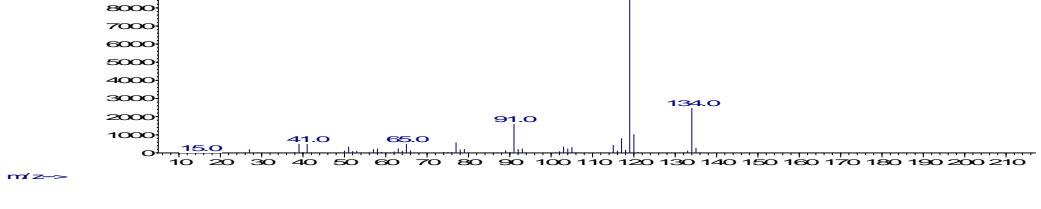
m/z-->

Abundance



m/z-->

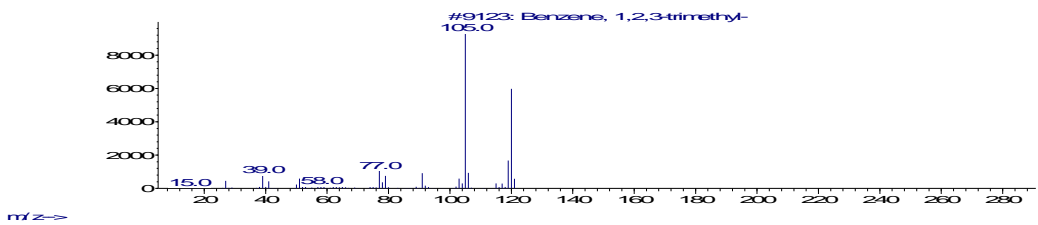
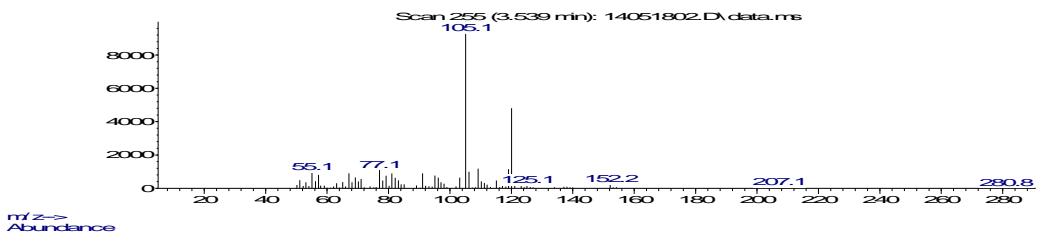
Abundance



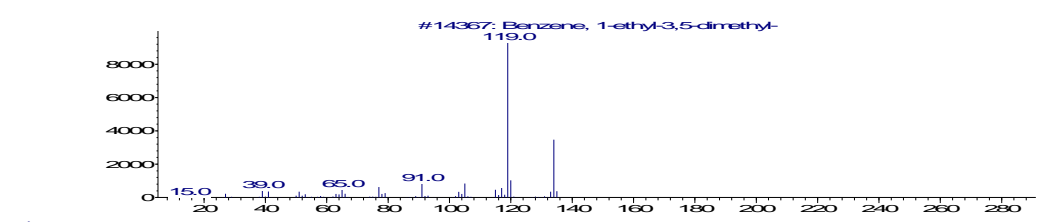
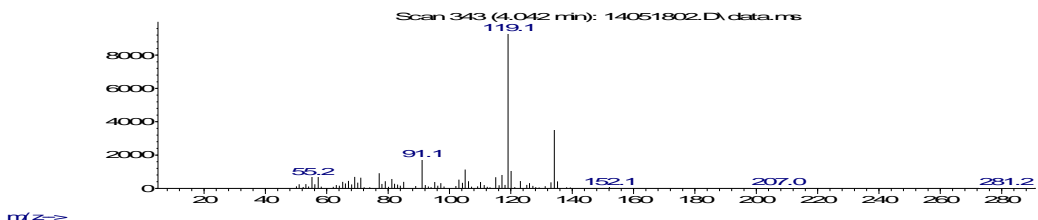


Laboratorium PT. Gelora Djaja

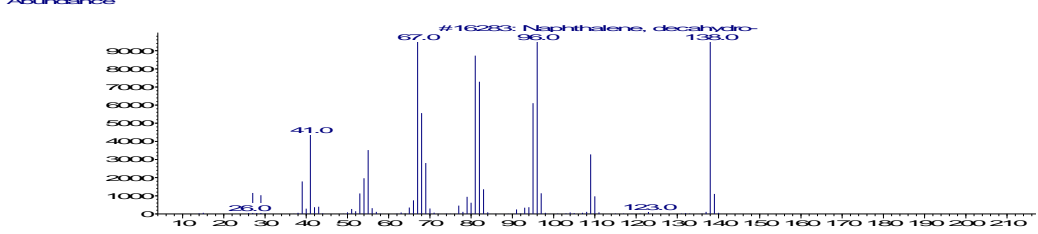
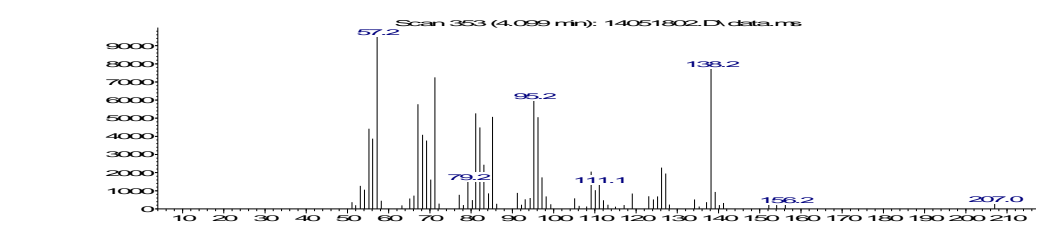
Abundance



Abundance



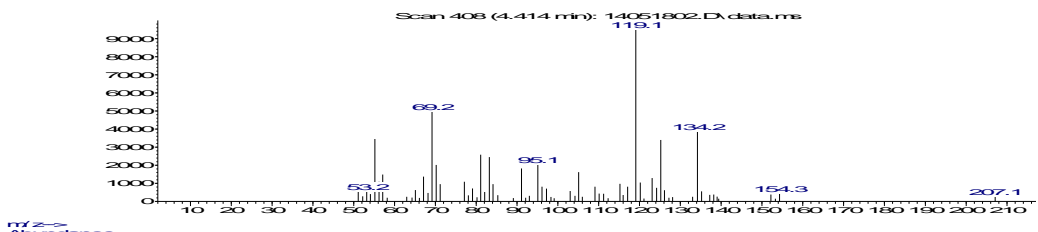
Abundance



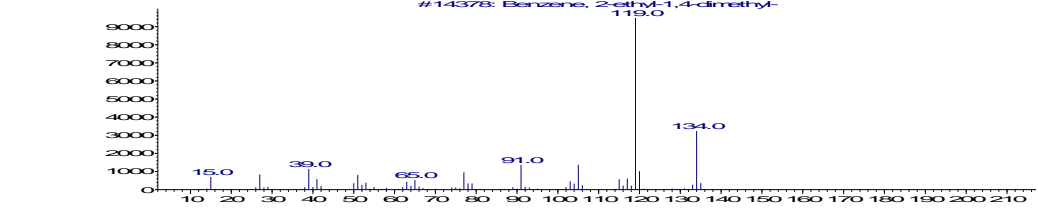


Laboratorium PT. Gelora Djaja

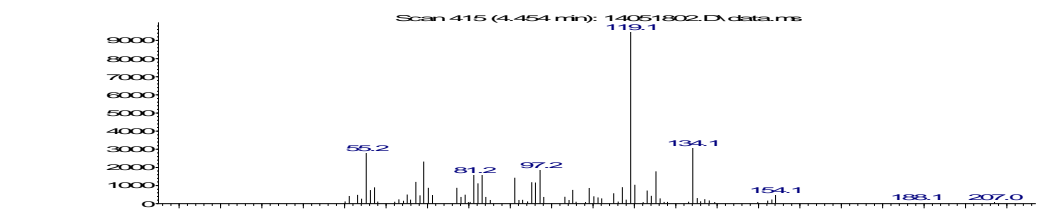
Abundance



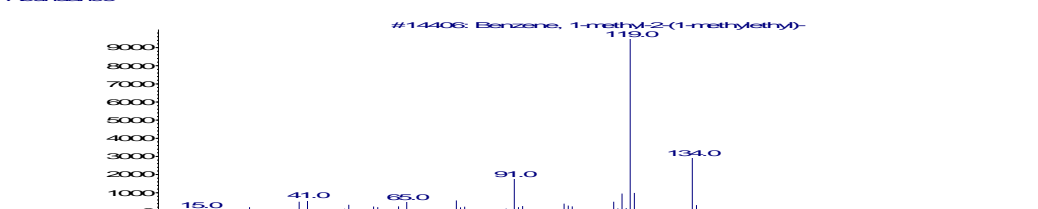
Abundance



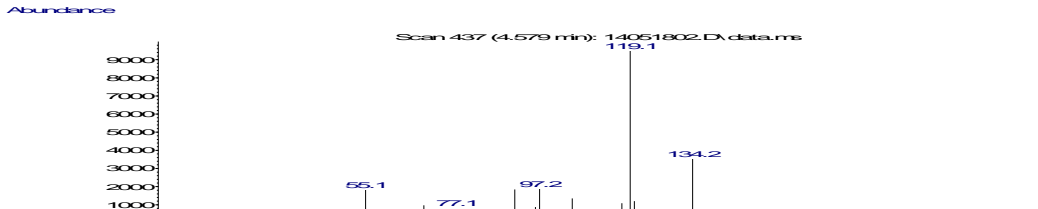
Abundance



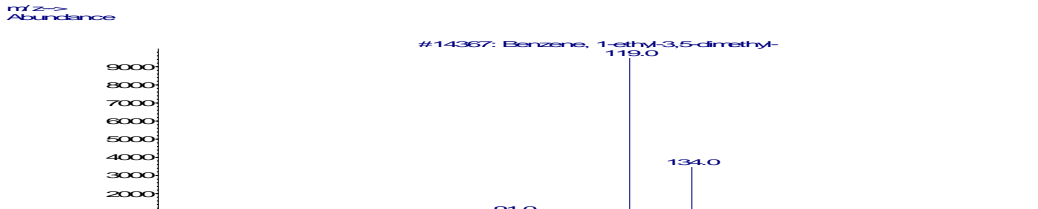
Abundance



Abundance



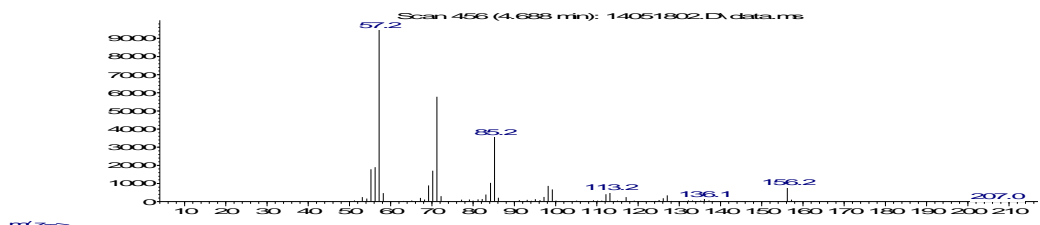
Abundance



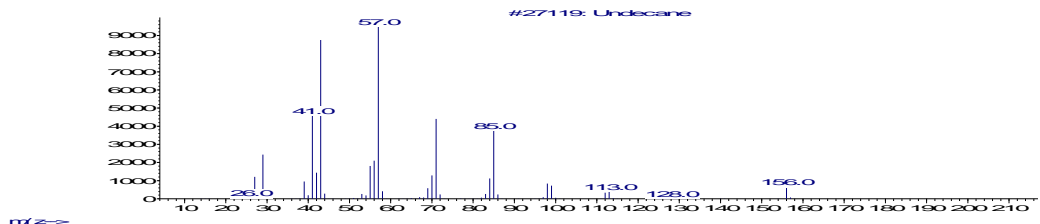


Laboratorium PT. Gelora Djaja

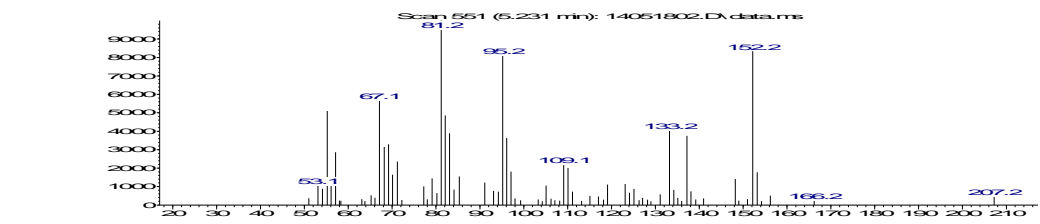
Abundance



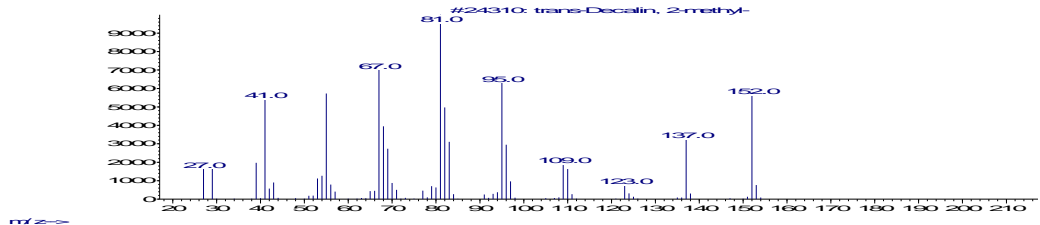
m/z--> Abundance



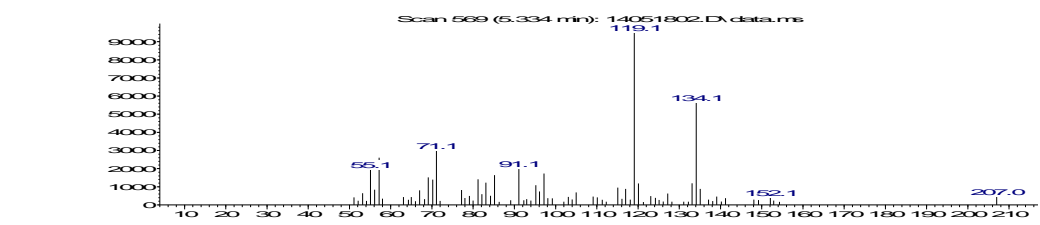
Abundance



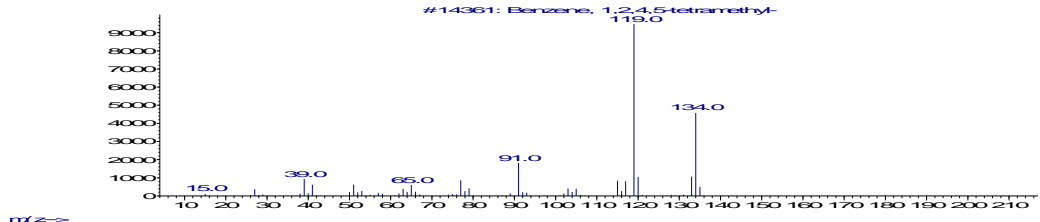
m/z--> Abundance



Abundance



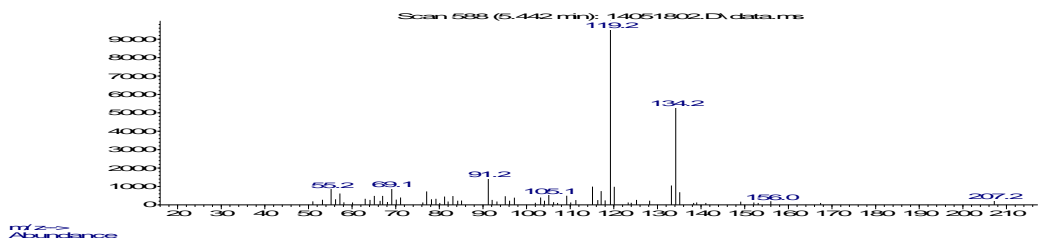
m/z--> Abundance





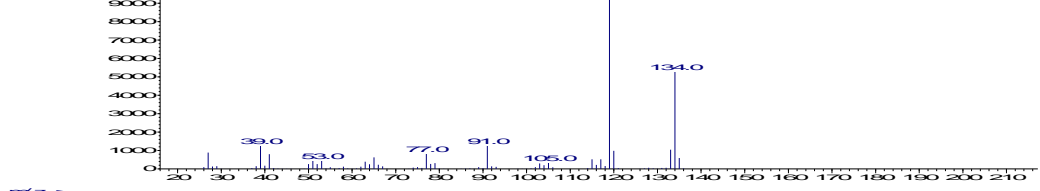
Laboratorium PT. Gelora Djaja

Abundance

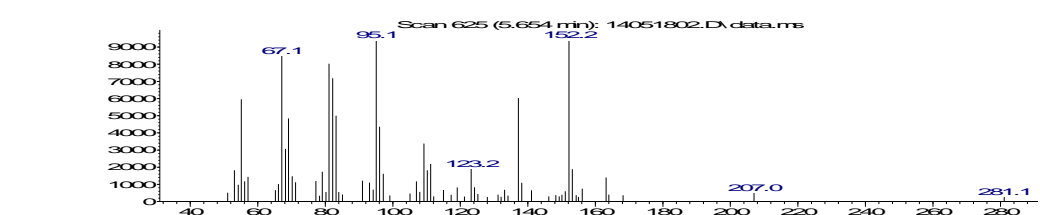


m/z-->

#14356: Benzene, 1,2,3,5-tetramethyl-

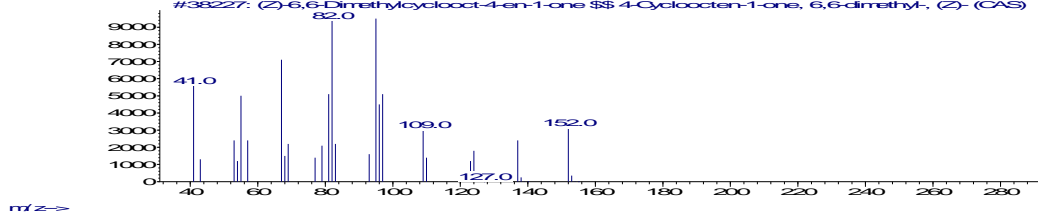


Abundance

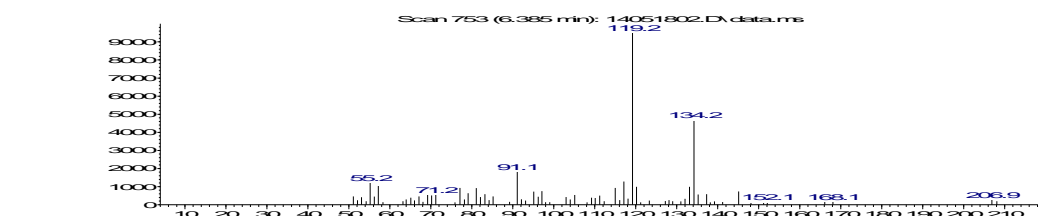


m/z-->

#38227: (Z)-6,6-Dimethylcyclooct-4-en-1-one & 4-Cycloocten-1-one, 6,6-dimethyl-, (Z)- (CAS)

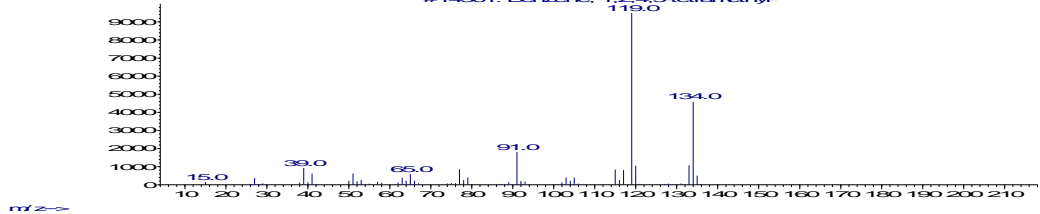


Abundance



m/z-->

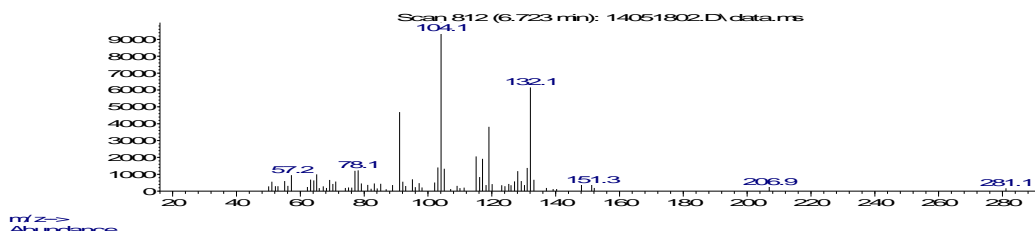
#14361: Benzene, 1,2,4,5-tetramethyl-





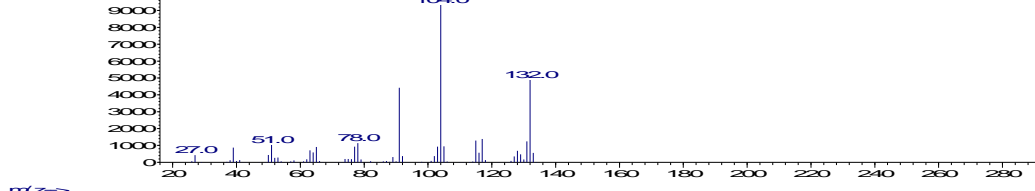
Laboratorium PT. Gelora Djaja

Abundance



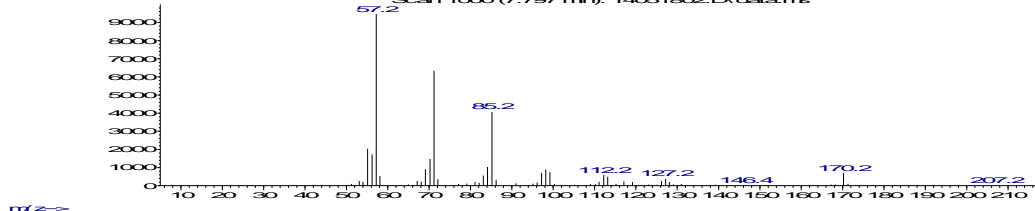
m/z-->

#13612: Naphthalene, 1,2,3,4-tetrahydro-



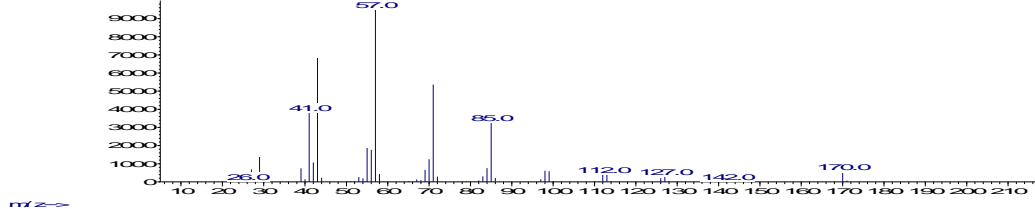
m/z-->

Abundance



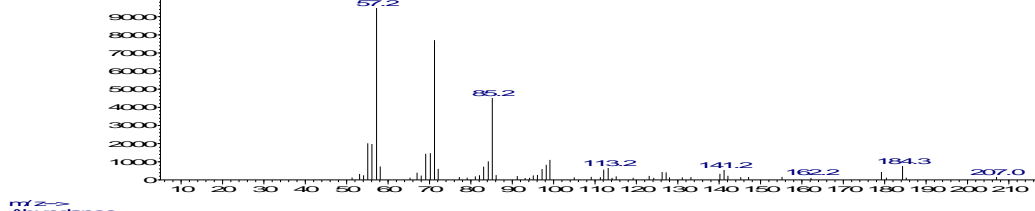
m/z-->

#36169: Dodecane



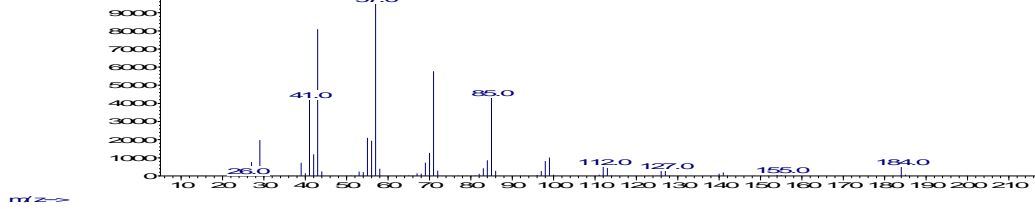
m/z-->

Abundance



m/z-->

#45543: Tridecane





Library Search Report

Data Path : C:\msdchem\1\DATA\

Data File : 14051802.D

Acq On : 14 May 2018 13:43

Operator : SRA

Sample : 112/LU15 Avtur B

Misc : Octavian - ITS

ALS Vial : 2 Sample Multiplier: 1

Search Libraries: C:\Database\NIST02.L Minimum Quality: 85
C:\Database\Wiley275.L Minimum Quality: 85

Unknown Spectrum: Apex

Integration Events: Chemstation Integrator - autoint1.e

| Pk# | RT | Area% | Library/ID | Ref# | CAS# | Qual |
|-----|----|-------|------------|------|------|------|
|-----|----|-------|------------|------|------|------|

| | | | | | | |
|---|-------|------|--|-------|-------------|----|
| 1 | 2.196 | 4.44 | C:\Database\Wiley275.L | | | |
| | | | Nonane (CAS) \$\$ n-Nonane \$\$ Shells | 19787 | 000111-84-2 | 87 |
| | | | ol 140 \$\$ n-C9H20 \$\$ UN 1920 | | | |
| | | | Nonane (CAS) \$\$ n-Nonane \$\$ Shells | 19792 | 000111-84-2 | 81 |
| | | | ol 140 \$\$ n-C9H20 \$\$ UN 1920 | | | |
| | | | NONANE | 19895 | 000000-00-0 | 81 |
| 2 | 2.259 | 1.59 | C:\Database\NIST02.L | | | |
| | | | o-Xylene | 4960 | 000095-47-6 | 95 |
| | | | p-Xylene | 4954 | 000106-42-3 | 95 |
| | | | Benzene, 1,3-dimethyl- | 4977 | 000108-38-3 | 95 |
| 3 | 2.333 | 2.15 | C:\Database\Wiley275.L | | | |
| | | | 1H-Pyrazole, 4,5-dihydro-3-methyl- | 17851 | 026964-49-8 | 72 |
| | | | 1-propyl- (CAS) \$\$ 3-Methyl-1-n-pr | | | |
| | | | opyl-.DELTA.[2]-pyrazoline | | | |
| | | | 1-Ethyl-3-methylcyclohexane (c,t) | 18360 | 003728-55-0 | 68 |
| | | | Cyclohexane, 1-ethyl-2-methyl-, tr | 18287 | 004923-78-8 | 68 |
| | | | ans- (CAS) \$\$ 1-Methyl-trans-2-eth | | | |
| | | | ylcyclohexane \$\$ trans-1-Ethyl-2-m | | | |
| | | | ethyl-cyclohexane \$\$ cis-1-Methyl- | | | |
| | | | 2-ethylcyclohexane \$\$ Methyl-trans | | | |
| | | | -2-ethylcyclohexane | | | |
| 4 | 2.436 | 2.38 | C:\Database\NIST02.L | | | |
| | | | Octane, 2,6-dimethyl- | 18460 | 002051-30-1 | 90 |
| | | | Octane, 3,6-dimethyl- | 18461 | 015869-94-0 | 55 |
| | | | Octane, 2,6-dimethyl- | 18455 | 002051-30-1 | 55 |



- 5 2.493 2.86 C:\Database\Wiley275.L
Cyclohexane, propyl- (CAS) \$\$ Prop 18268 001678-92-8 72
ylcyclohexane \$\$ n-Propylcyclohexa
ne
Cyclohexane, propyl- (CAS) \$\$ Prop 18269 001678-92-8 64
ylcyclohexane \$\$ n-Propylcyclohexa
ne
Cyclohexane, propyl- (CAS) \$\$ Prop 18267 001678-92-8 64
ylcyclohexane \$\$ n-Propylcyclohexa
ne
- 6 2.613 1.11 C:\Database\Wiley275.L
3,4,5-TRIMETHYL-HEPTANE \$\$ Heptane 30091 020278-89-1 47
, 3,4,5-trimethyl- \$\$ 3,4,5-Trimet
hylheptane
Octane, 4-ethyl- (CAS) \$\$ 4-Ethylo 30045 015869-86-0 43
ctane
Decane (CAS) \$\$ n-Decane \$\$ Isodec 30004 000124-18-5 43
ane \$\$ n-C10H22 \$\$ UN 2247
- 7 2.665 1.06 C:\Database\Wiley275.L
Nonane, 4-methyl- (CAS) \$\$ 4-Methy 30039 017301-94-9 90
Inonane \$\$ 4-n-Methylnonane \$\$ n-C
3H7CH(CH3)(CH2)4CH3
Octane, 2,5-dimethyl- (CAS) \$\$ 2,5 30050 015869-89-3 64
-Dimethyloctane
Heptane, 2,3,4-trimethyl- (CAS) \$\$ 30079 052896-95-4 59
2,3,4-Trimethylheptane
- 8 2.688 1.64 C:\Database\Wiley275.L
Undecane, 2,9-dimethyl- (CAS) 69491 017301-26-7 47
Undecane, 3,9-dimethyl- (CAS) 69499 017301-31-4 47
Octane, 2,7-dimethyl- (CAS) \$\$ 2,7 30059 001072-16-8 43
-Dimethyloctane \$\$ Diisoamyl \$\$ Di
isopentyl
- 9 2.768 4.76 C:\Database\NIST02.L
Benzene, 1-ethyl-2-methyl- 9130 000611-14-3 91
Benzene, 1-ethyl-3-methyl- 9128 000620-14-4 91
Benzene, 1-ethyl-2-methyl- 9127 000611-14-3 91
- 10 2.848 2.71 C:\Database\NIST02.L
Benzene, 1,3,5-trimethyl- 9122 000108-67-8 95
Benzene, 1,3,5-trimethyl- 9114 000108-67-8 95
Benzene, 1,2,3-trimethyl- 9123 000526-73-8 95



Laboratorium PT. Gelora Djaja

- 11 2.916 1.15 C:\Database\Wiley275.L
trans-4-Methyl-5-isopropylcyclopent-2-en-1-one \$\$ 2-Cyclopenten-1-on
e, 4-methyl-5-(1-methylethyl)-, trans- (CAS)
Cyclohexene, 1-methyl- (CAS) \$\$ 1- 5270 000591-49-1 38
Methylcyclohexene \$\$ 1-METHYL-CYCLOHEXENE \$\$.alpha.-Methylcyclohexene
ne \$\$ 1-Methylcyclohex-1-ene \$\$ 1-
Methyl-1-cyclohexene
1,4-Pentadiene, 2,3,3-trimethyl- (9981 000756-02-5 25
CAS) \$\$ 2,3,3-Trimethyl-1,4-pentadiene \$\$ 2,3,3-trimethyl-1,4-pentan
-diene
- 12 2.973 2.10 C:\Database\Wiley275.L
Benzene, 1-ethyl-2-methyl- (CAS) \$ 14950 000611-14-3 56
\$ o-Ethyltoluene \$\$ 1-Methyl-2-ethylbenzene
\$\$ 2-Ethyltoluene \$\$ Tol
uene, o-ethyl- \$\$ o-Methylethylbenzene
\$\$ o-Ethyl methyl benzene
1-Ethyl-2-methylbenzene \$\$ o-Ethylmethylbenzene
\$\$ ortho-Ethyltoluen
2-ETHYLTOLUENE 15082 000000-00-0 56
Benzene, 1-ethyl-4-methyl- (CAS) \$ 14964 000622-96-8 53
\$ p-Ethyltoluene \$\$ 1-Methyl-4-ethylbenzene
\$\$ 4-Ethyltoluene \$\$ Tol
uene, p-ethyl- \$\$ p-Ethylmethylbenzene
\$\$ p-Methylethylbenzene \$\$ 4-Methyl-ethylbenzene
\$\$ 1-Ethyl-4-methylbenzene
\$\$ para-Ethyltoluene
- 13 3.013 0.91 C:\Database\Wiley275.L
6,6-(D2)MENTH-2-ENE 26763 000000-00-0 43
3-Heptene, 4-propyl- (CAS) \$\$ 4-N- 28323 004485-13-6 42
PROPYL-3-HEPTENE \$\$ 4-Propyl-3-heptene
R(+)-5,7-DIMETHYL-1,6-OCTADIENE 26877 000000-00-0 38
- 14 3.053 5.99 C:\Database\NIST02.L
Decane 18421 000124-18-5 91
Decane 18420 000124-18-5 91
Decane 18418 000124-18-5 90



Laboratorium PT. Gelora Djaja

- 15 3.139 6.15 C:\Database\NIST02.L
Benzene, 1,2,3-trimethyl- 9123 000526-73-8 95
Benzene, 1,2,4-trimethyl- 9126 000095-63-6 94
Benzene, 1,3,5-trimethyl- 9114 000108-67-8 94
- 16 3.230 1.17 C:\Database\Wiley275.L
Octadecane, 1-chloro- (CAS) \$\$ 1-C 168746 003386-33-2 64
chlorooctadecane \$\$ Octadecyl chlor
ide \$\$ n-Octadecyl chloride \$\$ Chl
oroctadecane
Undecane (CAS) \$\$ n-Undecane \$\$ He 42752 001120-21-4 43
n-decane \$\$ n-C11H24 \$\$ UN 2330
Undecane (CAS) \$\$ n-Undecane \$\$ He 42750 001120-21-4 43
n-decane \$\$ n-C11H24 \$\$ UN 2330
- 17 3.299 1.72 C:\Database\Wiley275.L
6-Octenal, 3,7-dimethyl-, (R)- \$\$ 40793 002385-77-5 35
(R)-(+)-Citronellal \$\$ (+)-Citrone
llal \$\$ d-Citronellal \$\$ R-(+)-Cit
ronellal \$\$ (R)-Citronellal \$\$ (R)-3,7-Dimethyloct-6-enal
1-Tetradecanol (CAS) \$\$ Alfol 14 \$ 100059 000112-72-1 27
\$ Tetradecanol \$\$ Loxanol V \$\$ Lan
ette K \$\$ Lanette Wax KS \$\$ n-Tetr
adecanol \$\$ Myristic alcohol \$\$ My
ristyl alcohol \$\$ n-Tetradecan-1-o
1 \$\$ Tetradecyl alcohol \$\$ n-Tetra
decyl alcohol \$\$ Lanette Waxd sub
1 \$\$ n-Tetradecan
Decanedioic acid, didecyl ester \$\$ 256920 002432-89-5 27
Didecyl sebacate
- 18 3.339 3.17 C:\Database\Wiley275.L
Decane, 4-methyl- (CAS) \$\$ 4-Methy 42778 002847-72-5 64
l-decane
Decane, 4-methyl- (CAS) \$\$ 4-Methy 42781 002847-72-5 62
l-decane
Nonane, 2,6-dimethyl- (CAS) \$\$ 2,6 42788 017302-28-2 59
-Dimethylnonane
- 19 3.459 1.08 C:\Database\NIST02.L
Benzene, 1-methyl-3-(1-methylethyl 14402 000535-77-3 92
)-
Benzene, 1-methyl-2-(1-methylethyl 14406 000527-84-4 92
)-
Benzene, 1-methyl-2-(1-methylethyl 14404 000527-84-4 91
)-



Laboratorium PT. Gelora Djaja

- 20 3.539 3.78 C:\Database\NIST02.L
Benzene, 1,2,3-trimethyl- 9123 000526-73-8 94
Benzene, 1,3,5-trimethyl- 9114 000108-67-8 94
Benzene, 1,2,4-trimethyl- 9126 000095-63-6 93
- 21 3.596 2.46 C:\Database\Wiley275.L
Cyclohexane, butyl- (CAS) \$\$ n-Butylcyclohexane \$\$ BUTYL-CYCLOHEXANE
\$\$ Butylcyclohexane \$\$ 1-Cyclohexylbutane \$\$ Butane, 1-cyclohexyl-
Cyclohexane, butyl- (CAS) \$\$ n-Butylcyclohexane \$\$ BUTYL-CYCLOHEXANE
\$\$ Butylcyclohexane \$\$ 1-Cyclohexylbutane \$\$ Butane, 1-cyclohexyl-
Cyclohexane, butyl- (CAS) \$\$ n-Butylcyclohexane \$\$ BUTYL-CYCLOHEXANE
\$\$ Butylcyclohexane \$\$ 1-Cyclohexylbutane \$\$ Butane, 1-cyclohexyl-
- 22 3.733 0.64 C:\Database\Wiley275.L
Cyclooctane, methyl- \$\$ Methylcyclooctane
CITRONELLA \$\$ 6-Octenal, 3,7-dimethyl- (CAS) \$\$ Citronellal
hyl- (CAS) \$\$ Rhodinal \$\$.beta.-Citronellal
imethyl-6-octenal \$\$ 2,3-Dihydrocitral
Levo-citronellal \$\$ Citronellel
Citronellol,(d) \$\$ Poly(1,3a,4,6,7,7a-hexahydro-1,3-dioxo-
3H-furo(3,4-c)pyr
CITRONELLA \$\$ 6-Octenal, 3,7-dimethyl- (CAS) \$\$ Citronellal
hyl- (CAS) \$\$ Rhodinal \$\$.beta.-Citronellal
imethyl-6-octenal \$\$ 2,3-Dihydrocitral
Levo-citronellal \$\$ Citronellel
Citronellol,(d) \$\$ Poly(1,3a,4,6,7,7a-hexahydro-1,3-dioxo-
3H-furo(3,4-c)pyr
- 23 3.865 1.58 C:\Database\Wiley275.L
Cyclooctane, methyl- \$\$ Methylcyclooctane
1-ethyl-2,2,6-trimethylcyclohexane
\$\$ 2-ETHYL-1,1,3-TRIMETHYLCYCLOHEXANE



Laboratorium PT. Gelora Djaja

1-Ethyl-2,2,6-trimethylcyclohexane 40935 000000-00-0 41

24 3.916 2.04 C:\Database\Wiley275.L

Benzene, 1-methyl-3-propyl- (CAS) 23281 001074-43-7 83
\$\$ m-Propyltoluene \$\$ 1-Methyl-3-p
ropylbenzene \$\$ Toluene, m-propyl-
 \$\$ 3-Propyl-toluene \$\$ 1-Methyl-3-
-n-propylbenzene \$\$ 3-n-Propyltolu-
ene \$\$ m-Methylpropylbenzene \$\$ 1-
Propyl-3-methylbenzene
Benzene, 1-methyl-3-propyl- (CAS) 23280 001074-43-7 83
\$\$ m-Propyltoluene \$\$ 1-Methyl-3-p
ropylbenzene \$\$ Toluene, m-propyl-
 \$\$ 3-Propyl-toluene \$\$ 1-Methyl-3-
-n-propylbenzene \$\$ 3-n-Propyltolu-
ene \$\$ m-Methylpropylbenzene \$\$ 1-
Propyl-3-methylbenzene
Benzene, 1-methyl-2-propyl- (CAS) 23274 001074-17-5 46
\$\$ 2-Propyltoluene \$\$ 1-Methyl-2-n
-propylbenzene \$\$ o-Propyltoluene
 \$\$ Toluene, o-propyl- \$\$ 1-Methyl-
2-propylbenzene \$\$ 2-Propyl-toluen
e \$\$ 2-n-Propyltoluene \$\$ o-Methyl
propylbenzene \$\$ 1-Propyl-2-methyl
benzene

25 3.985 1.87 C:\Database\Wiley275.L

Decane, 2-methyl- (CAS) \$\$ 2-Methy 42772 006975-98-0 78
ldecano \$\$ 2-Methyl-decano \$\$ n-C8
H17CH(CH3)2
Decane, 2-methyl- (CAS) \$\$ 2-Methy 42765 006975-98-0 49
ldecano \$\$ 2-Methyl-decano \$\$ n-C8
H17CH(CH3)2
Decane, 2-methyl- (CAS) \$\$ 2-Methy 42770 006975-98-0 49
ldecano \$\$ 2-Methyl-decano \$\$ n-C8
H17CH(CH3)2

26 4.042 1.42 C:\Database\NIST02.L

Benzene, 1-ethyl-3,5-dimethyl- 14367 000934-74-7 95
Benzene, 2-ethyl-1,4-dimethyl- 14365 001758-88-9 95
Benzene, 1-methyl-3-(1-methylethyl 14397 000535-77-3 95
)-

27 4.099 2.66 C:\Database\NIST02.L

Naphthalene, decahydro- 16283 000091-17-8 95
Naphthalene, decahydro- 16286 000091-17-8 95



Laboratorium PT. Gelora Djaja

| | | |
|----|---|----------------------|
| | Naphthalene, decahydro- | 16287 000091-17-8 91 |
| 28 | 4.414 1.25 C:\Database\NIST02.L | |
| | Benzene, 2-ethyl-1,4-dimethyl- | 14378 001758-88-9 91 |
| | Benzene, 2-ethyl-1,4-dimethyl- | 14381 001758-88-9 90 |
| | Benzene, 4-ethyl-1,2-dimethyl- | 14376 000934-80-5 87 |
| 29 | 4.454 2.25 C:\Database\NIST02.L | |
| | Benzene, 1-methyl-2-(1-methylethyl | 14406 000527-84-4 93 |
| |)- | |
| | Benzene, 1-methyl-3-(1-methylethyl | 14402 000535-77-3 93 |
| |)- | |
| | Benzene, 1-methyl-3-(1-methylethyl | 14397 000535-77-3 92 |
| |)- | |
| 30 | 4.579 2.28 C:\Database\NIST02.L | |
| | Benzene, 1-ethyl-3,5-dimethyl- | 14367 000934-74-7 95 |
| | Benzene, 1-methyl-3-(1-methylethyl | 14402 000535-77-3 94 |
| |)- | |
| | Benzene, 1-methyl-2-(1-methylethyl | 14404 000527-84-4 93 |
| |)- | |
| 31 | 4.688 6.74 C:\Database\NIST02.L | |
| | Undecane | 27119 001120-21-4 94 |
| | Undecane | 27117 001120-21-4 94 |
| | Undecane | 27120 001120-21-4 94 |
| 32 | 5.059 0.96 C:\Database\Wiley275.L | |
| | 1-methyladamantane \$\$ Tricyclo[3.3 .1.13,7]decane, 1-methyl- \$\$ Adama | 36307 000768-91-2 35 |
| | ntane, 1-methyl- | |
| | Phenol, 4-(1,1-dimethylethyl)- (CA | 35708 000098-54-4 30 |
| | S) \$\$ p-tert-Butylphenol \$\$ 4-TERT | |
| | -BUTYL-PHENOL \$\$ 4-(1,1-Dimethylet | |
| | hyl)phenol \$\$ 4-tertiobutylphenol | |
| | \$\$ 4-TERT.BUTYLPHENOL \$\$ Phenol, p | |
| | -tert-butyl- \$\$ Butylphen \$\$ 4-ter | |
| | t-Butylphenol \$\$ 4-t-Butylphenol \$ | |
| | \$ p-terc.Butylfen | |
| | thymol \$\$ 2-(1-methylethyl)-5-meth | 36033 000089-83-8 20 |
| | yl-phenol | |



Laboratorium PT. Gelora Djaja

- 33 5.088 1.27 C:\Database\Wiley275.L
Benzene, 1-ethyl-2,4-dimethyl- (CA 23357 000874-41-9 80
S) \$\$ 1,3-Dimethyl-4-ethylbenzene
\$\$ m-Xylene, 4-ethyl- \$\$ 1-Ethyl-2
,4-dimethylbenzene \$\$ 4-Ethyl-m-xy
lene \$\$ 2,4-Dimethylethylbenzene
Benzene, 1-ethyl-2,3-dimethyl- (CA 23351 000933-98-2 80
S) \$\$ 3-Ethyl-o-xylene \$\$ 1,2-Dime
thyl-3-ethylbenzene \$\$ o-Xylene, 3
-ethyl- \$\$ 1-Ethyl-2,3-dimethylben
zene \$\$ 3-Ethyl-1,2-dimethylbenzen
Benzene, 1-methyl-4-(1-methylethyl 23316 000099-87-6 46
)- (CAS) \$\$ p-Cymene \$\$ 1-Methyl-4
-isopropylbenzene \$\$ p-Cymol \$\$ p-
Cimene \$\$ Camphogen \$\$ Dolcymene \$
\$ 2-p-Tolylpropane \$\$ p-Isopropyl
oluene \$\$ p-Methylisopropylbenzene
\$\$ 1-Isopropyl-4-methylbenzene \$\$
4-Isopropyl-1-me
- 34 5.231 1.67 C:\Database\NIST02.L
trans-Decalin, 2-methyl- 24310 1000152-47-3 96
Naphthalene, decahydro-2-methyl- 24328 002958-76-1 93
Furan, 2-hexyl- 23955 003777-70-6 52
- 35 5.334 1.44 C:\Database\NIST02.L
Benzene, 1,2,4,5-tetramethyl- 14361 000095-93-2 96
Benzene, 1,2,4,5-tetramethyl- 14355 000095-93-2 96
Benzene, 1,2,3,4-tetramethyl- 14353 000488-23-3 96
- 36 5.442 0.98 C:\Database\NIST02.L
Benzene, 1,2,3,5-tetramethyl- 14356 000527-53-7 97
Benzene, 1,2,3,4-tetramethyl- 14353 000488-23-3 97
Benzene, 1,2,3,4-tetramethyl- 14357 000488-23-3 97
- 37 5.654 2.07 C:\Database\Wiley275.L
(Z)-6,6-Dimethylcyclooct-4-en-1-on 38227 091531-64-5 89
e \$\$ 4-Cycloocten-1-one, 6,6-dimet
hyl-, (Z)- (CAS)
TRANS-ANTI-1-METHYL-DECAHYDRONAPHT 38524 000000-00-0 76
HALENE
Naphthalene, decahydro-2-methyl- (38528 002958-76-1 76
CAS) \$\$ Decahydro-2-methylnaphthal
ene \$\$ DECAHYDRO-2-METHYL-NAPHTHAL
ENE



Laboratorium PT. Gelora Djaja

| | | | |
|----|---|-----------------------------|----------------|
| 38 | 6.385 | 1.13 C:\Database\NIST02.L | |
| | Benzene, 1,2,4,5-tetramethyl- | 14361 | 000095-93-2 95 |
| | Benzene, 1,2,3,4-tetramethyl- | 14353 | 000488-23-3 95 |
| | Benzene, 1,2,4,5-tetramethyl- | 14355 | 000095-93-2 93 |
| 39 | 6.723 | 2.45 C:\Database\NIST02.L | |
| | Naphthalene, 1,2,3,4-tetrahydro- | 13612 | 000119-64-2 95 |
| | Naphthalene, 1,2,3,4-tetrahydro- | 13613 | 000119-64-2 86 |
| | Naphthalene, 1,2,3,4-tetrahydro- | 13601 | 000119-64-2 86 |
| 40 | 7.614 | 1.93 C:\Database\Wiley275.L | |
| | Naphthalene (CAS) \$\$ White tar \$\$ 19905 | 000091-20-3 | 76 |
| | NAPHTALINE \$\$ Naphthene \$\$ Albocar | | |
| | bon \$\$ Naphthalin \$\$ Naphthaline \$ | | |
| | \$ Dezodorator \$\$ Moth flakes \$\$ Ta | | |
| | r camphor \$\$ Camphor tar \$\$ Moth b | | |
| | alls \$\$ Naftalen \$\$ NCI-C52904 \$\$ | | |
| | Mighty 150 \$\$ Mighty rd1 \$\$ Naptha | | |
| | lene, molten \$\$ R | | |
| | Naphthalene (CAS) \$\$ White tar \$\$ 19909 | 000091-20-3 | 76 |
| | NAPHTALINE \$\$ Naphthene \$\$ Albocar | | |
| | bon \$\$ Naphthalin \$\$ Naphthaline \$ | | |
| | \$ Dezodorator \$\$ Moth flakes \$\$ Ta | | |
| | r camphor \$\$ Camphor tar \$\$ Moth b | | |
| | alls \$\$ Naftalen \$\$ NCI-C52904 \$\$ | | |
| | Mighty 150 \$\$ Mighty rd1 \$\$ Naptha | | |
| | lene, molten \$\$ R | | |
| | 1H-Indene, 1-methylene- (CAS) \$\$ 1 19901 | 002471-84-3 | 76 |
| | -Methylene-1H-indene \$\$ Benzofulve | | |
| | ne \$\$ Benzo[a]fulvene \$\$ 1,2-Benzo | | |
| | fulvene | | |
| 41 | 7.797 | 4.46 C:\Database\NIST02.L | |
| | Dodecane | 36159 | 000112-40-3 97 |
| | Dodecane | 36158 | 000112-40-3 95 |
| | Dodecane | 36157 | 000112-40-3 94 |
| 42 | 8.397 | 1.26 C:\Database\Wiley275.L | |
| | Undecane, 2,6-dimethyl- (CAS) \$\$ 2 69488 | 017301-23-4 | 80 |
| | ,6-Dimethylundecane \$\$ 2,6-Dimethyl | | |
| | lundecene | | |
| | Undecane, 3,6-dimethyl- (CAS) | 69496 | 017301-28-9 64 |
| | Pentadecane (CAS) \$\$ n-Pentadecane | 98310 | 000629-62-9 64 |
| | \$\$ CH3(CH2)13CH3 | | |



43 13.684 3.25 C:\Database\NIST02.L
Tridecane 45543 000629-50-5 97
Tridecane 45542 000629-50-5 95
Tridecane 45541 000629-50-5 94

AVTUR.M Tue May 15 14:17:33 2018

Mengetahui,

Surabaya, 15 Mei 2018
Penanggung jawab Pengujian,

Dr. Mohammad Holil
Factory Lab. Manager

Reo Dewa Kembara, S.Si
Lab. Testing Technical Manager

BIODATA PENULIS



Penulis bernama lengkap Hakimul Wafda, lahir di Kabupaten Semarang pada tanggal 21 Mei 1996 dari ayah bernama Amir Mahmud dan ibu bernama Evin Nurbiyati. Penulis merupakan anak pertama dari 2 bersaudara. Dalam jenjang pendidikan, penulis telah menempuh pendidikan formal di MI Pabelan Kab. Semarang, SMP Islam Al-Azhar 18 Salatiga, lalu SMAN 1 Salatiga. Penulis melanjutkan pendidikan di Institut Teknologi Sepuluh Nopember Surabaya di Departemen Teknik

Material ITS melalui jalur SNMPTN 2014. Semasa kuliah, penulis aktif dalam berbagai kegiatan organisasi dan kepanitiaan di kampus antara lain menjadi staff Kewirausahaan Himpunan Mahasiswa Teknik Material dan Metalurgi (HMMT) ITS 2015/2016, Staff Divisi Media dan Humas Swayanaka Surabaya, Panitia EBD, dan beberapa kepanitian di kampus. Penulis juga mengikuti beberapa pelatihan seperti Pelatihan Jurnalistik Tingkat Dasar, Pelatihan Karya Tulis Ilmiah, Pelatihan LKMM pra TD, dan pelatihan lainnya yang diselenggarakan di kampus. Penulis pernah melakukan kerja praktik di PT.Pertamina (persero) selama satu bulan. Dalam Tugas Akhir ini penulis mengambil bidang studi korosi dan pengendalian korosi. Penulis memiliki email yang dapat dihubungi yakni hakimulwafda@gmail.com.